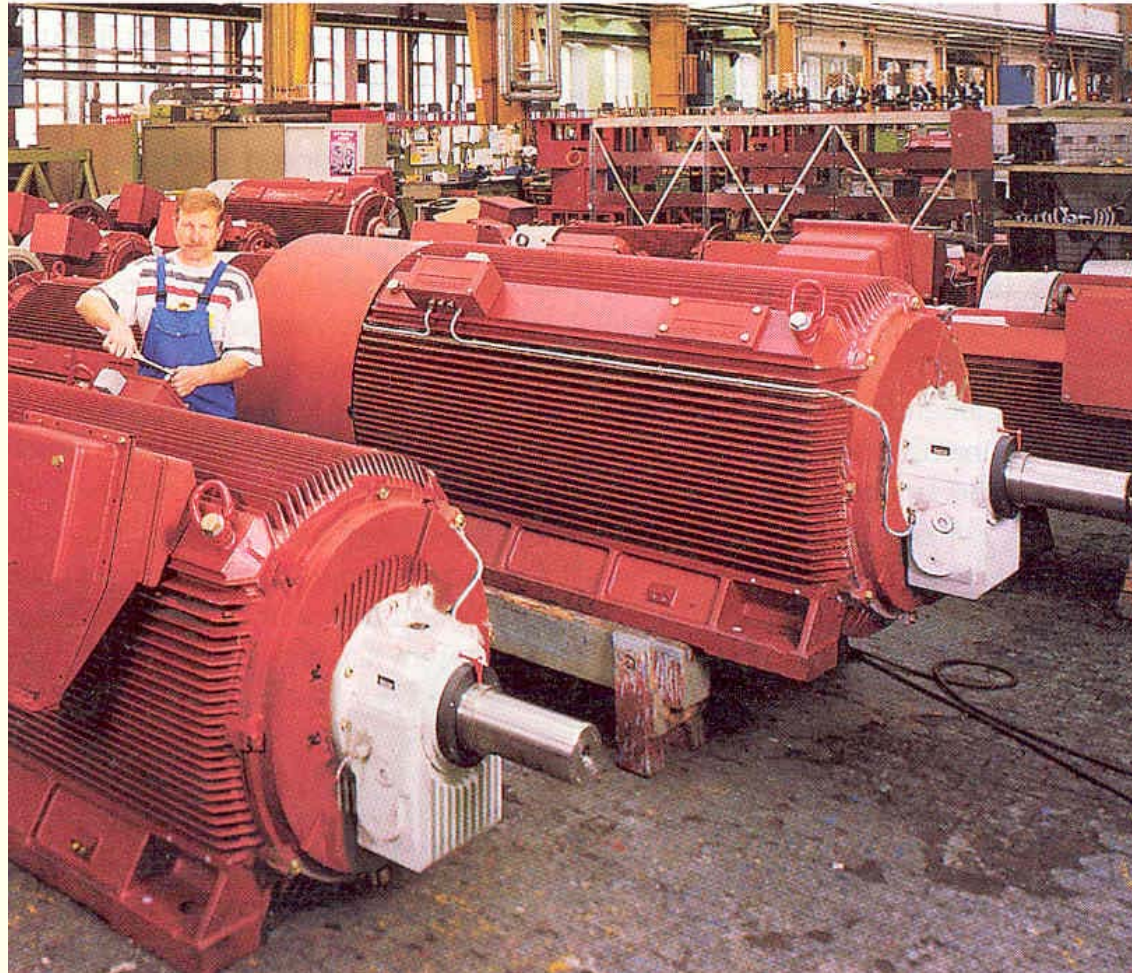


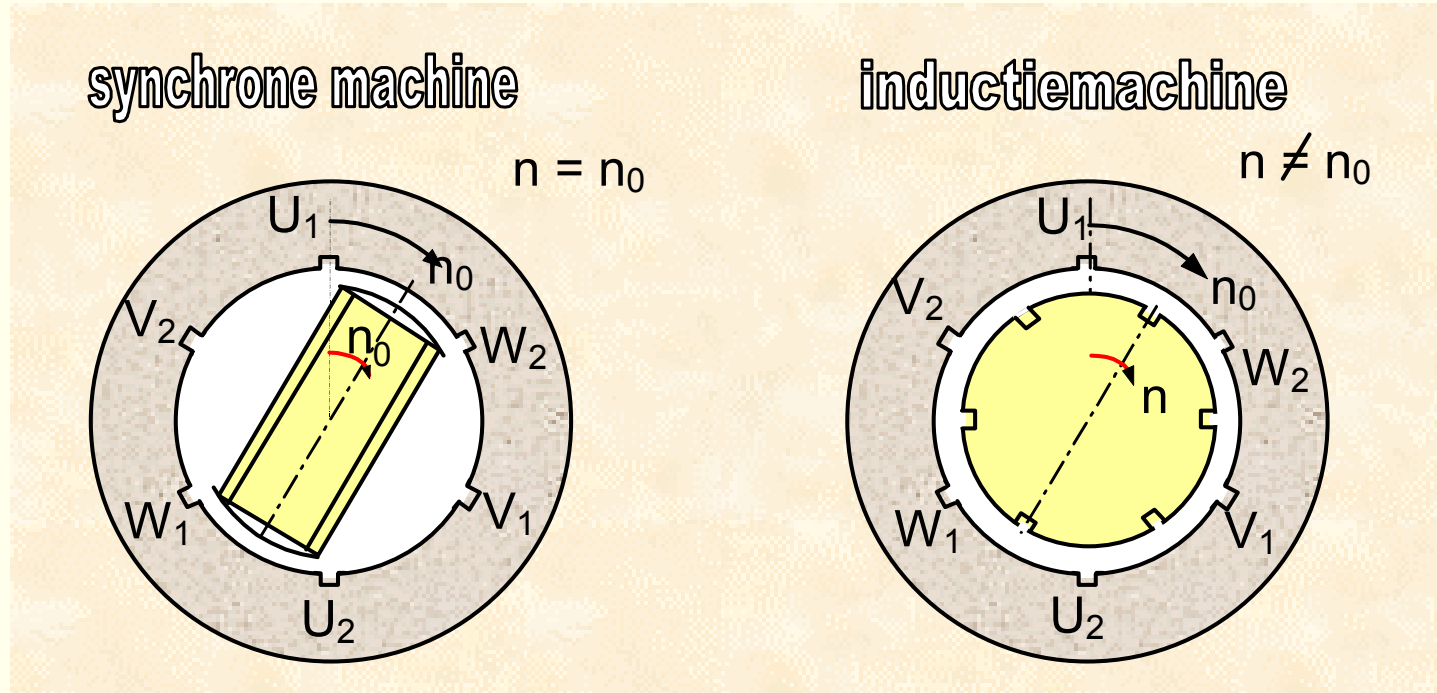
Inductiemachines



Draaiveldtheorie

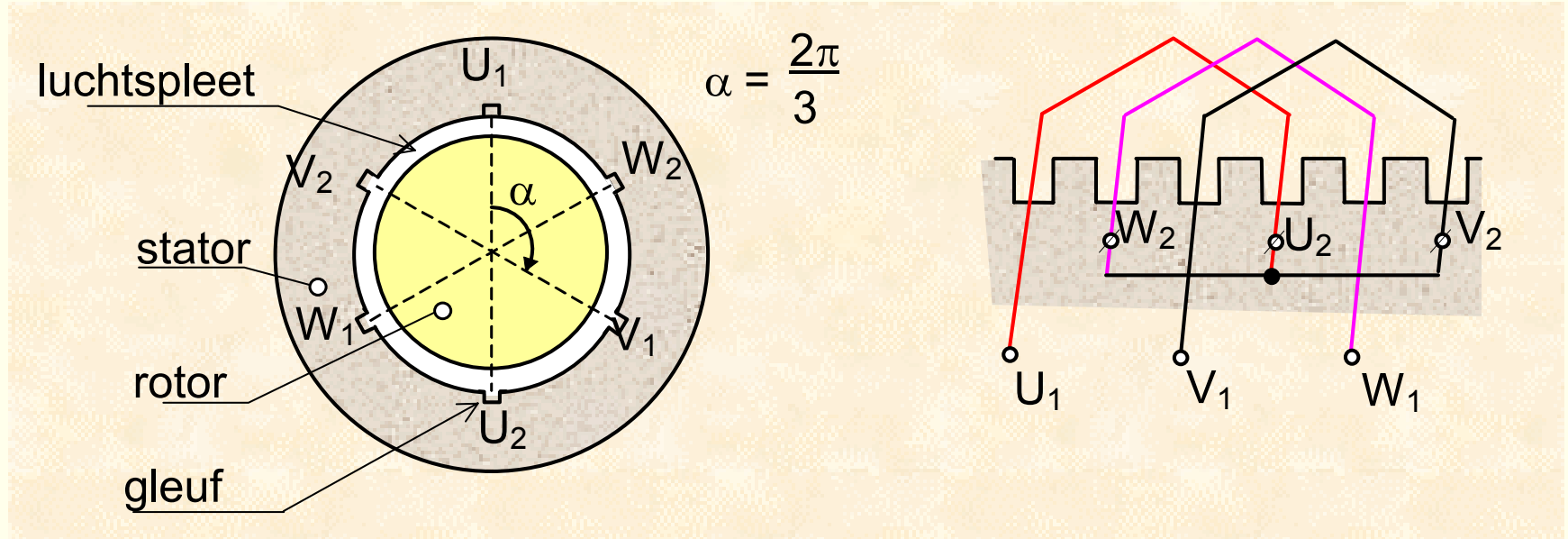
- Principe
- Opbouw van de stator
- Wisselveld
- Draaiveld
- Driefasige wikkeling
- Wikkelfactor
- Spanningsinductie door een draaiveld
- Koppelgeneratie
- Vermogenstroom, frequentievoorwaarde

Principe



Synchrone motor-Inductiemotor

Opbouw van de stator



$$\alpha = \frac{2\pi}{3}$$

$$\gamma = -\frac{2\pi}{3}$$

Meerpolig

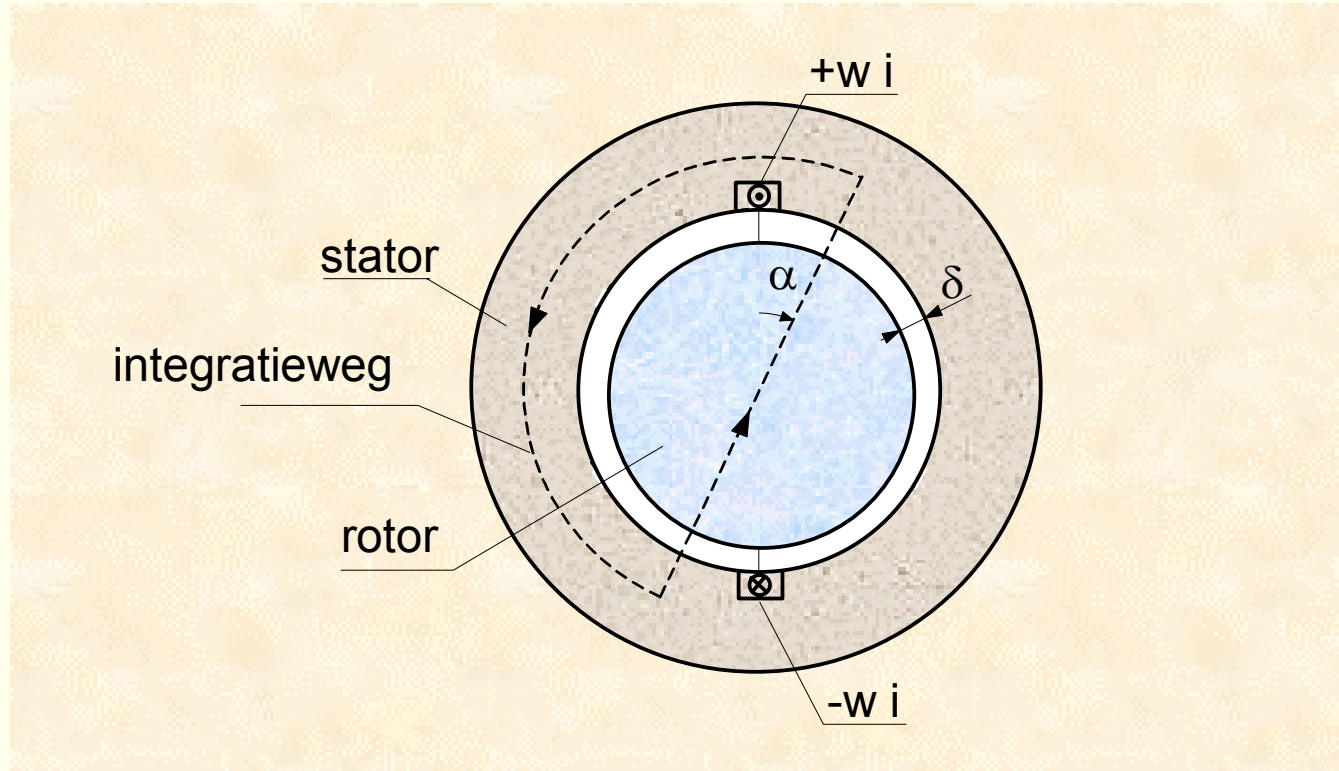
$$\alpha = \frac{2\pi}{3p}$$

p poolpaartal

$$\tau_p = \frac{\pi D}{2p}$$

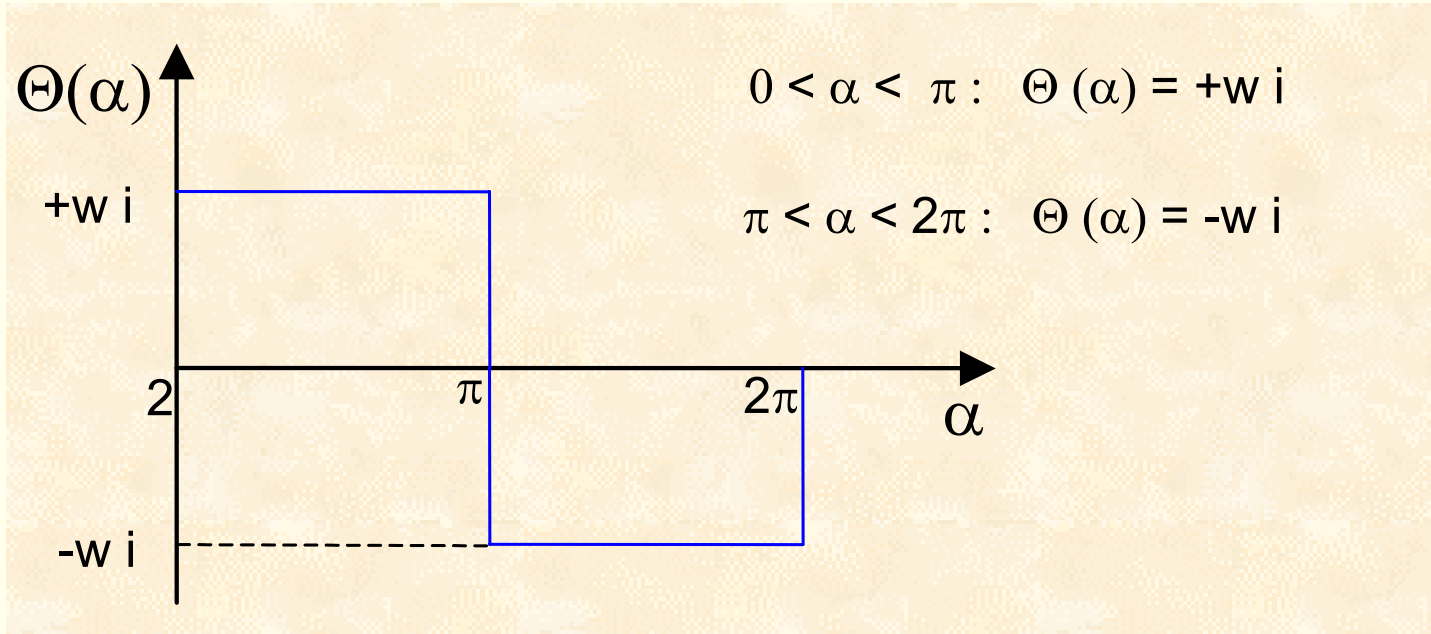
$$N = (2p)mq$$

Wisselveld



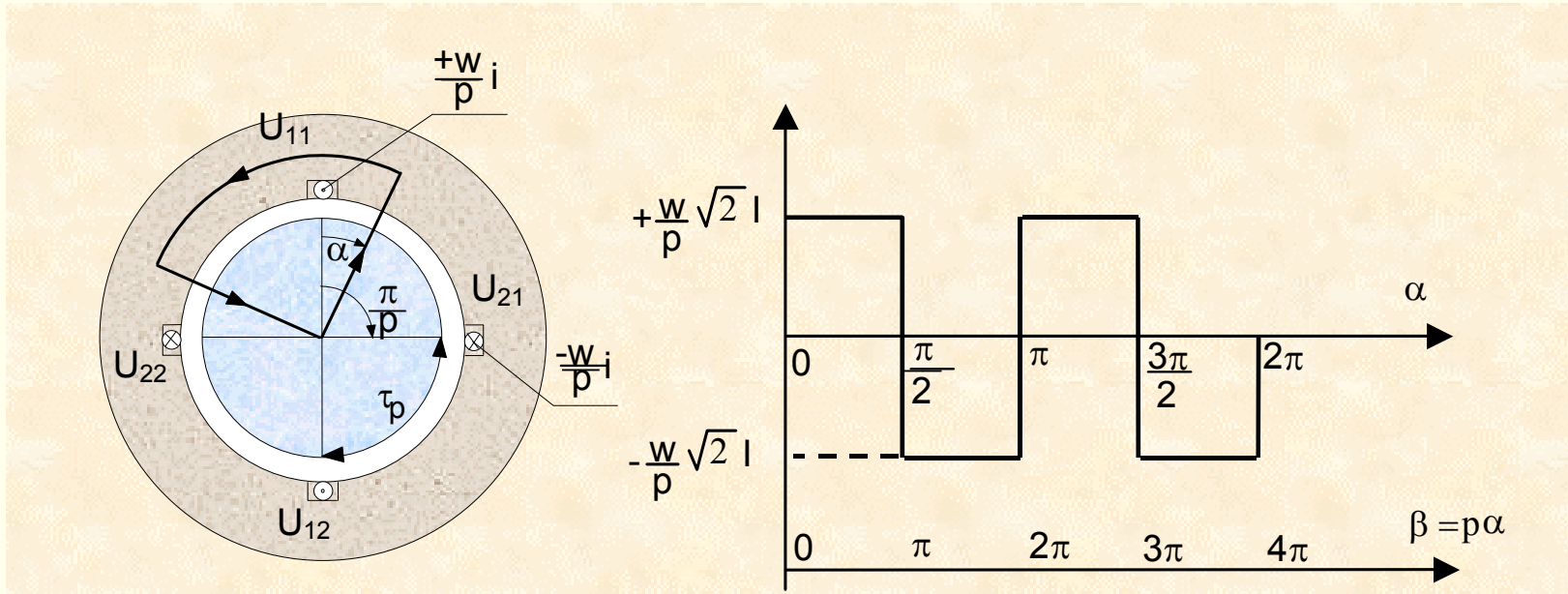
$$\oint \vec{H} \cdot d\vec{\ell} = H(\alpha)\delta + H(\alpha + \pi)(-\delta) = H(\alpha)2\delta = \Theta(\alpha)$$

Doorstroming



$$B(\alpha) = \mu_0 H(\alpha) = \mu_0 \frac{\Theta(\alpha)}{2\delta}$$

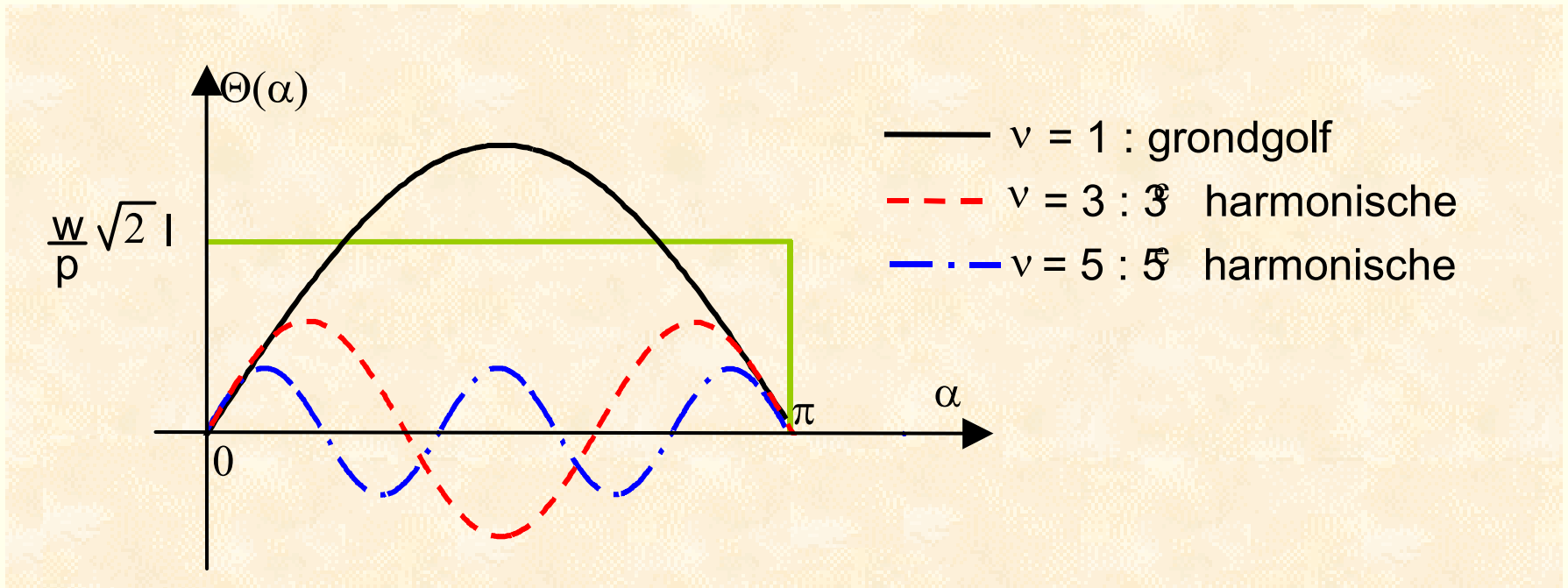
Meerpolige doorstroming



$$0 < \alpha < \frac{\pi}{p}$$

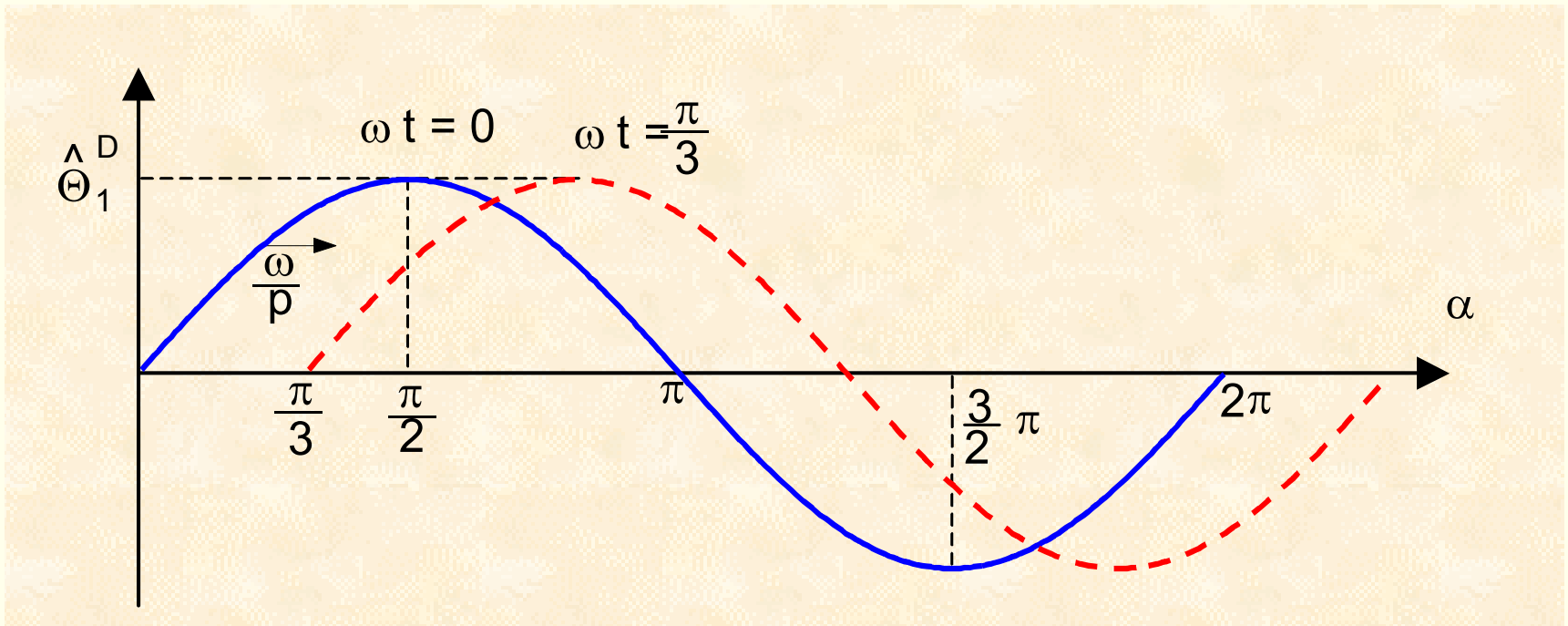
$$\Theta^w(\alpha, t) = \frac{N}{p} \sqrt{2} I \cos \omega t$$

Harmonischen



Draaiveld

$$\Theta_1^D(\alpha, t) = \hat{\Theta}_1^D \sin(\alpha p - \omega t)$$



$$\alpha p - \omega t = \text{constante}$$

$$\frac{d\alpha}{dt} = \frac{\omega}{p} = \Omega$$

$$\Theta_1^D(\alpha, t) = \hat{\Theta}_1^D \sin(\alpha p + \omega t)$$

$$\frac{d\alpha}{dt} = -\frac{\omega}{p} = -\Omega$$

Wisselveld-Draaiveld

$$\begin{aligned}\Theta_1^w(\alpha, t) &= \hat{\Theta}_1^w \cos \omega t \sin \alpha p \\ &= \frac{\hat{\Theta}_1^w}{2} \sin(\alpha p - \omega t) + \frac{\hat{\Theta}_1^w}{2} \sin(\alpha p + \omega t)\end{aligned}$$

Ordegetallen

p	50 Hz	60 Hz
1	3000	3600
2	1500	1800
3	1000	1200
4	750	900
5	600	720
6	500	600

$$n_0 = \frac{\Omega_1}{2\pi} = \frac{f}{p}$$

$$s = \frac{\frac{\omega}{p} - \Omega}{\frac{\omega}{p}} = \frac{n_0 - n}{n_0}$$

$$\frac{U_{i2v}}{U_{i1v}} = \frac{w_2 \xi_{2v}}{w_1 \xi_{2v}} s_v$$

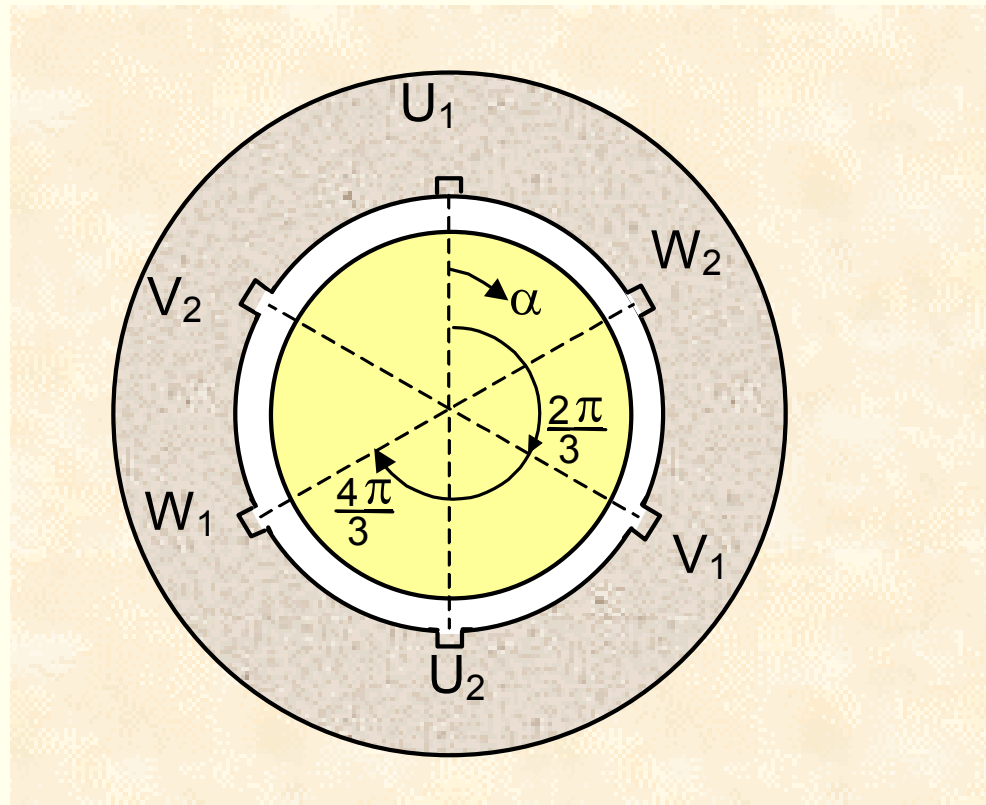
$$U_{i11} = w_1 \xi_{11} \omega \frac{\hat{\phi}_1}{\sqrt{2}} = 2\pi f_1 \xi_{11} w_1 \frac{\hat{\phi}_1}{\sqrt{2}} = 4,44 w_1 \xi_{11} f_1 \hat{\phi}_1$$

$$U_{i21} = w_2 \xi_{21} s_1 \omega \frac{\hat{\phi}_1}{\sqrt{2}}$$

Koppelgeneratie

$$\begin{aligned}\Theta_1^D(\alpha_1, t) &= \frac{3}{2} \frac{4}{\pi} \frac{N_1 \xi_1}{p_1} \sqrt{2} I_1 \sin(p_1 \alpha_1 - \omega_1 t) \\ &= \hat{\Theta}_1^D \sin(p_1 \alpha_1 - \omega_1 t)\end{aligned}$$

Driefasige wikkeling



$$\Theta_2^D(\alpha_2, t) = \frac{3}{2} \frac{4}{\pi} \frac{N_2 \xi_2}{p_2} \sqrt{2} I_2 \sin(p_2 \alpha_2 - \omega_2 t)$$

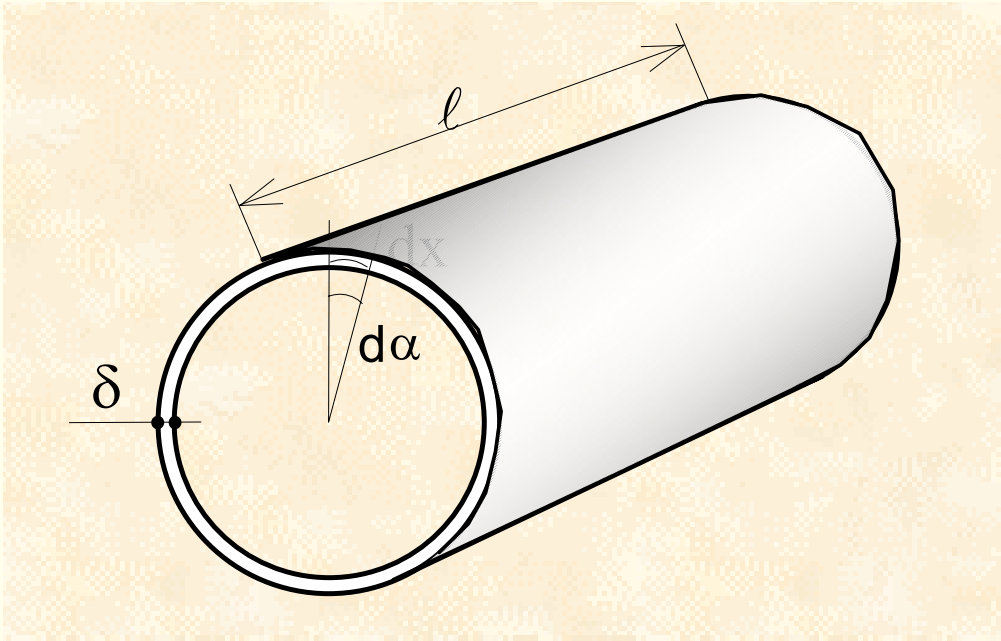
$$\alpha_2 = \alpha_1 - \varepsilon$$

$$\varepsilon = \Omega t + \varepsilon_0$$

$$\Theta_2^D(\alpha_1, t) = \hat{\Theta}_2^D \sin(p_2 \alpha_1 - \omega_2 t - p_2 \varepsilon)$$

$$\Theta_1^D(\alpha, t) + \Theta_2^D(\alpha, t) = H(\alpha, t) 2\delta$$

$$B(\alpha, t) = \frac{\mu_0}{2\delta} \left[\Theta_1^D(\alpha, t) + \Theta_2^D(\alpha, t) \right]$$



Berekening van de
opgeslagen
magnetische energie

$$W_m = \iiint_V \frac{B^2(\alpha, t)}{2\mu_0} dV = \int_0^{2\pi} \frac{B^2(\alpha, t)}{2\mu_0} l \delta \frac{D}{2} d\alpha$$

$$T = \frac{\partial W_m}{\partial \varepsilon} = \frac{\partial}{\partial \varepsilon} \int_0^{2\pi} \frac{B^2(\alpha, t)}{2\mu_0} \ell \delta \frac{D}{2} d\alpha$$

$$\begin{aligned} \frac{\partial}{\partial \varepsilon} [B^2(\alpha, t)] &= 2B(\alpha, t) \frac{\partial B(\alpha, t)}{\partial \varepsilon} \\ &= 2 \left(\frac{\mu_0}{2\delta} \right)^2 \left[\Theta_1^D(\alpha, t) + \Theta_2^D(\alpha, t) \right] \frac{\partial \Theta_2^D(\alpha, t)}{\partial \varepsilon} \end{aligned}$$

$$T = \frac{\ell \delta D}{4 \mu_0} 2 \left(\frac{\mu_0}{2\delta} \right)^2 \int_0^{2\pi} \left[\hat{\Theta}_1^D \sin(p_1 \alpha - \omega_1 t) + \hat{\Theta}_2^D \sin(p_2 \alpha - \omega_2 t - p_2 \varepsilon) \right]$$

$$\hat{\Theta}_2^D \left[(-p_2) \cos(p_2 \alpha - \omega_2 t - p_2 \varepsilon) \right] d\alpha$$

$$\int_0^{2\pi} \sin x \cos x dx = 0$$

$$T = -\frac{p_2 \ell D \mu_0}{4.2 \delta} \hat{\Theta}_1^D \hat{\Theta}_2^D \int_0^{2\pi} \sin(p_1 \alpha - \omega_1 t) \cos(p_2 \alpha - \omega_2 t - p_2 \varepsilon) d\alpha$$

$$\sin x \cos y = \frac{1}{2} \sin(x + y) + \frac{1}{2} \sin(x - y)$$

$$T = -\frac{p_2 \ell D \mu_0}{4.2 \delta} \frac{\hat{\Theta}_1^D \hat{\Theta}_2^D}{2} \int_0^{2\pi} \left\{ \sin \left[(p_1 + p_2) \alpha - (\omega_1 + \omega_2) t - p_2 \varepsilon \right] \right. \\ \left. + \sin \left[(p_1 - p_2) \alpha - (\omega_1 - \omega_2) t + p_2 \varepsilon \right] \right\} d\alpha$$

$$T = -\frac{p \ell D \mu_0}{4.2 \delta} \frac{\hat{\Theta}_1^D \hat{\Theta}_2^D}{2} 2 \pi \sin \left[-(\omega_1 - \omega_2) t + \varepsilon p \right]$$

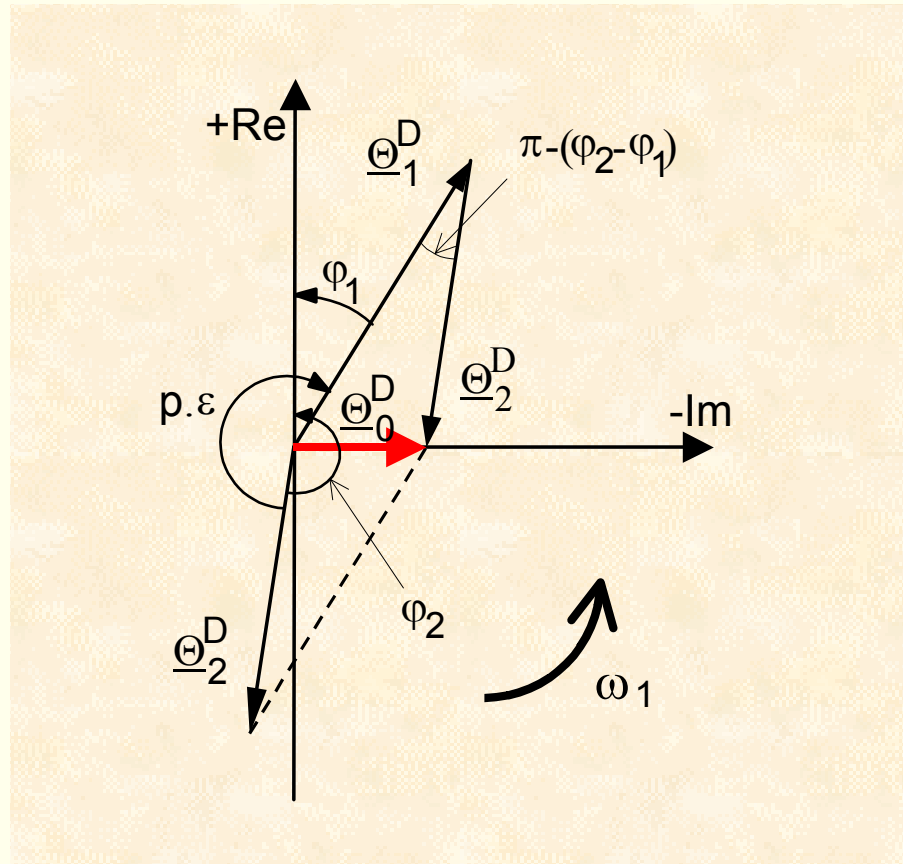
$$T = -\frac{p \ell D \mu_0}{4.2 \delta} \frac{\hat{\Theta}_1^D \hat{\Theta}_2^D}{2} 2 \pi \sin \left[-(\omega_1 - (\omega_2 + p\Omega)) t + p\varepsilon_0 \right]$$

$$T = -\frac{p \ell D \mu_0}{4.2 \delta} \frac{\hat{\Theta}_1^D \hat{\Theta}_2^D}{2} 2 \pi \sin p\varepsilon_0$$

$$\underline{\Theta}_0^D = \underline{\Theta}_1^D + \underline{\Theta}_2^D = \underline{B} \frac{2\delta}{\mu_0}$$

$$\hat{\Theta}_0^D = \sqrt{\left(\hat{\Theta}_1^D\right)^2 + \left(\hat{\Theta}_2^D\right)^2 + 2\hat{\Theta}_1^D \hat{\Theta}_2^D \cos(\varphi_2 - \varphi_1)}$$

Verband tussen de fasoren van de doorstromingen



$$\begin{aligned}
 T &= \frac{p \ell D \mu_0}{4 2 \delta} \pi \theta_1^D \hat{B} \frac{2 \delta}{\mu_0} \cos \varphi_1 \\
 &= \frac{p \ell D \pi}{4} \frac{3}{2} \frac{4}{\pi} \frac{N_1 \xi_1}{p} \sqrt{2} I_1 \hat{B} \cos \varphi_1
 \end{aligned}$$

$$U_i = \omega_1 N_1 \xi_1 \frac{D \ell}{p} \frac{\hat{B}}{\sqrt{2}}$$

$$T = \frac{3 p}{\omega_1} U_i I_1 \cos \varphi_1 = \frac{3 U_i I_1 \cos \varphi_1}{\Omega_1} = \frac{P_\delta 60}{2 \pi n_0}$$

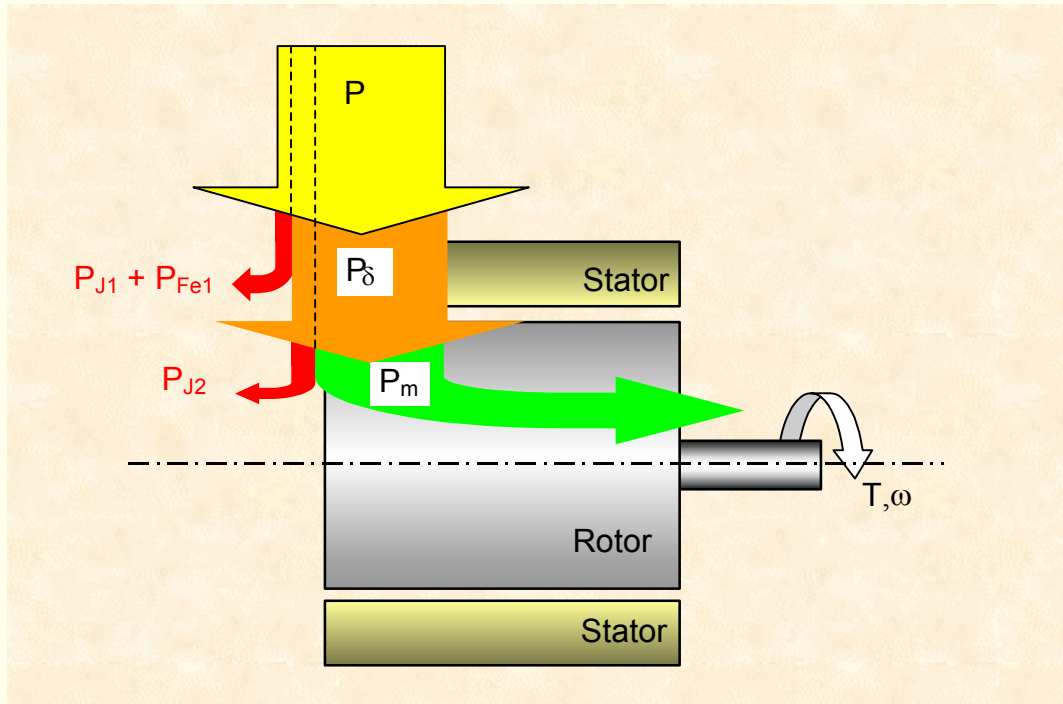
Vermogenstroom, frequentievoorwaarde

$$P_{\delta} = P_1 - P_{J1} - P_{Fe1} = P_1 - 3R_1 I_1^2 - P_{Fe1}$$

$$P_{\delta} = 3U_i I_1 \cos \varphi_1 = T \frac{2\pi n_0}{60}$$

$$P_m = T \frac{2\pi}{60} n = T \frac{2\pi}{60} n_0 (1-s) = (1-s) P_{\delta}$$

$$P_{J2} = P_{\delta} - P_m = P_{\delta} - (1-s) P_{\delta} = s P_{\delta}$$



Vermogenstroom in een wisselstroom- machine

$$\omega_1 = \omega_2 + p\Omega$$

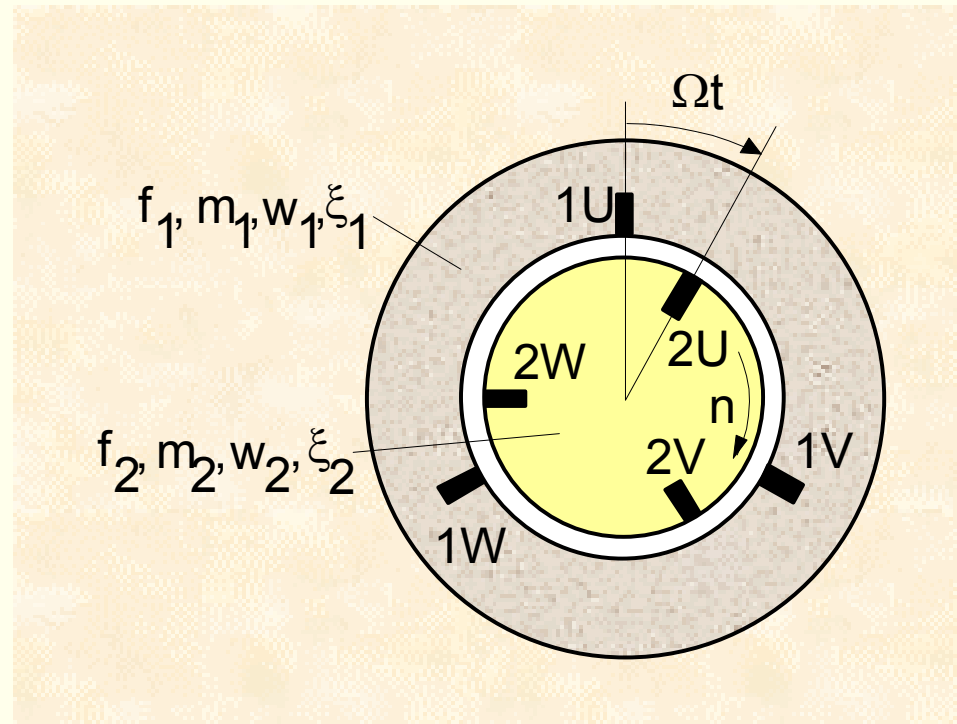
$$\omega_1 = \omega_2 + (1-s)\omega_1$$

$$\omega_2 = s\omega_1 \qquad \omega_1 = 2\pi f_1$$

Inductiemachine

- Equivalent schema
- Inductanties en weerstanden
- Gedrag van de machine
- Kooirotor
- Dubbelkooirotor en stroomverdringingsrotor
- Eenfasige inductiemotor

Equivalent schema

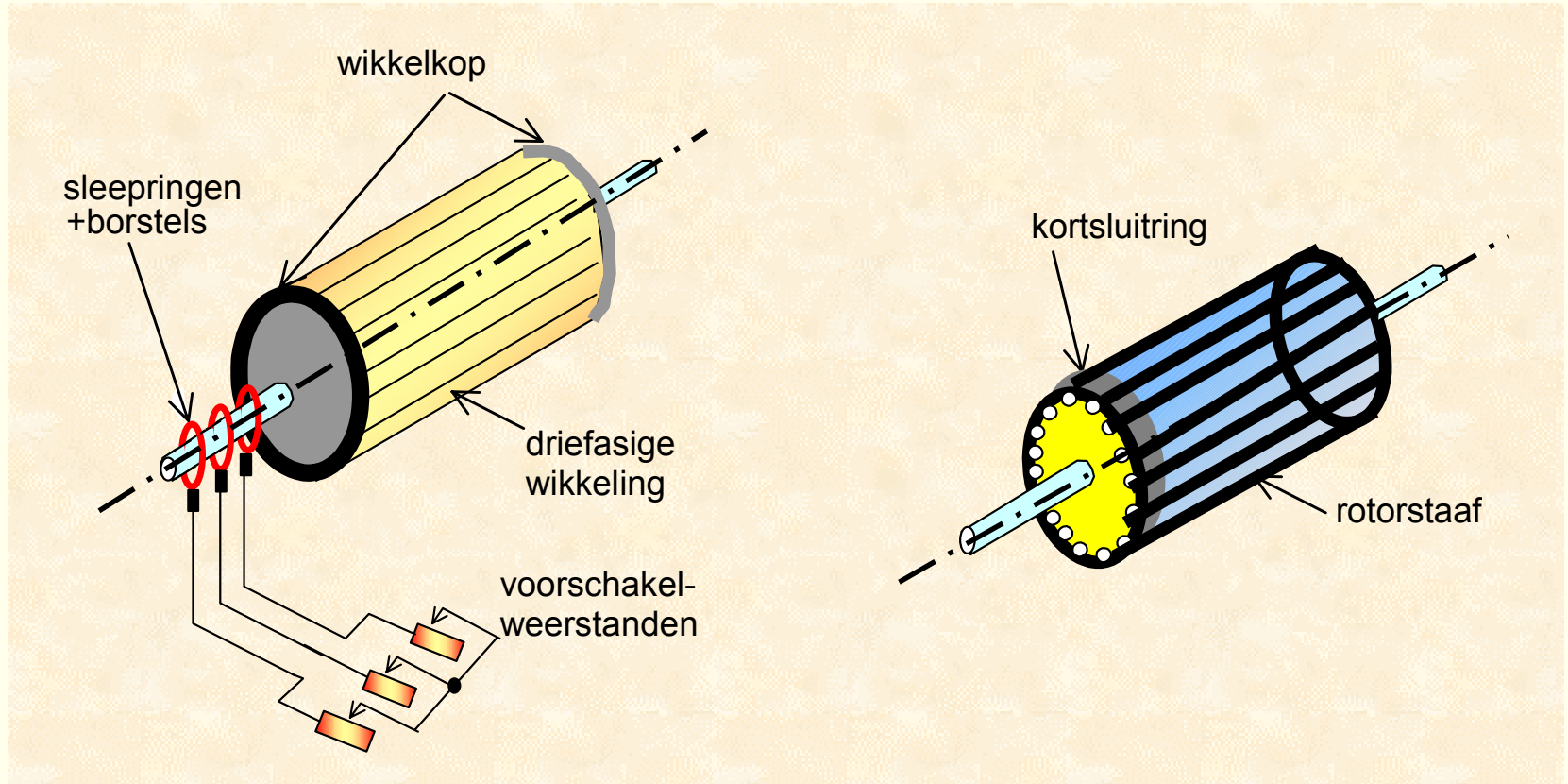


$$n_0 = \frac{f_1}{p}$$

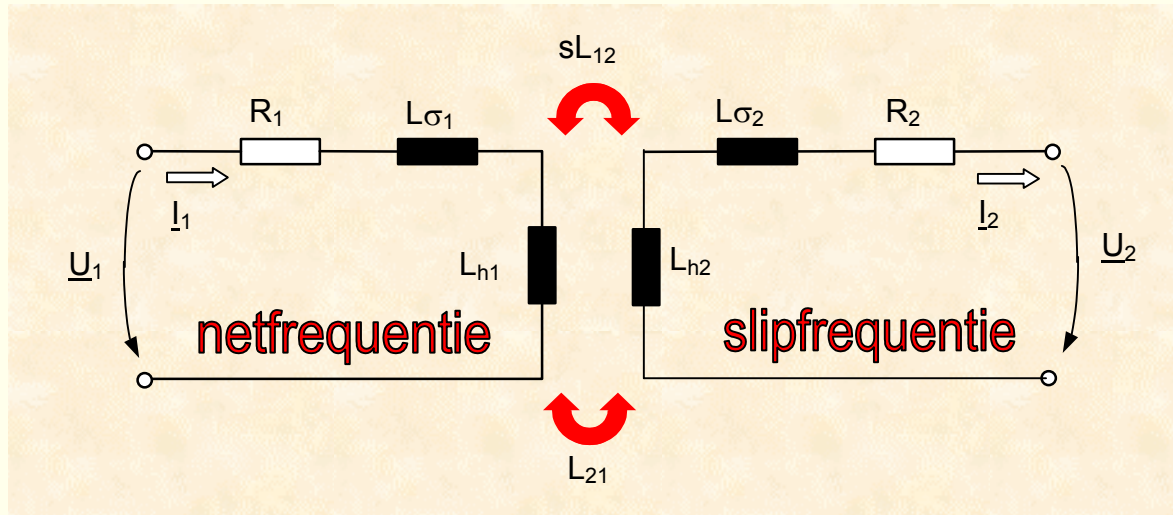
$$n = (1 - s) n_0$$

$$f_2 = s f_1$$

Soorten



Magnetische koppeling



$$\underline{U}_1 = R_1 \underline{I}_1 + j\omega_1 L_1 \underline{I}_1 - j\omega_1 L_{21} \underline{I}_2$$

$$\underline{U}_2 = -R_2 \underline{I}_2 - j\omega_2 L_2 \underline{I}_2 + j\omega_2 L_{12} \underline{I}_1$$

$$L_1 = L_{\sigma 1} + L_{h1} \quad L_2 = L_{\sigma 2} + L_{h2}$$

Eisen

- Dezelfde doorstroming

$$I_2' = I_2 \frac{m_2 w_2 \xi_2}{m_1 w_1 \xi_1}$$

- Dezelfde hoofdflux

$$U_{i2}' = U_{i2} \frac{w_1 \xi_1}{w_2 \xi_2}$$

- Dezelfde jouleverliezen

$$R_2' = R_2 \frac{m_1 (w_1 \xi_1)^2}{m_2 (w_2 \xi_2)^2}$$

- Dezelfde magnetische energie

$$L_2' = L_2 \frac{m_1 (w_1 \xi_1)^2}{m_2 (w_2 \xi_2)^2}$$

$$m_2 L_{12} = m_1 L_{21}$$

$$L_{21} = L_{h1} \frac{m_2 w_2 \xi_2}{m_1 w_1 \xi_1}$$

$$L_{12} = L_{h1} \frac{w_2 \xi_2}{w_1 \xi_1}$$

Spanningsvergelijkingen

$$\underline{U}_1 = R_1 \underline{I}_1 + j\omega_1 L_1 \underline{I}_1 - j\omega_1 L_{h1} \underline{I}'_2$$

$$\frac{\underline{U}'_2}{s} = -\frac{R'_2}{s} \underline{I}'_2 - j\omega_1 L'_2 \underline{I}'_2 + j\omega_1 L_{h1} \underline{I}_1$$

Met

$$X_{h1} = \omega_1 L_{h1}$$

hoofdreactantie

$$X_1 = \omega_1 L_{1=} X_{h1} + X_{\sigma 1}$$

totale statorreactantie

$$X'_2 = \omega_1 L'_2 = X'_{h2} + X'_{\sigma 2}$$

op de stator betrokken
totale rotorreactantie

$$X_{\sigma 1}$$

statorlekreactantie

$$X'_{\sigma 2}$$

op de stator betrokken
rotorlekreactantie

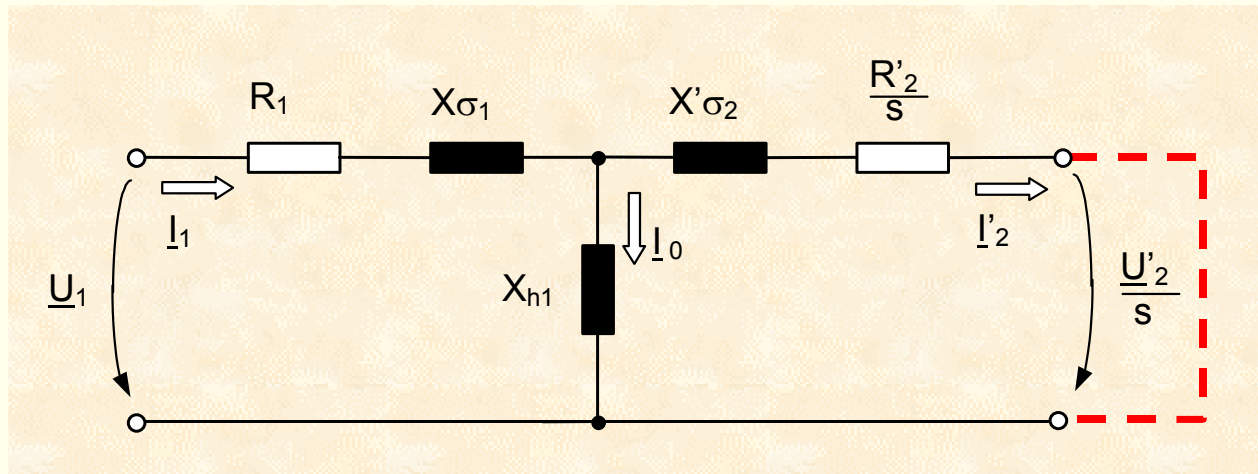
$$\underline{I}_0 = \underline{I}_1 - \underline{I}'_2$$

nullaststroom

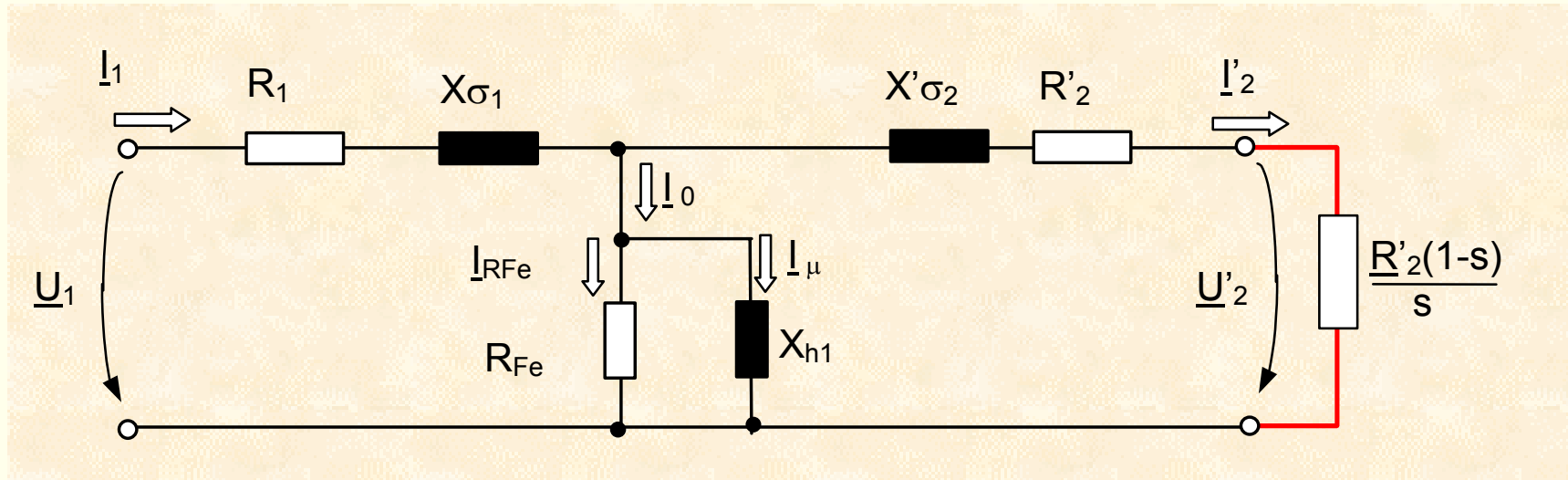
Galvanische koppelung

$$\underline{U}_1 = R_1 \underline{I}_1 + jX_{\sigma 1} \underline{I}_1 + jX_{h1} \underline{I}_0$$

$$\frac{\underline{U}'_2}{s} = -\frac{R'_2}{s} \underline{I}'_2 - jX'_{\sigma 2} \underline{I}'_2 + jX_{h1} \underline{I}_0$$



Met ijzerverliezen



Inductanties - Weerstand

- Hoofdinductantie

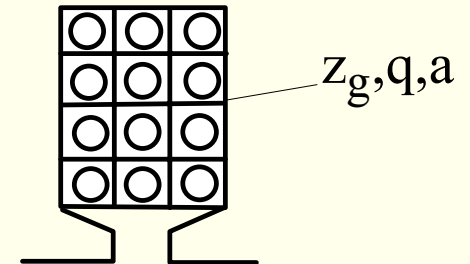
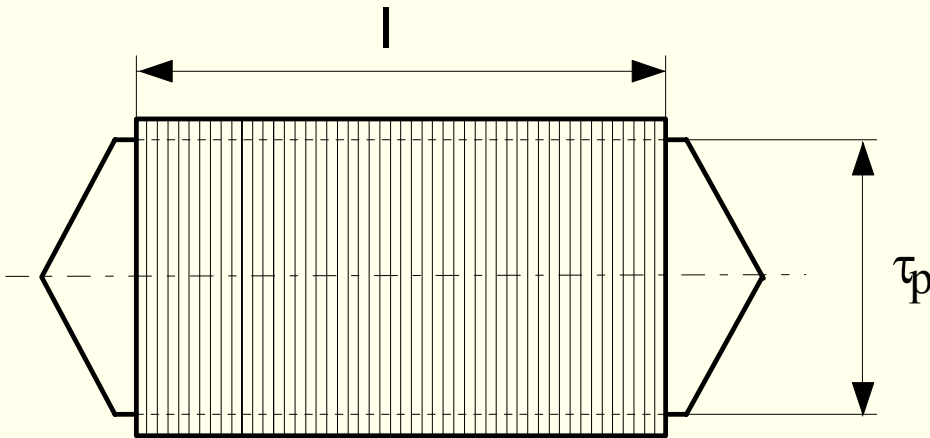
$$L_{h1} = \frac{X_{h1}}{\omega_1} = \frac{U_i}{\omega_1 I_1} = \frac{3}{2} \mu_0 \left(\frac{w_1 \xi_1}{p} \right)^2 \frac{2}{\pi} \frac{\ell D}{\delta}$$

- Strooiinductanties

$$L_{\sigma} = L_{\sigma d.v.} + L_{\sigma g} + L_{\sigma s}$$

- Faseweerstand

$$R = \rho \frac{wl_g}{q} [1 + \alpha (T - 20)]$$



Gedrag van de machine

- Statorstroom
- Fasordiagram
- Vermogenverdeling en spanningsvergelijking
- Vermogenbilan
- Stationaire koppel-slip karakteristiek
- Formule van Kloss
- Samenvattende karakteristieken

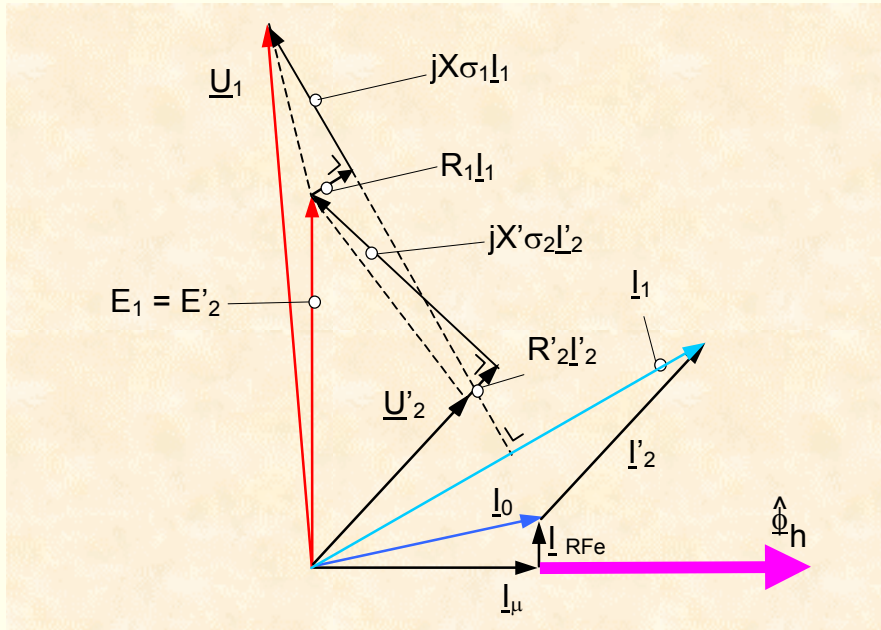
Statorstroom

$$\underline{U}'_2 = 0$$

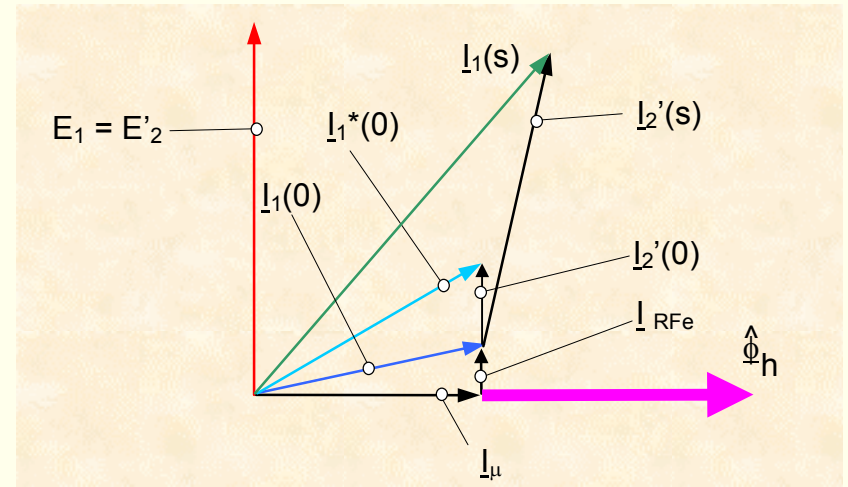
$$\underline{U}_1 = R_1 \underline{I}_1 + jX_{\sigma 1} \underline{I}_1 + jX_{h1} \underline{I}_0$$

$$0 = -\frac{R'_2}{s} \underline{I}'_2 - jX'_{\sigma 2} \underline{I}'_2 + jX_{h1} \underline{I}_0$$

Fasordiagram



Normale werking



Nullast

Vermogenverdeling - Stator

$$(3\underline{U}_1) \cdot \underline{I}_1 = (3R_1 \underline{I}_1) \cdot \underline{I}_1 + (3j\omega_1 L_1 \underline{I}_1) \cdot \underline{I}_1 - (3j\omega_1 L_{21} \underline{I}_2) \cdot \underline{I}_1$$

waarbij

$$(3\underline{U}_1) \cdot \underline{I}_1 = P_1 = 3U_1 I_1 \cos \varphi \quad \text{totaal ingaand actief vermogen}$$

$$(3R_1 \underline{I}_1) \cdot \underline{I}_1 = 3R_1 I_1^2 \quad \text{statorjouleverliezen } P_{j1}$$

$$-(3j\omega_1 L_{12} \underline{I}_2) \cdot \underline{I}_1 = +3\omega_1 L_{21} \{ [j\underline{I}_1] \cdot [\underline{I}_2] \} = P_\delta$$

luchtspleetvermogen, m.a.w. het vermogen dat via de luchtpleet naar de rotor wordt overgedragen

$$(3j\omega_1 L_1 \underline{I}_1) \cdot \underline{I}_1 = 0$$

Vermogenverdeling - Rotor

$$0 = -(3R_2 \underline{I}_2) \cdot \underline{I}_2 - (3js\omega_1 L_2 \underline{I}_2) \cdot \underline{I}_2 + (3js\omega_1 L_{12} \underline{I}_1) \cdot \underline{I}_2$$

$$P_{J_2} = sP_\delta$$

$$0 = -(3R_2 \underline{I}_2) \cdot \underline{I}_2 - \left(3 \frac{R_2 (1-s)}{s} \underline{I}_2 \right) \cdot \underline{I}_2 - (3j\omega_1 L_2 \underline{I}_2) \cdot \underline{I}_2 \\ + (3j\omega_1 L_{12} \underline{I}_1) \cdot \underline{I}_2$$

Hierin is:

$$(3R_2 \underline{I}_2) \cdot \underline{I}_2 = 3R_2 I_2^2$$

Jouleverliezen
 P_{J_2} in de rotor

$$\left(3 \frac{R_2 (1-s)}{s} \underline{I}_2 \right) \cdot \underline{I}_2 = 3 \frac{R_2 (1-s)}{s} I_2^2$$

Elektromechanische
vermogen P_{em}

$$(3j\omega_1 L_{12} \underline{I}_1) \cdot \underline{I}_2 = 3\omega_1 L_{21} \{ [j\underline{I}_1] \cdot [\underline{I}_2] \} = P_\delta$$

Koppel en mechanisch vermogen

$$P_{\delta} = P_{J2} + P_{em}$$

$$P_{em} = (1 - s)P_{\delta}$$

$$T = \frac{P_{em}}{\omega_m} = \frac{(1 - s)P_{\delta}}{\frac{\omega_1}{p}(1 - s)} = \frac{p}{\omega_1} P_{\delta}$$

$$T = \frac{p}{\omega_1} \frac{P_{J2}}{s}$$

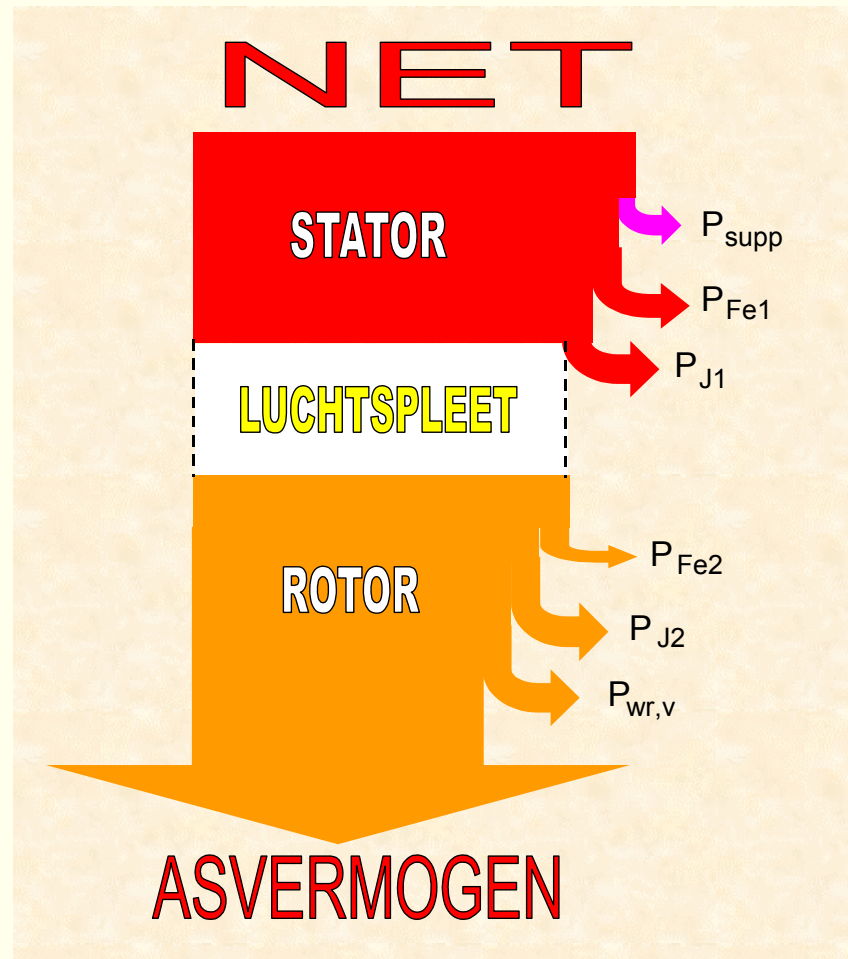
$$P_{J_2} = 3R_2' \cdot I_2'^2$$

$$I_2'^2 = \frac{U_1^2}{\left(R_1 + \frac{R_2'}{s}\right)^2 + X_k^2}$$

$$X_k = X_{\sigma 1} + X_{\sigma 2}'$$

$$T = \frac{3p}{\omega_1} U_1^2 \frac{\frac{R_2'}{s}}{\left(R_1 + \frac{R_2'}{s}\right)^2 + (X_k)^2}$$

Vermogenbilan



Stationaire koppel- slipkarakteristiek

$$\underline{I}_1 = \frac{\left(\frac{R_2'}{s} + jX_2' \right) \cdot \underline{U}_1}{(R_1 + jX_1) \cdot \left(\frac{R_2'}{s} + jX_2' \right) + X_{h1}^2}$$

$$\underline{I}_2 = \frac{+ jX_{h1} \cdot \underline{U}_1}{(R_1 + jX_1) \cdot \left(\frac{R_2'}{s} + jX_2' \right) + X_{h1}^2}$$

$$X_1 = X_{\sigma 1} + X_{h1}$$

$$X_2' = X_{\sigma 2}' + X_{h1}$$

$$T = \frac{p}{\omega_1} P_\delta = \frac{p}{\omega_1} \cdot \frac{P_{J2}}{s}$$

$$= \frac{3p}{\omega_1} \frac{R_2'}{s} |I_2'|^2$$

$$= \frac{3p}{\omega_1} \frac{R_2' s X_{h1}^2 U_1^2}{R_1^2 R_2'^2 + R_2'^2 X_1^2 + 2s R_1 R_2' X_{h1}^2 + s^2 \left[\left(X_{h1}^2 - X_1 X_2' \right)^2 + R_1^2 X_2'^2 \right]}$$

Koppel zonder statorweerstand

$$T = \frac{3p}{\omega_1} \frac{R_2' s X_{h1}^2 U_1^2}{R_2'^2 X_1^2 + s^2 (X_{h1}^2 - X_1 X_2')^2}$$

Blondel

$$\sigma = 1 - \frac{X_{h1}^2}{X_1 X_2'}$$

$$T = \frac{3p \frac{R_2'}{X_2'} s \frac{U_1^2}{X_1} (1 - \sigma)}{\omega_1 \frac{R_2'^2}{X_2'^2} + s^2 \sigma^2}$$

$$I_0 = \frac{U_1}{X_1}$$

$$\beta = \frac{R_2'}{X_2'}$$

$$T = \frac{3p \beta s X_1 I_0^2 (1 - \sigma)}{\omega_1 \beta^2 + s^2 \sigma^2}$$

$$s_{kip} = \frac{\beta}{\sigma} \cong \frac{R_2'}{X_{\sigma 1} + X_{\sigma 2}'}$$

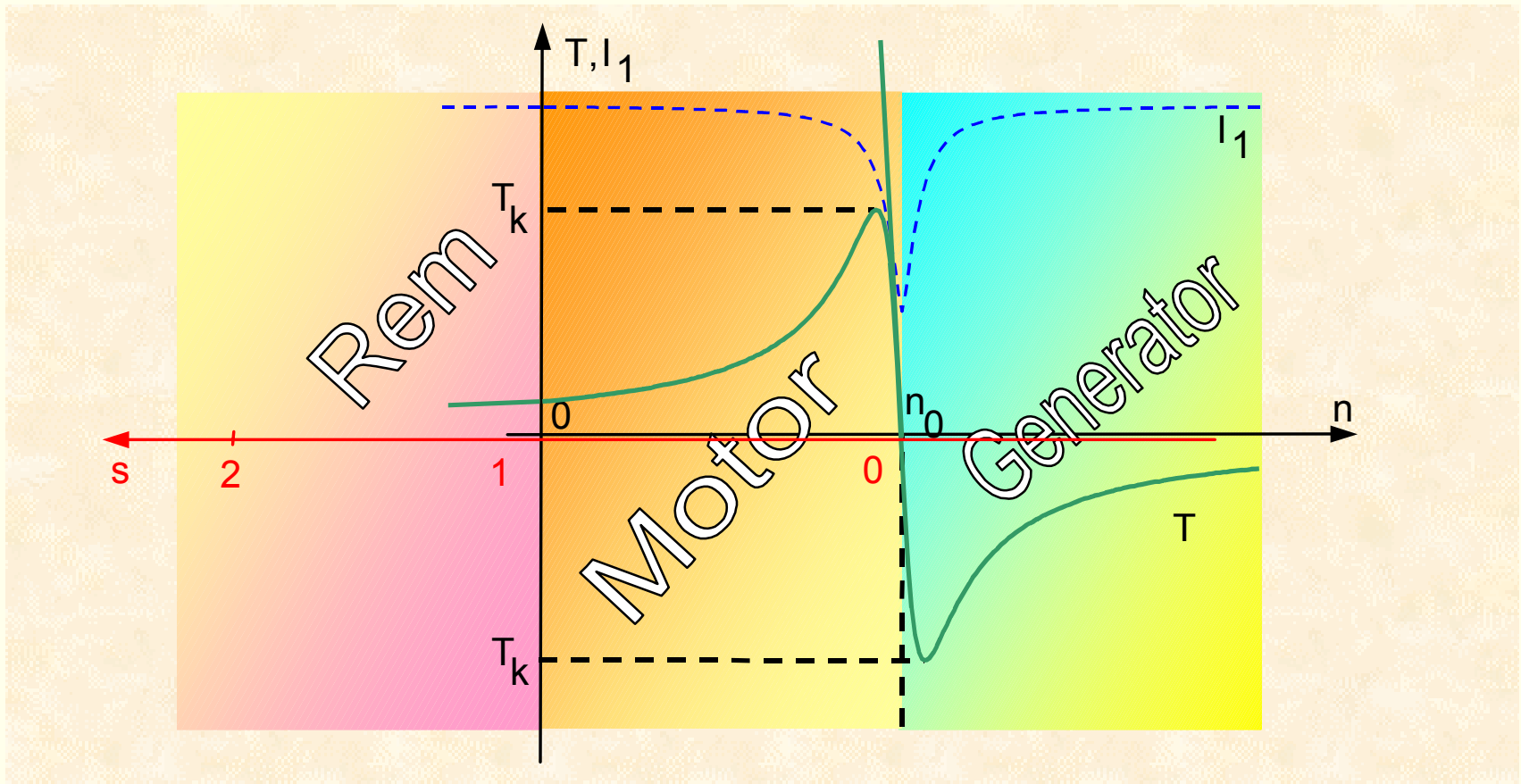
$$T_{kip} = \frac{3p X_1 (1 - \sigma) I_0^2}{\omega_1 2\sigma} = \frac{3p X_1^2 I_m^2}{2\omega_1 X_{\sigma 1} + X_{\sigma 2}'}$$

Verloop van T-s

$$T(s) \underset{s \rightarrow 0}{\approx} \frac{3p}{\omega_1} X_1 I_0^2 (1 - \sigma) \frac{s}{\beta} = \frac{3p}{\omega_1} X_1 I_0^2 (1 - \sigma) \frac{X_2'}{R_2'} s$$

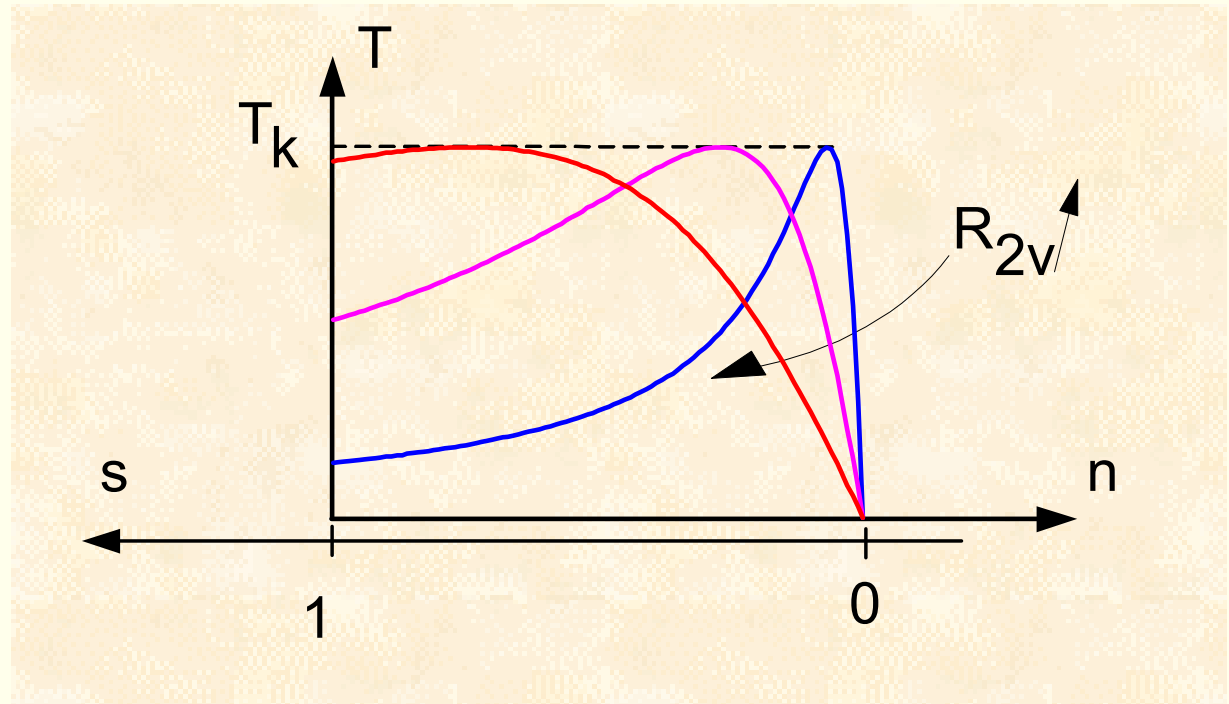
$$T(s) \underset{s \rightarrow \infty}{\approx} \frac{3p}{\omega_1} \beta X_1 I_0^2 \frac{(1 - \sigma)}{\sigma^2} \frac{1}{s} = \frac{3p}{\omega_1} \frac{R_2'}{X_2'} X_2 I_0^2 \frac{(1 - \sigma)}{\sigma^2} \frac{1}{s}$$

Koppel in functie van de slip en werkingsgebieden voor een inductiemachine



Voorschakelweerstand

$$\frac{T_k}{T_n} \geq 1,6$$



$$\underline{I}'_2 \sim \frac{s}{R'_2}$$

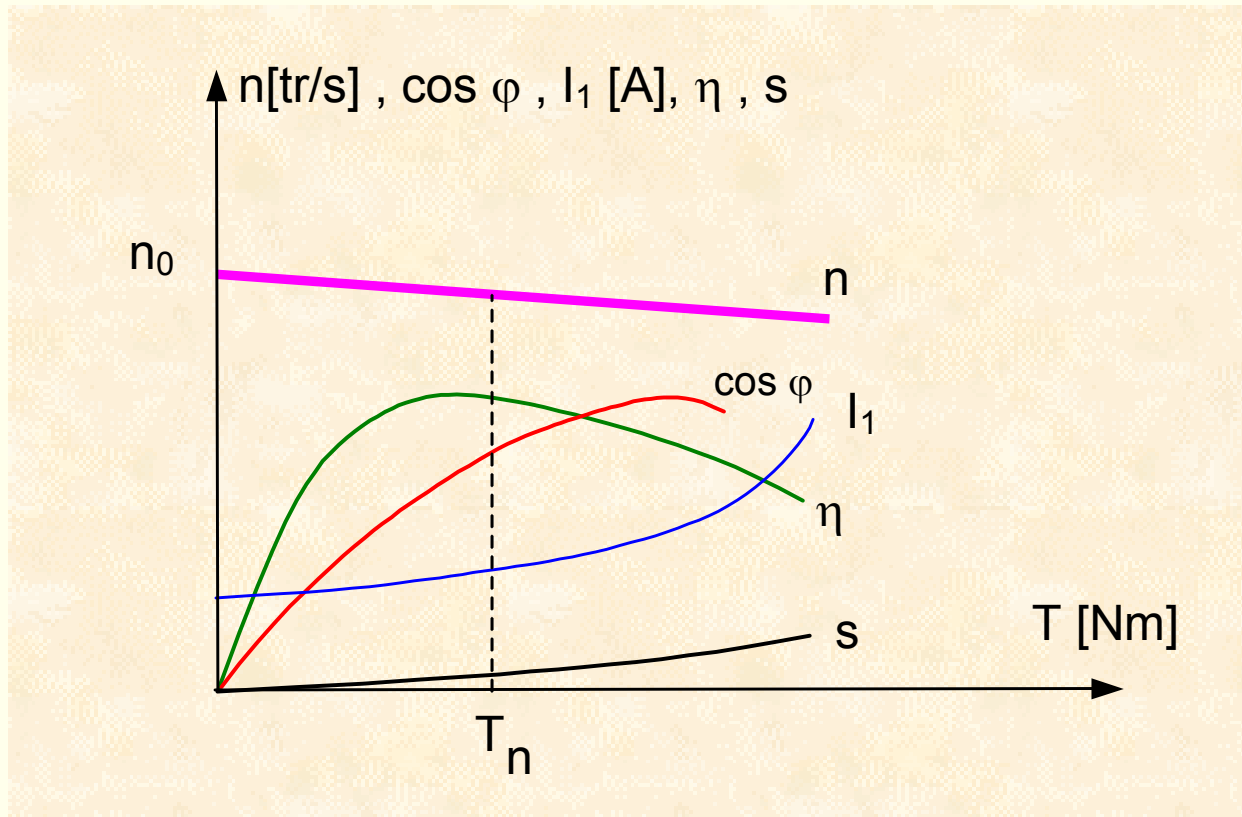
$$\underline{I}'_2 \sim \frac{s}{\sqrt{R_2'^2 + (s\omega_1\sigma L_2')^2}}$$

Formule van Kloss

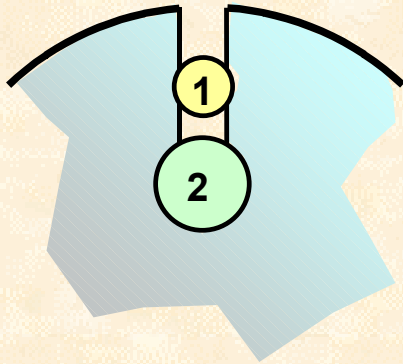
$$\frac{T}{T_k} = \frac{2}{\frac{s}{s_k} + \frac{s_k}{s}}$$

Belangrijkste karakteristieken

Belangrijkste karakteristieken van de inductiemotor



Dubbelkooirotor



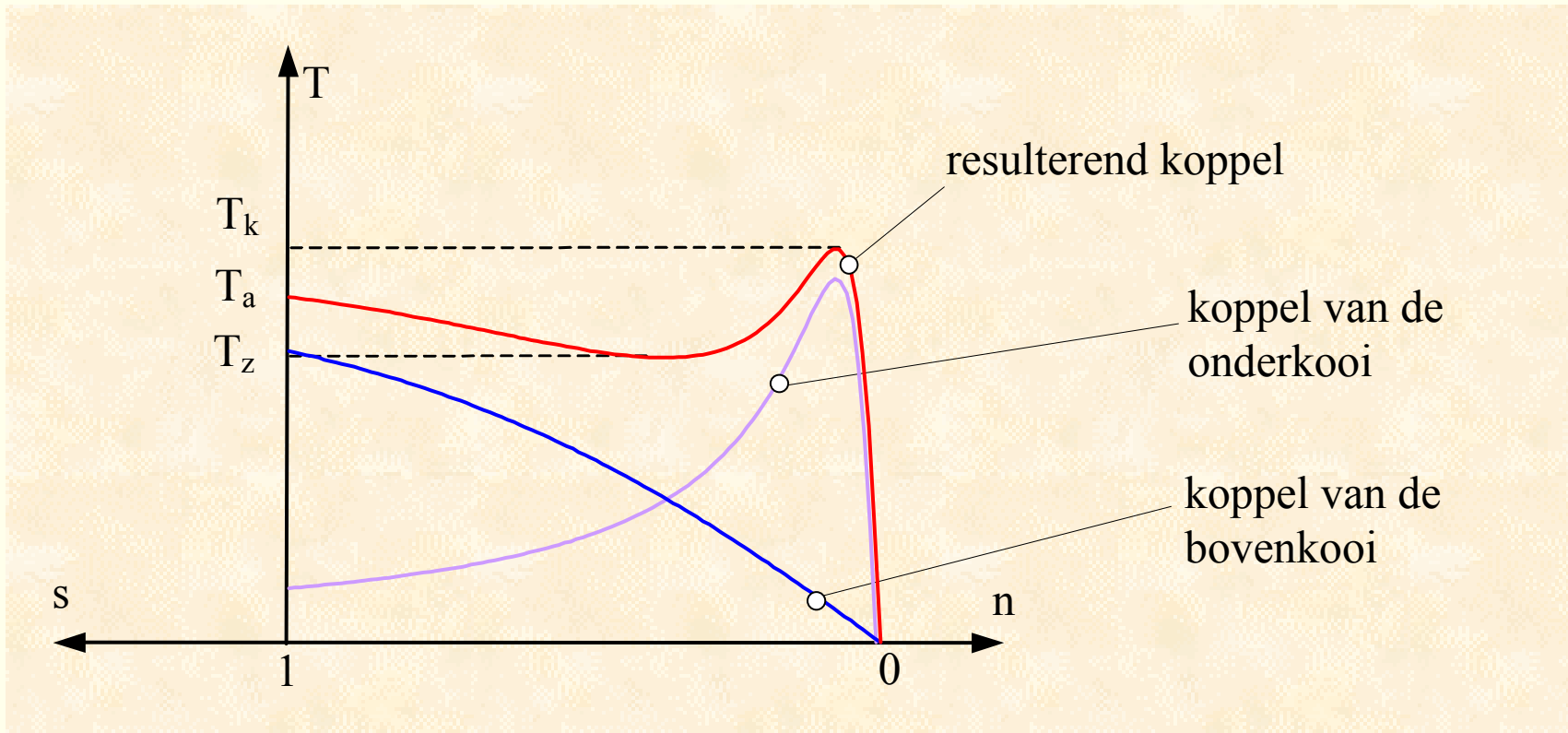
1 Buitenste kooi, bovenkooi of startkooi

2 Binnenste kooi, onderkooi of bedrijfskooi

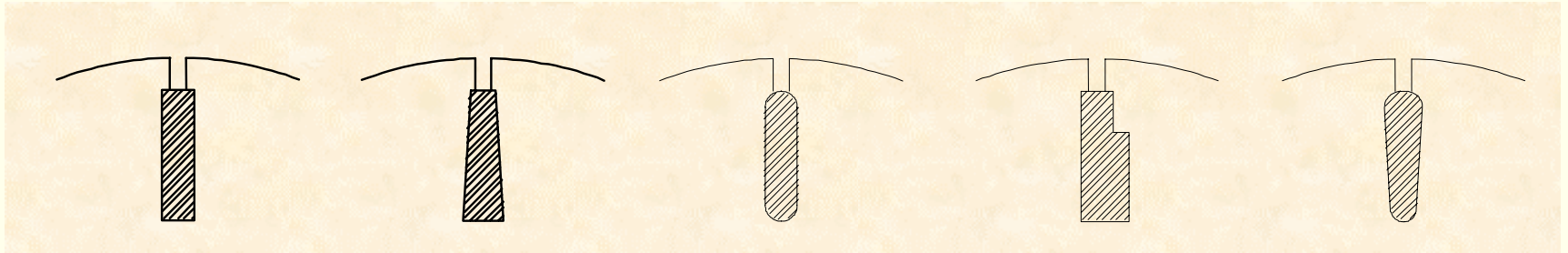
$$Z_{staaf} \underset{(s=1)}{=} R_{staaf} + j\omega_2 L_{\sigma staaf} \approx j\omega_2 L_{\sigma staaf}$$

$$Z_{staaf} \underset{(s \approx 0)}{=} R_{staaf} + j\omega_2 L_{\sigma staaf} \approx R_{staaf}$$

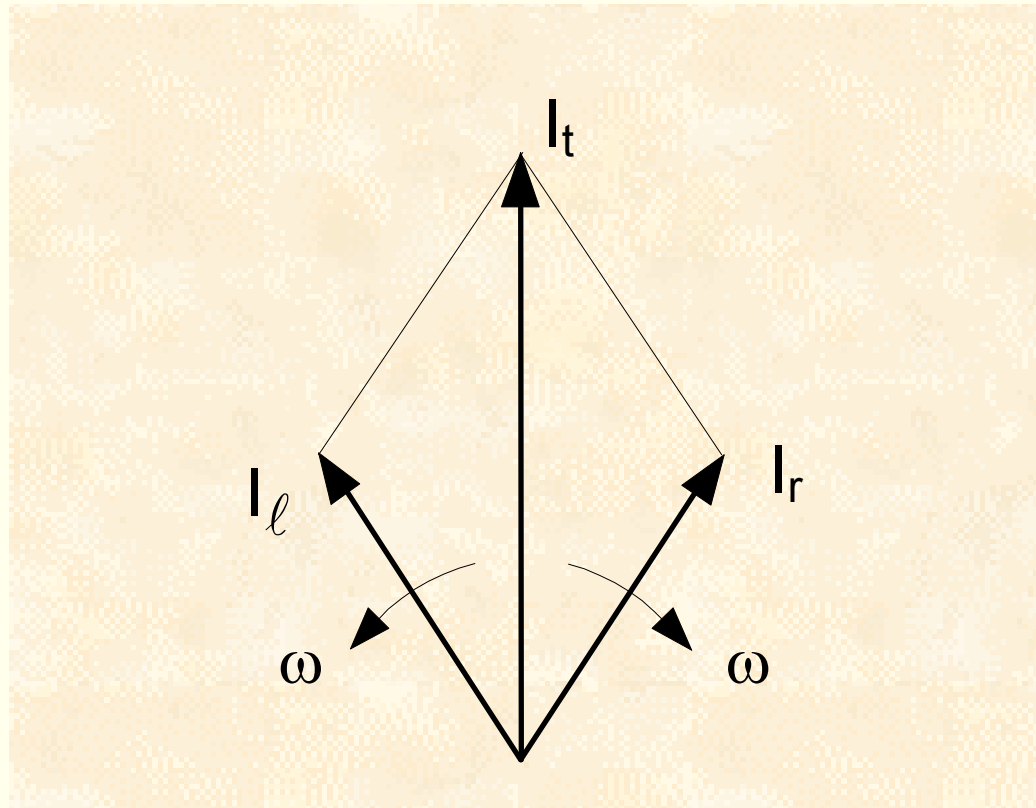
Koppel-toerentalkarakteristiek



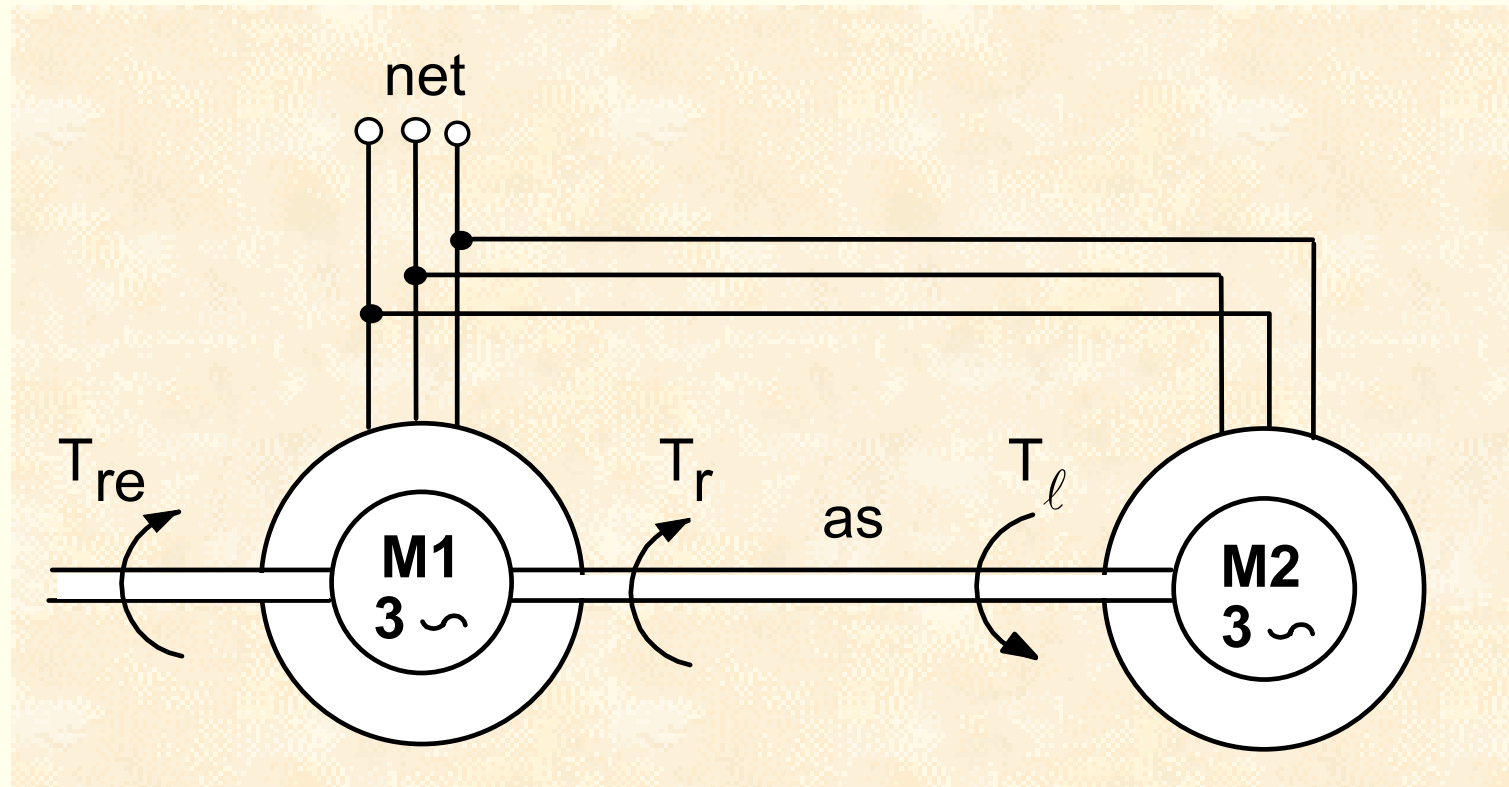
Stroomverdringingsrotor



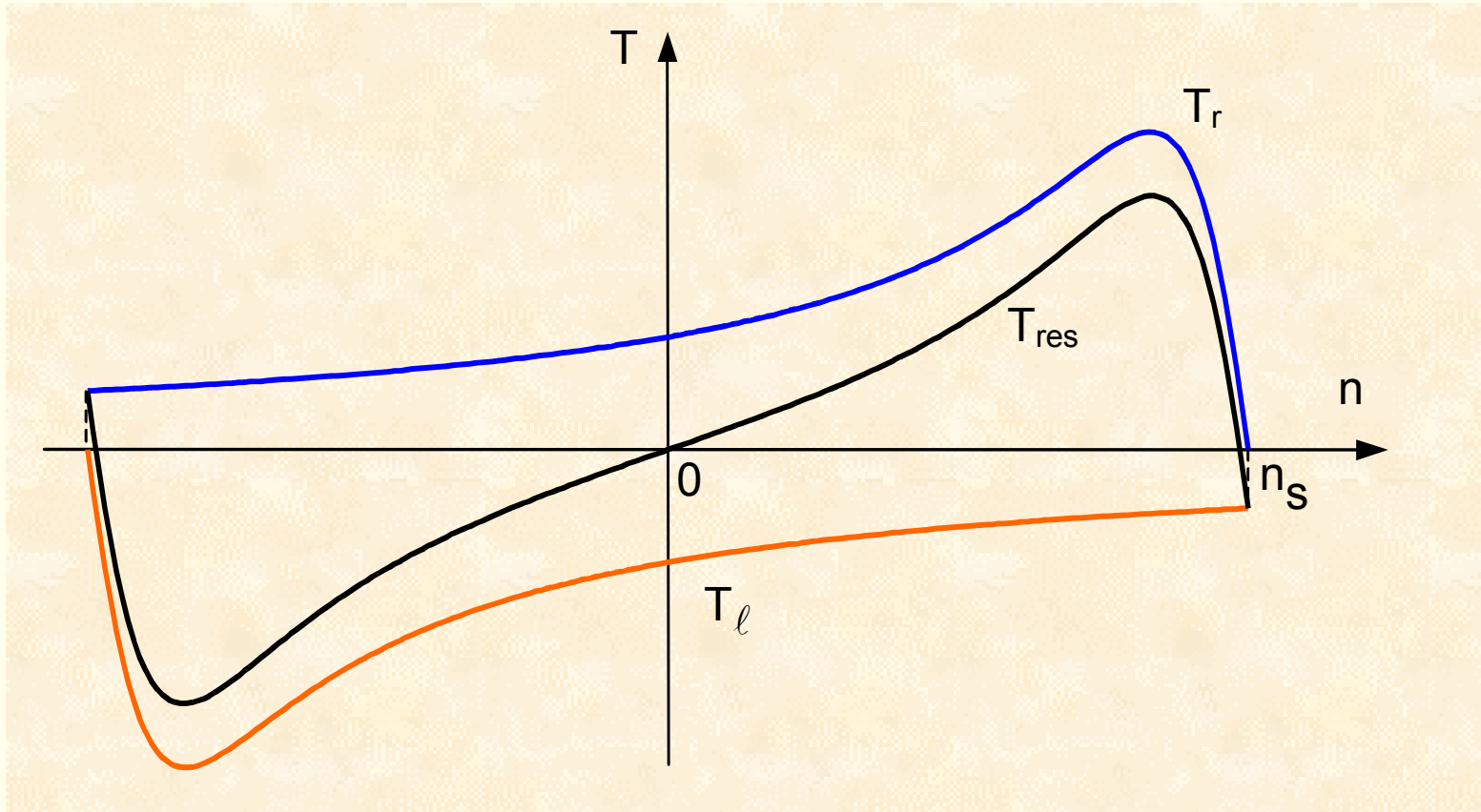
Eenfasige inductiemotor - Elliptisch draaiveld



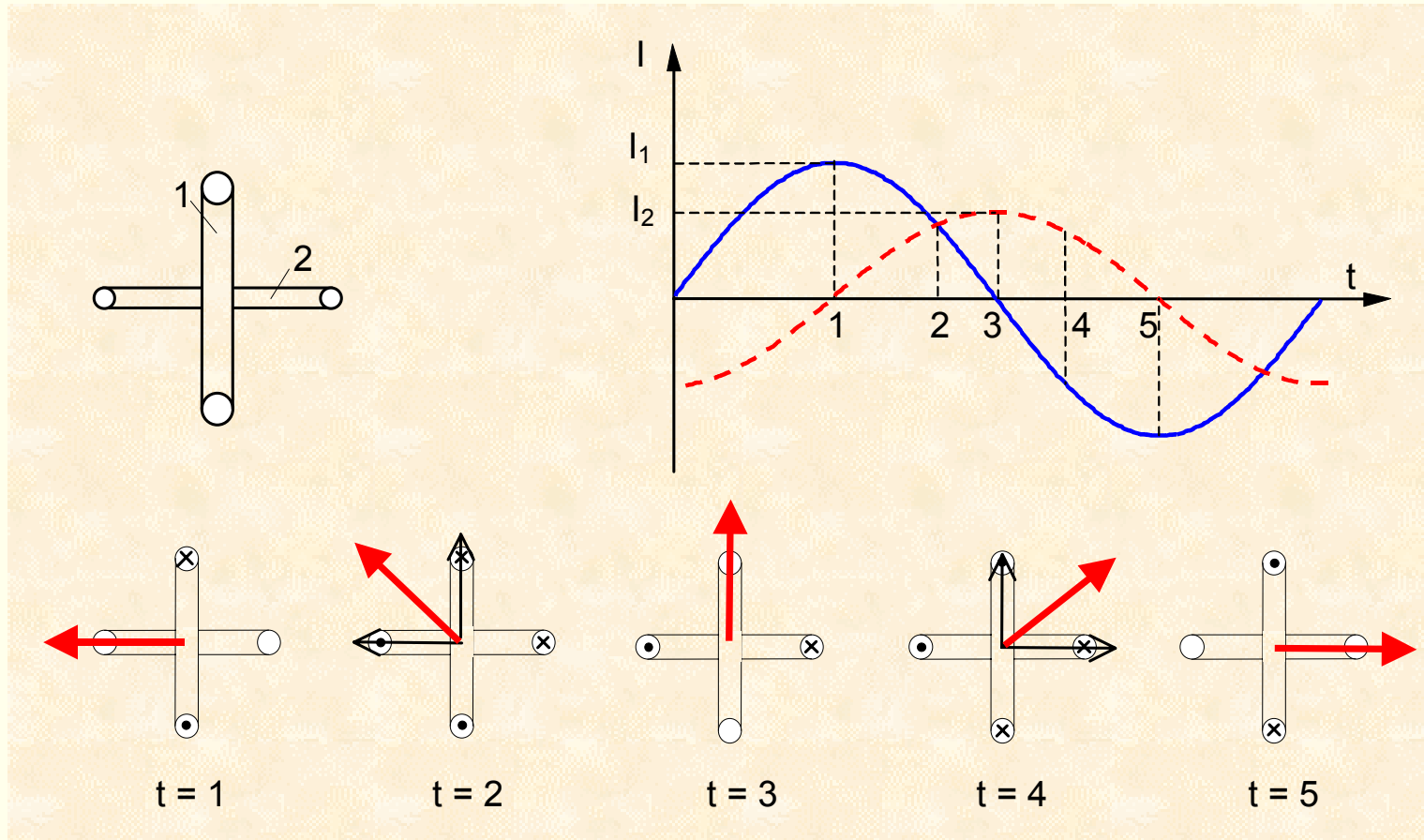
Gekoppelde driefasige machines als equivalent voor een eenfasige machine



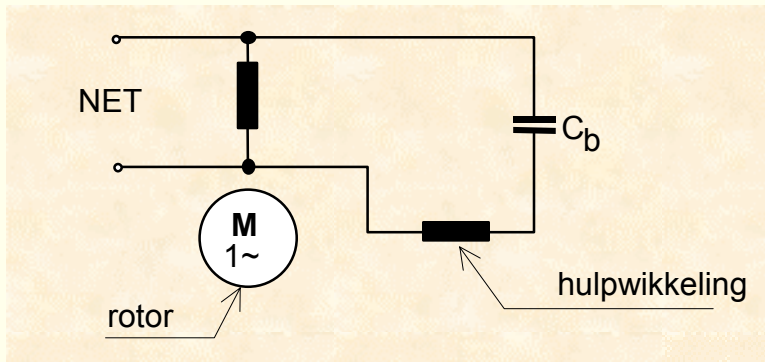
Koppel-toerentalkarakteristiek



Elliptisch draaiveld



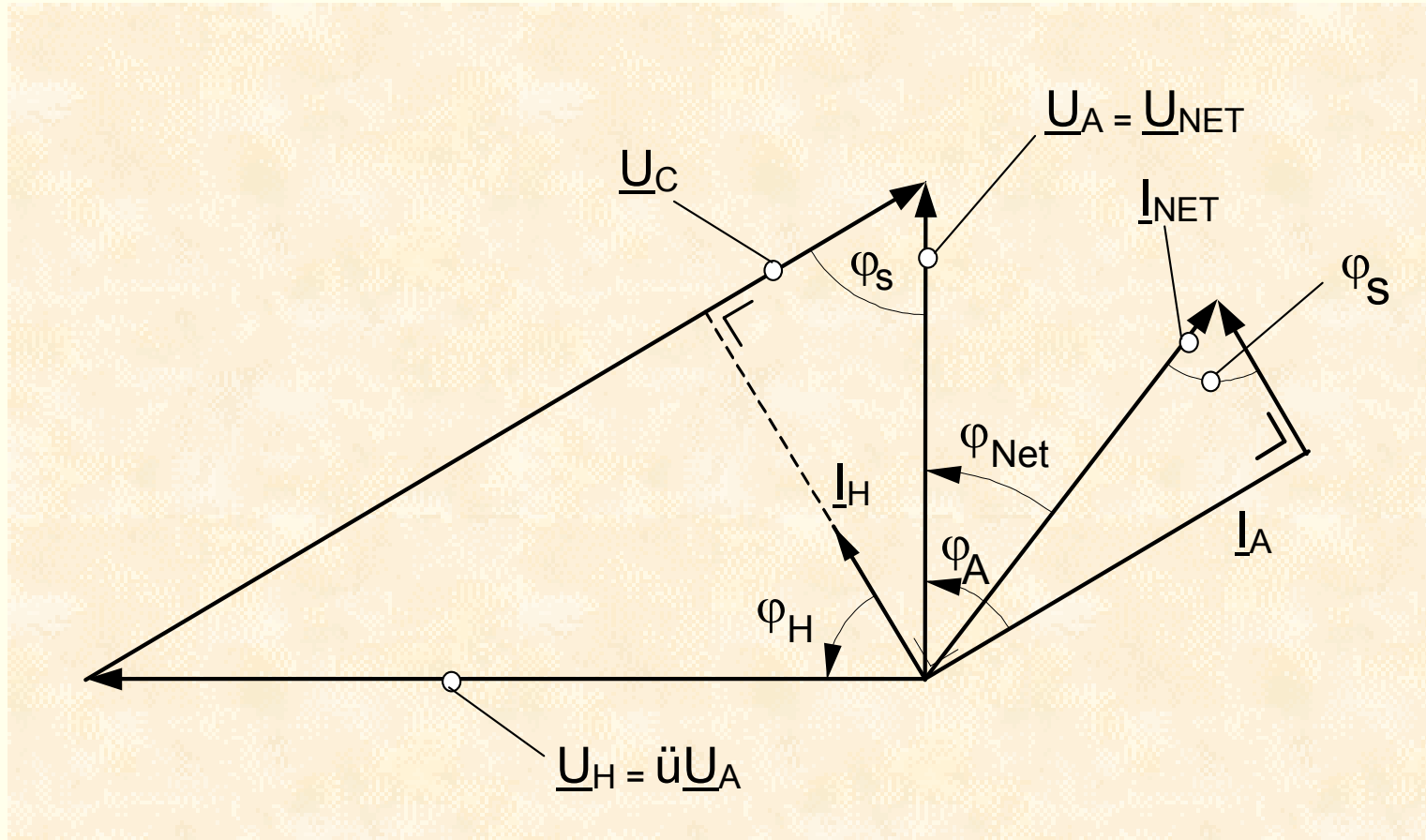
Condensator - Bedrijfscondensator

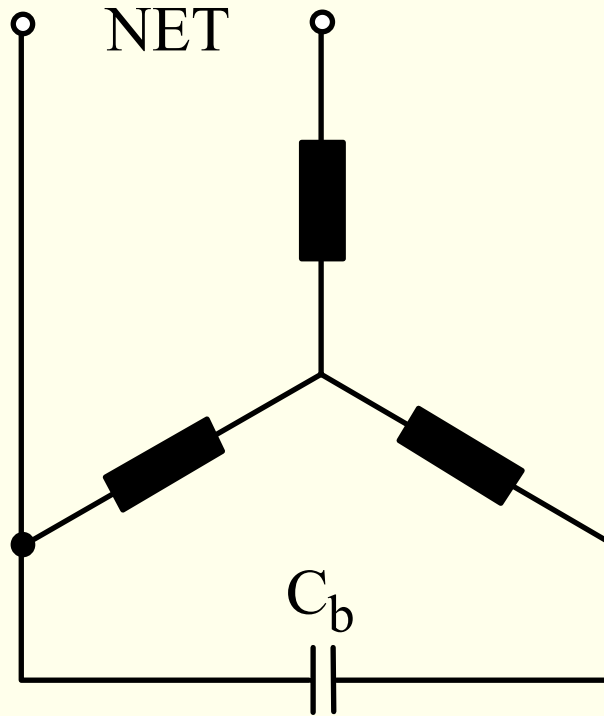


$$C_b = \frac{10^6}{2\pi f} \frac{P_2}{2U_N^2 u \eta} \quad [\mu\text{F}]$$

$$U_C = 1,2\sqrt{1+u^2} U_N$$

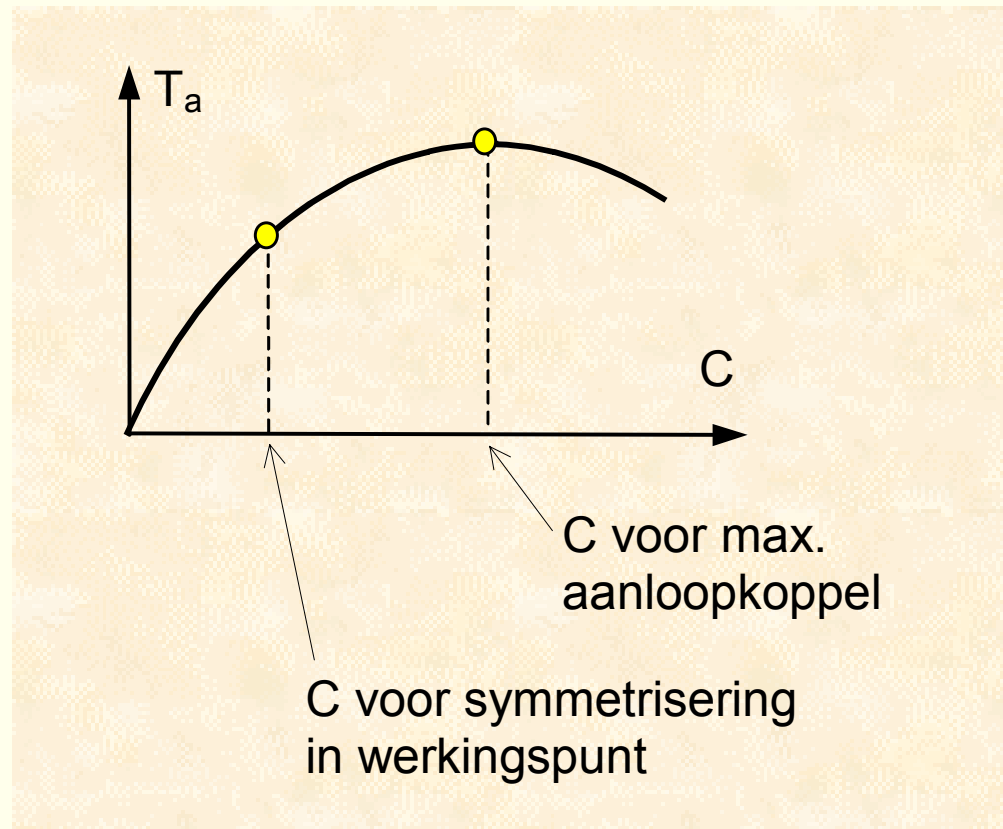
Fasordiagramm



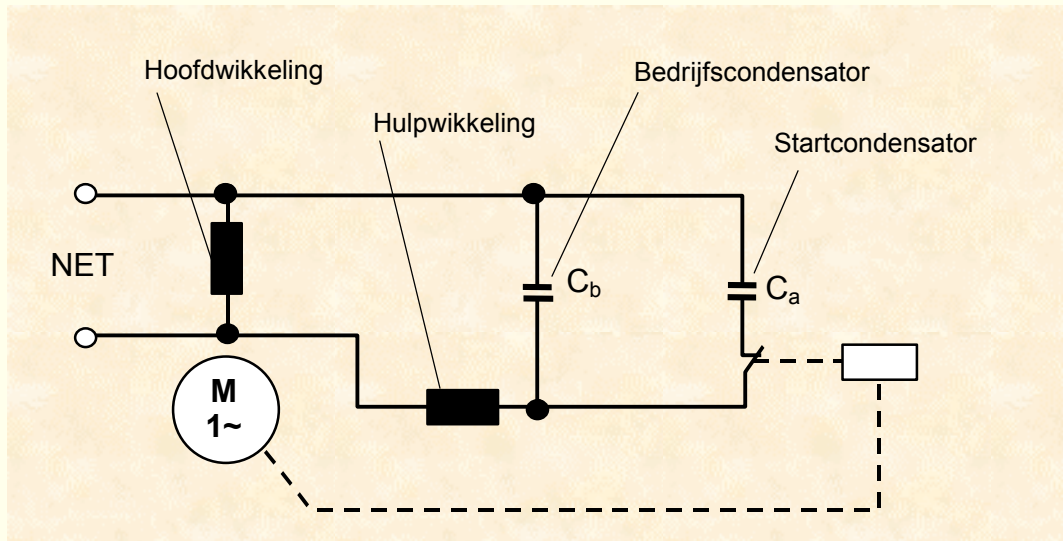


$$C_b = \frac{10^6}{2\pi f} \frac{P_2}{3.0,87 U_N^2 \eta} \quad [\mu\text{F}]$$

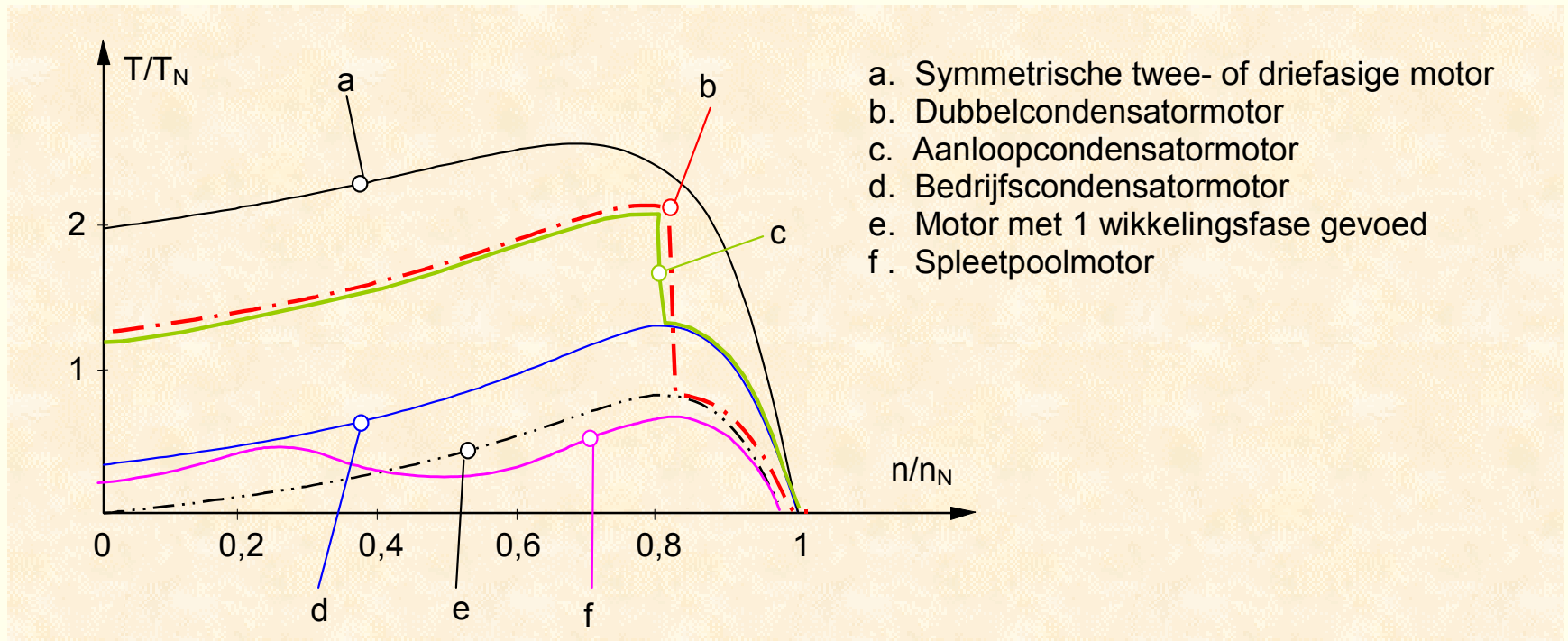
Condensatormotor: bedrijfs- en aanloopcondensator



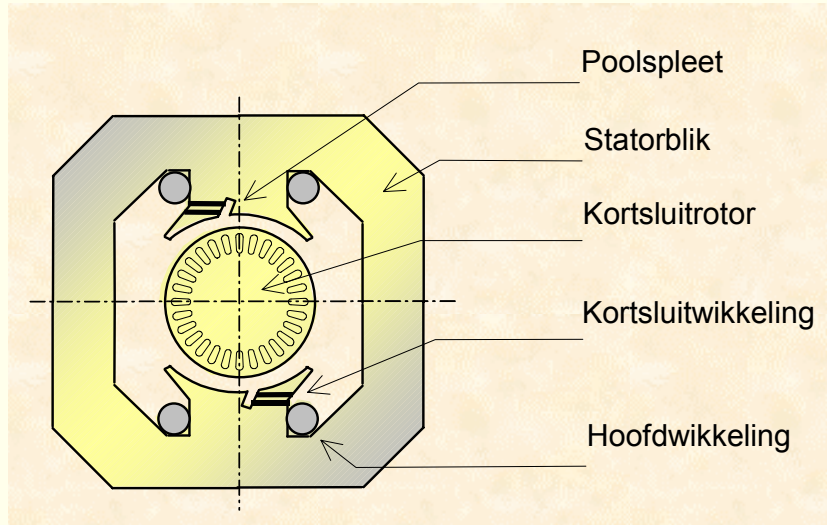
Eenfasige motor met bedrijfs- en aanloopcondensator



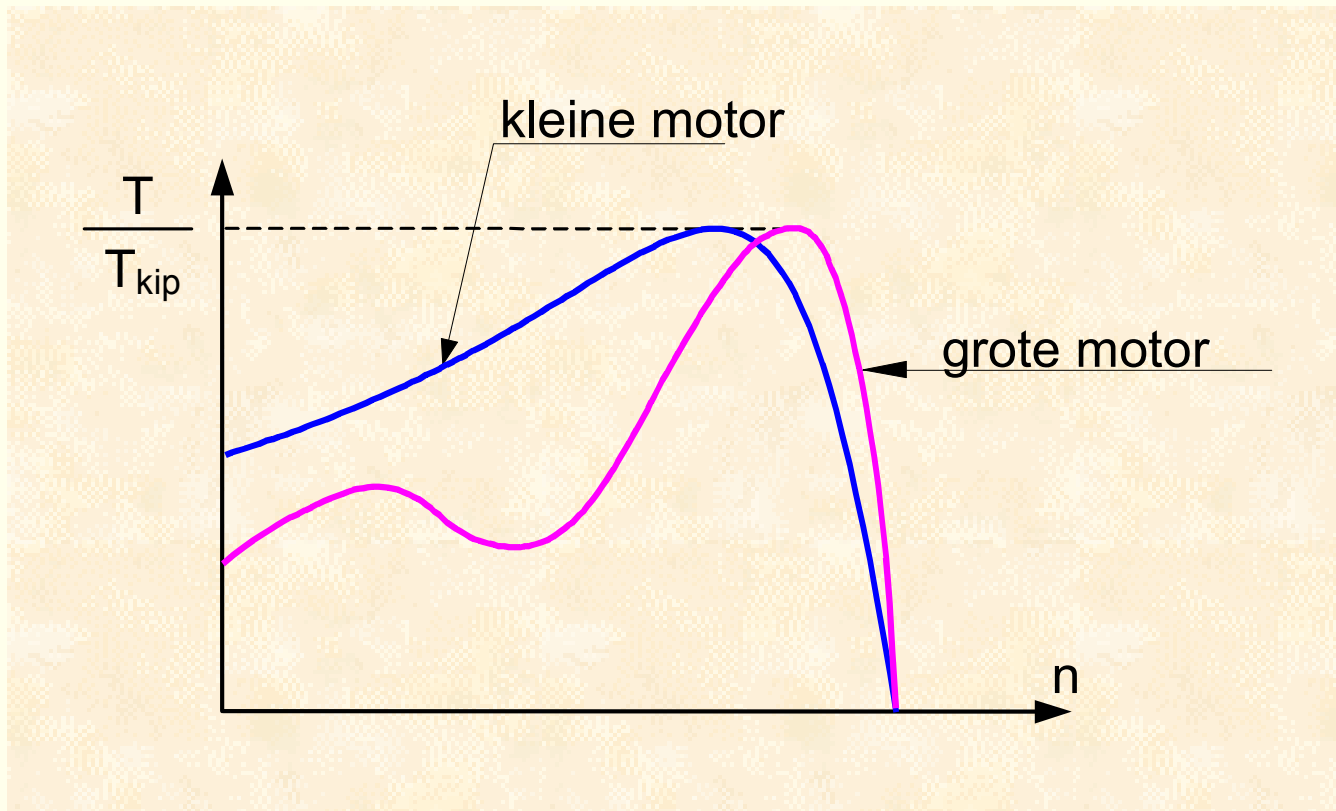
Koppel-toerentalkarakteristieken



Spleetpoolmotor



Koppel-toerentalkarakteristiek van de spleetpoolmotor



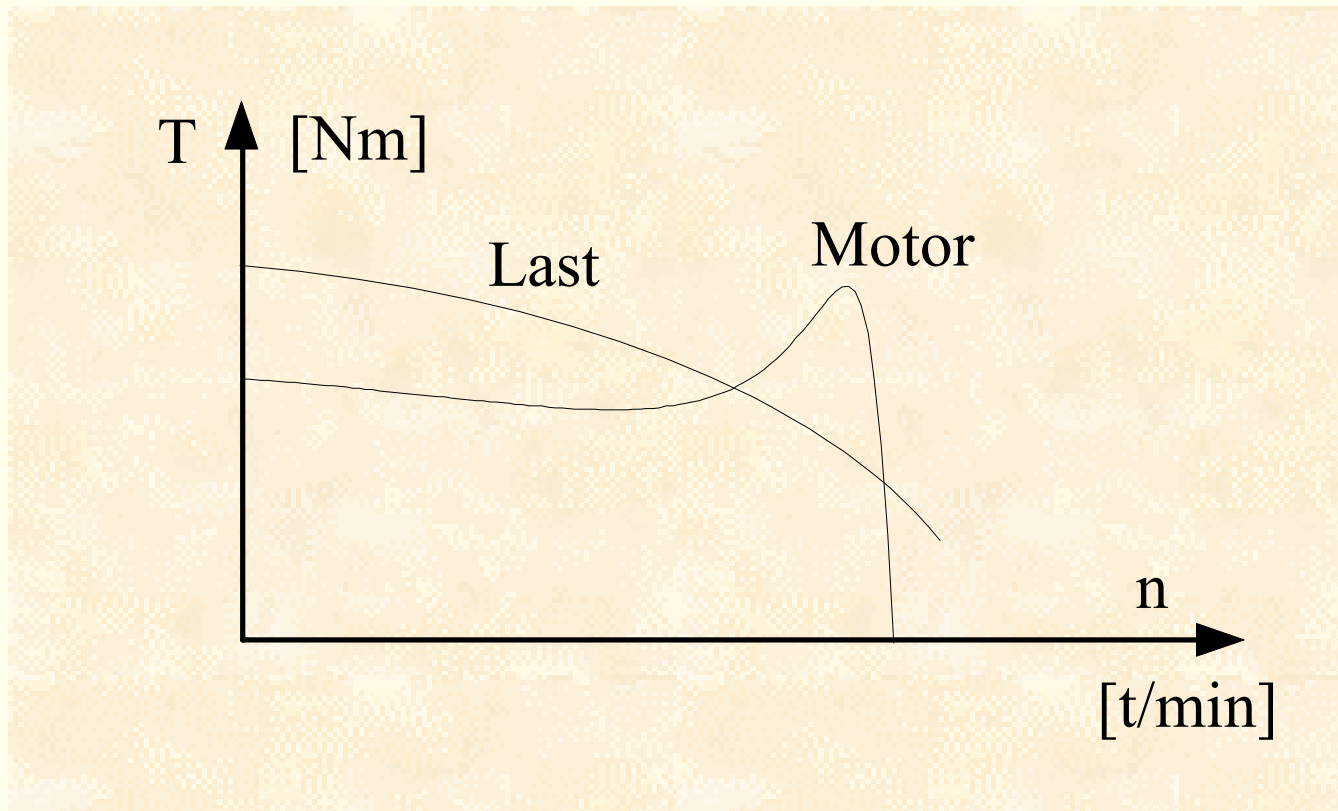
Gebruik van inductiemotoren

- Starten
- Remmen
- Toerentalregeling

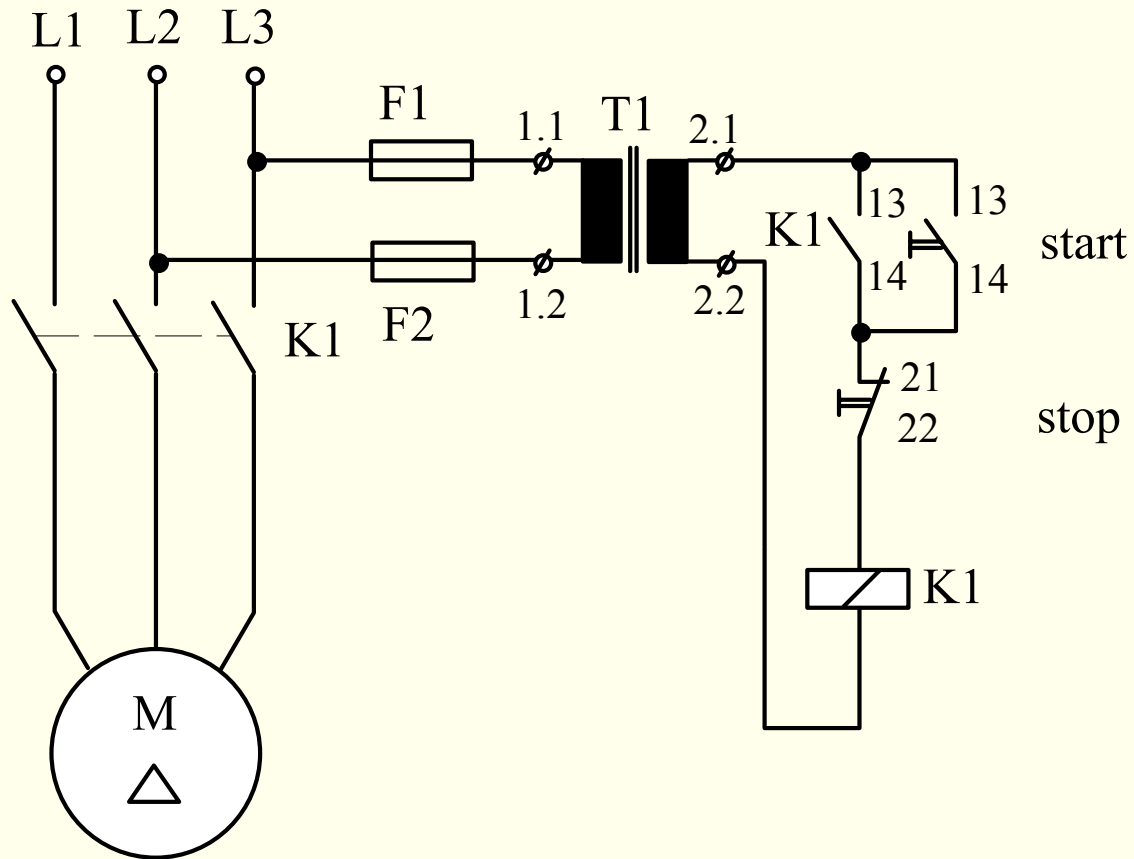
Starten

OPGENOMEN MOTORVERMOGEN (kVA)	k
tot 6 kVA: maar met een max. toegelaten nominale stroom van 23,7 A voor motoren gevoed met 230 V	6
van 3 t/m 4 kVA	3
van 4 t/m 10 kVA	2
boven 10 kVA	1,5

Aandrijfaggregaat met te hoog aanloopkoppel



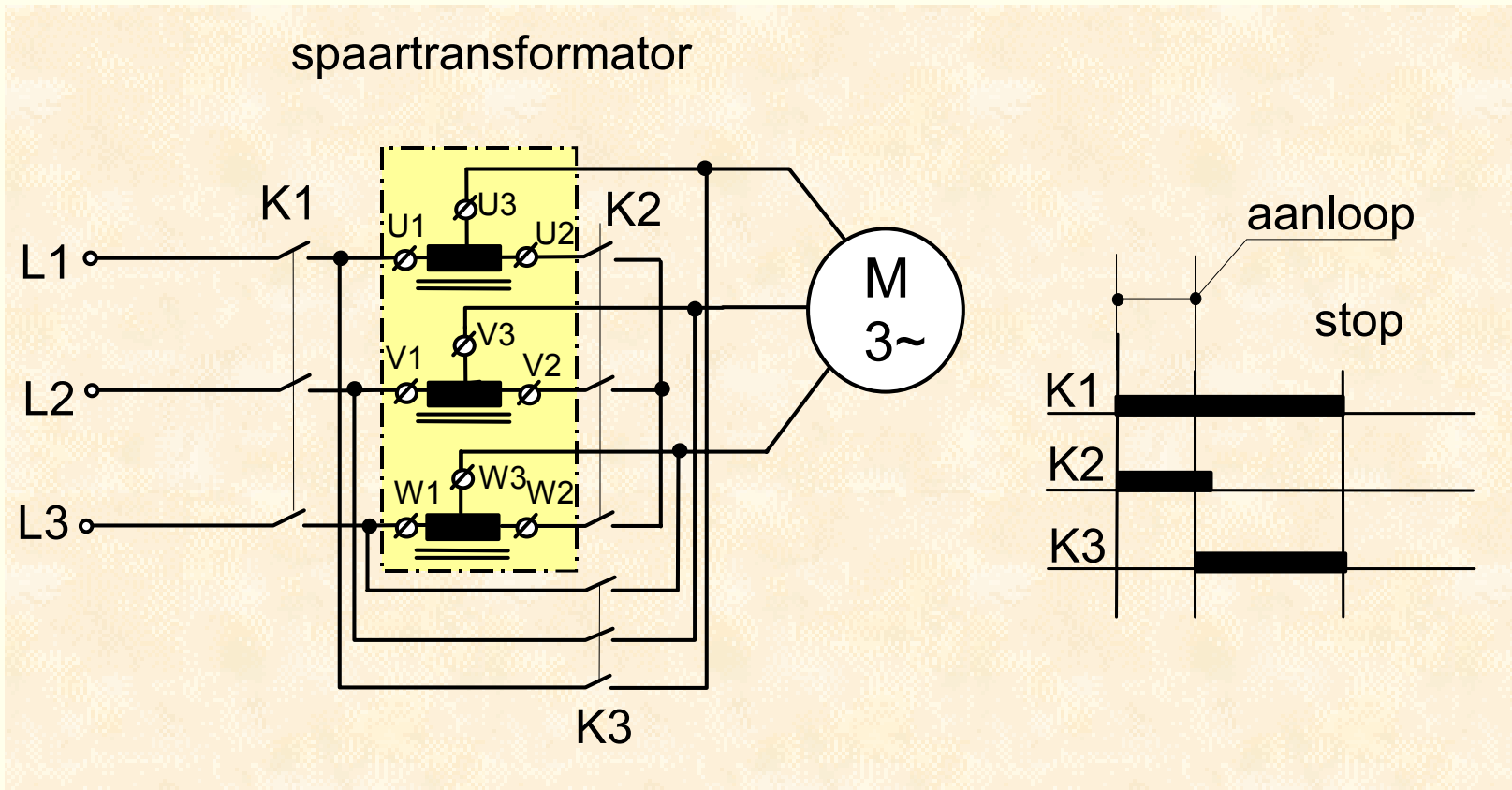
Directe aanloop



Verminderde spanning

- Spaartransformator
- Serie-impedanties
- Ster-driehoek aanloop
- Softstarter

Spaartransformator



$$U_m = k_t U_N \quad \text{met} \quad k_t < 1$$

$$I_m = \frac{U_m}{\sqrt{3} Z_m} = \frac{U_N k_t}{\sqrt{3} Z_m}.$$

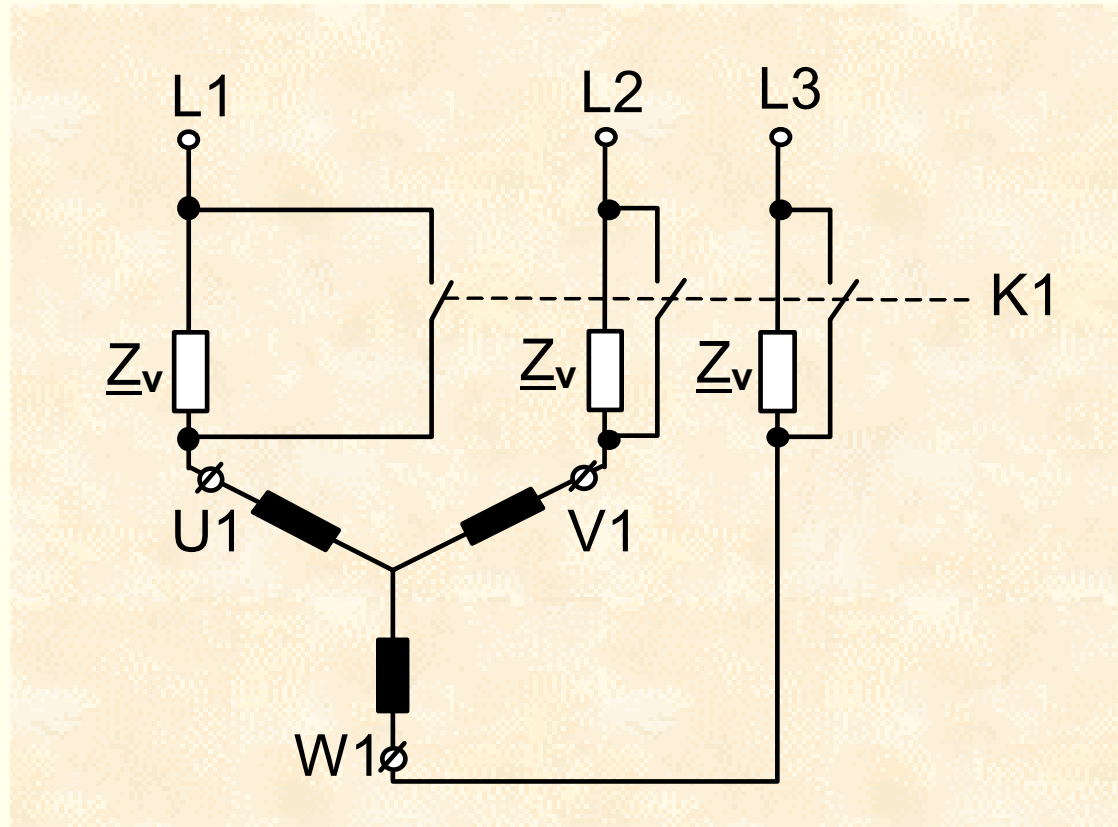
$$I_N = k_t I_m = k_t^2 I_{N1}$$

Voorschakelimpedanties

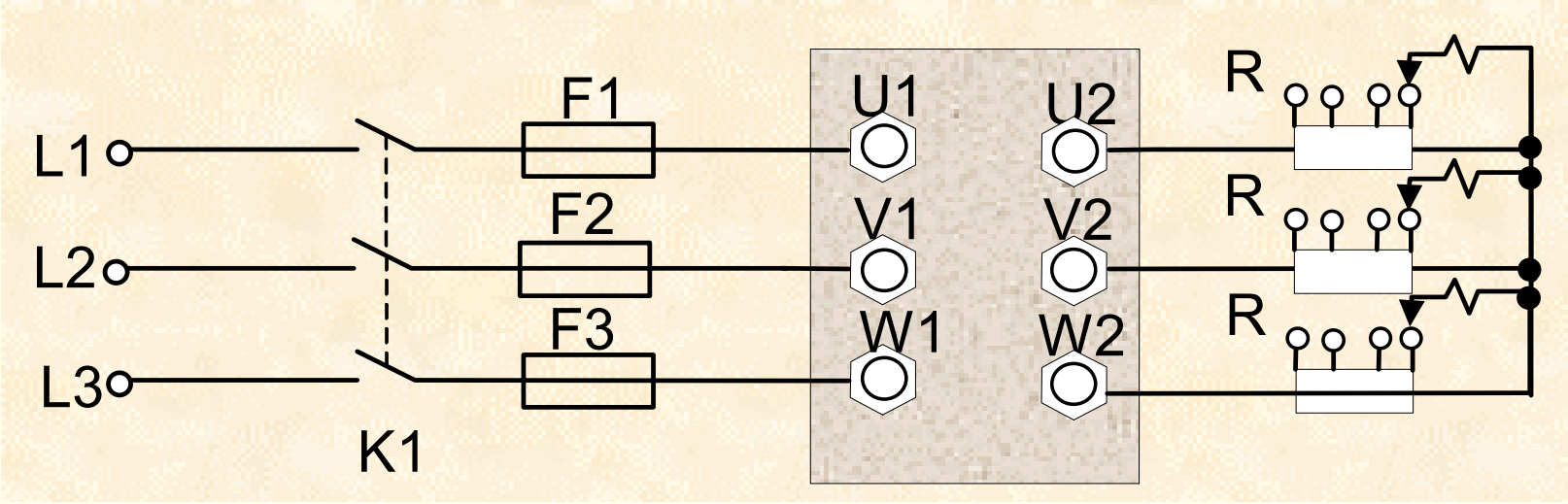
$$k_Z = \frac{U_m}{U_N} = \left| \frac{\underline{Z}_m}{\underline{Z}_m + \underline{Z}_V} \right| < 1$$

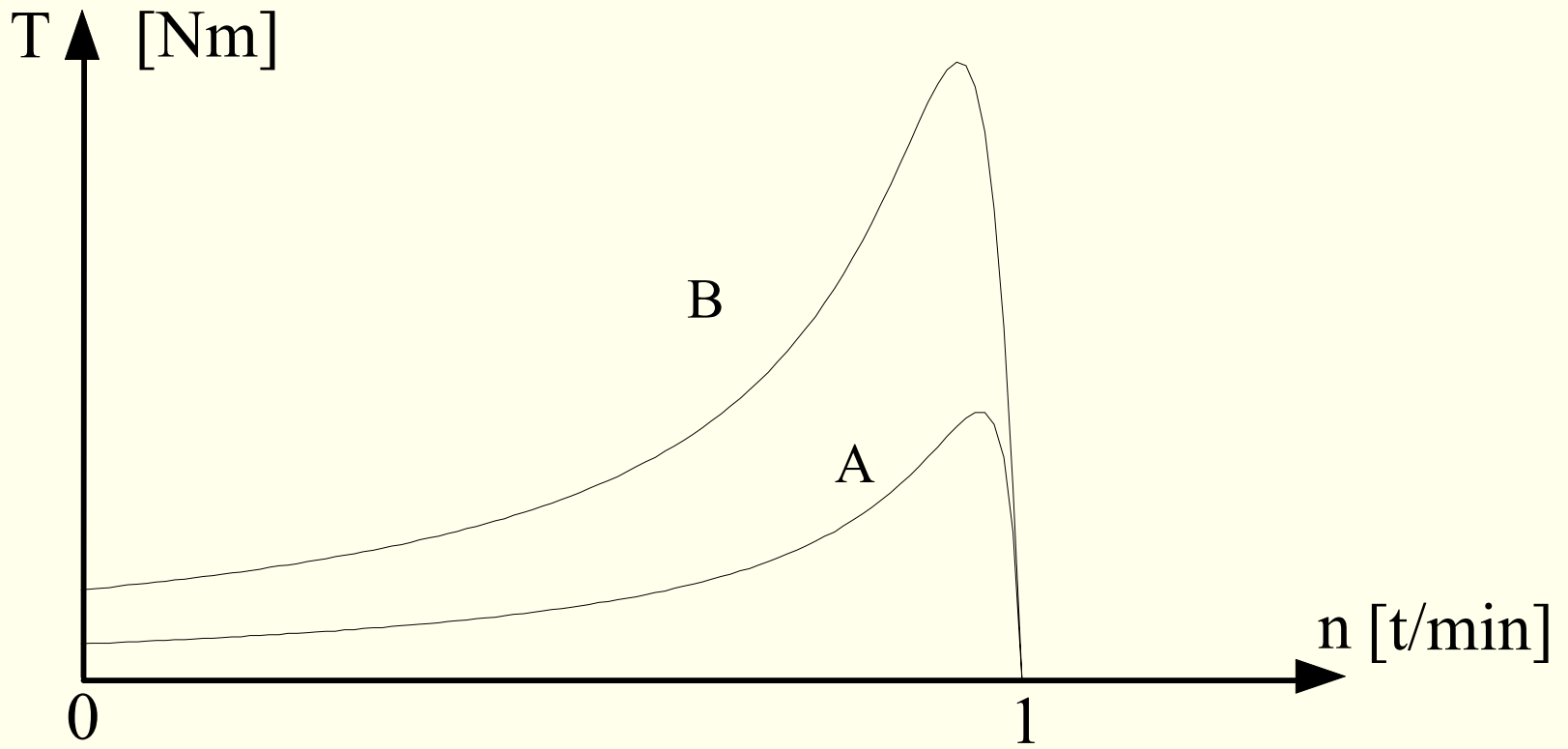
$$I_N = I_m = k_Z I_{N1}$$

Aanloop met statorvoorschakelimpedantie

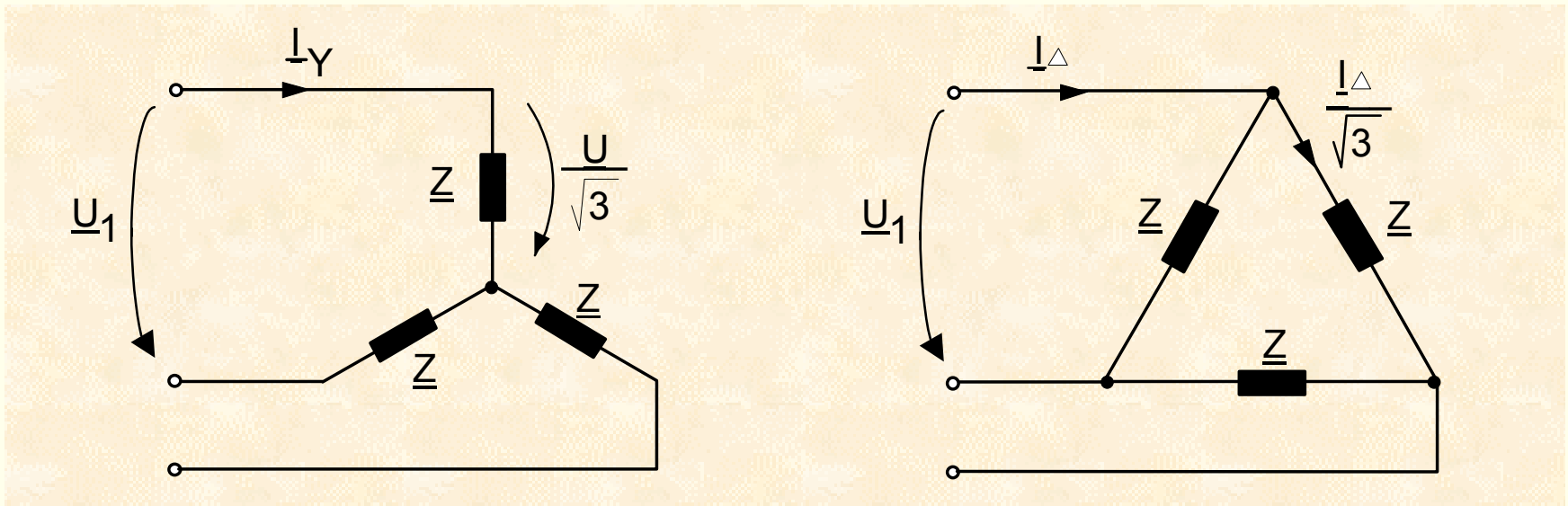


Statorvoorschakelweerstand langs het sterpunt

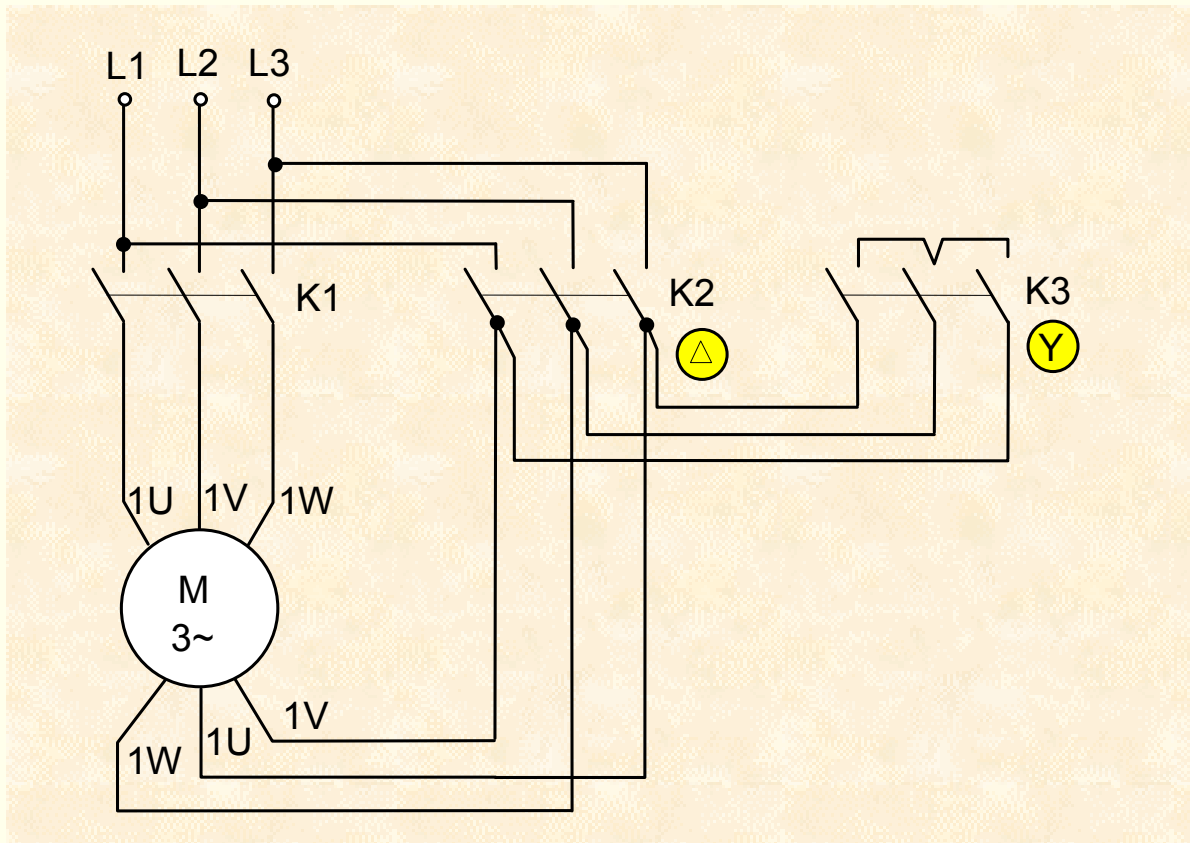


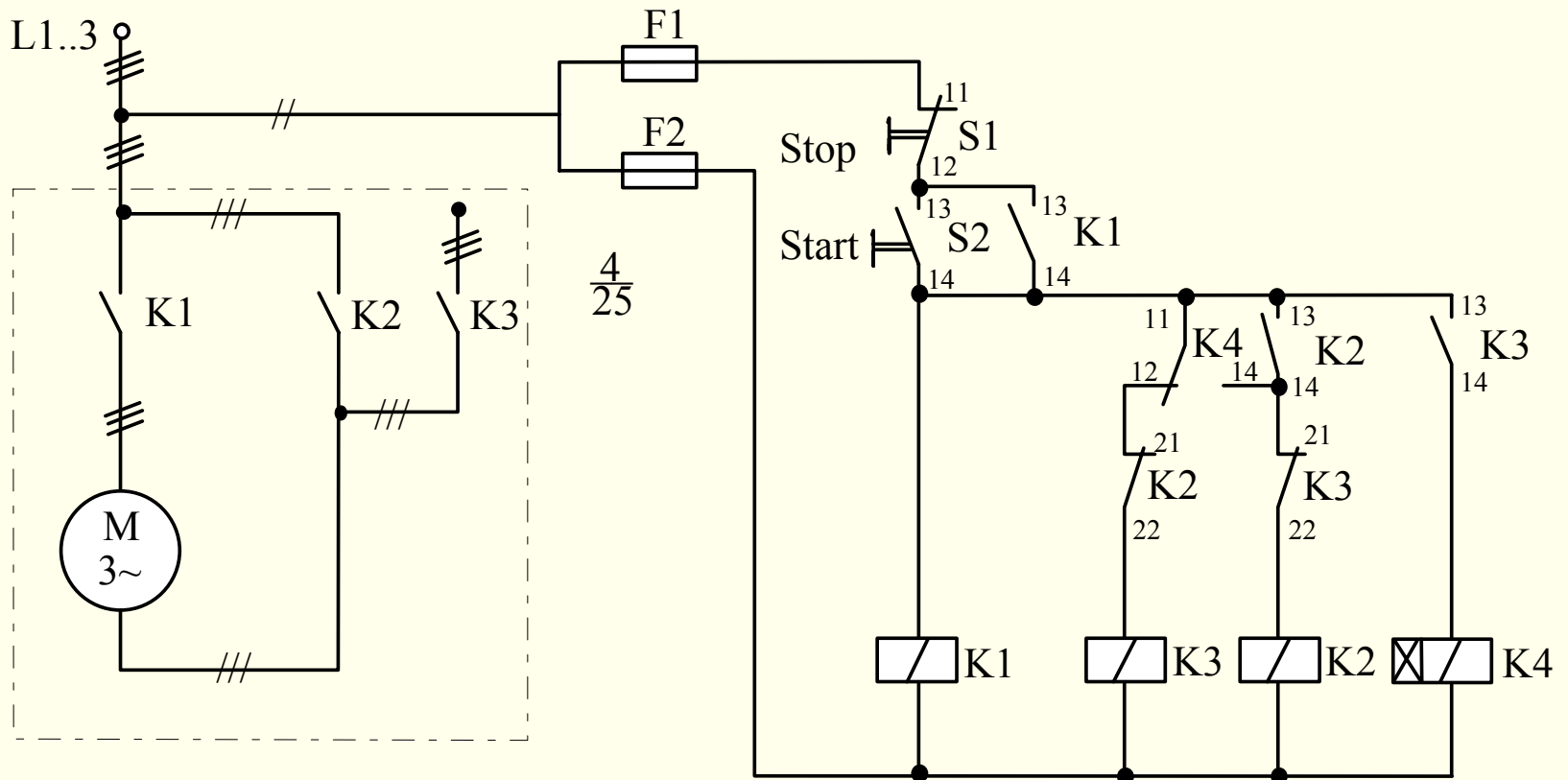


Ster-driehoekaanloop

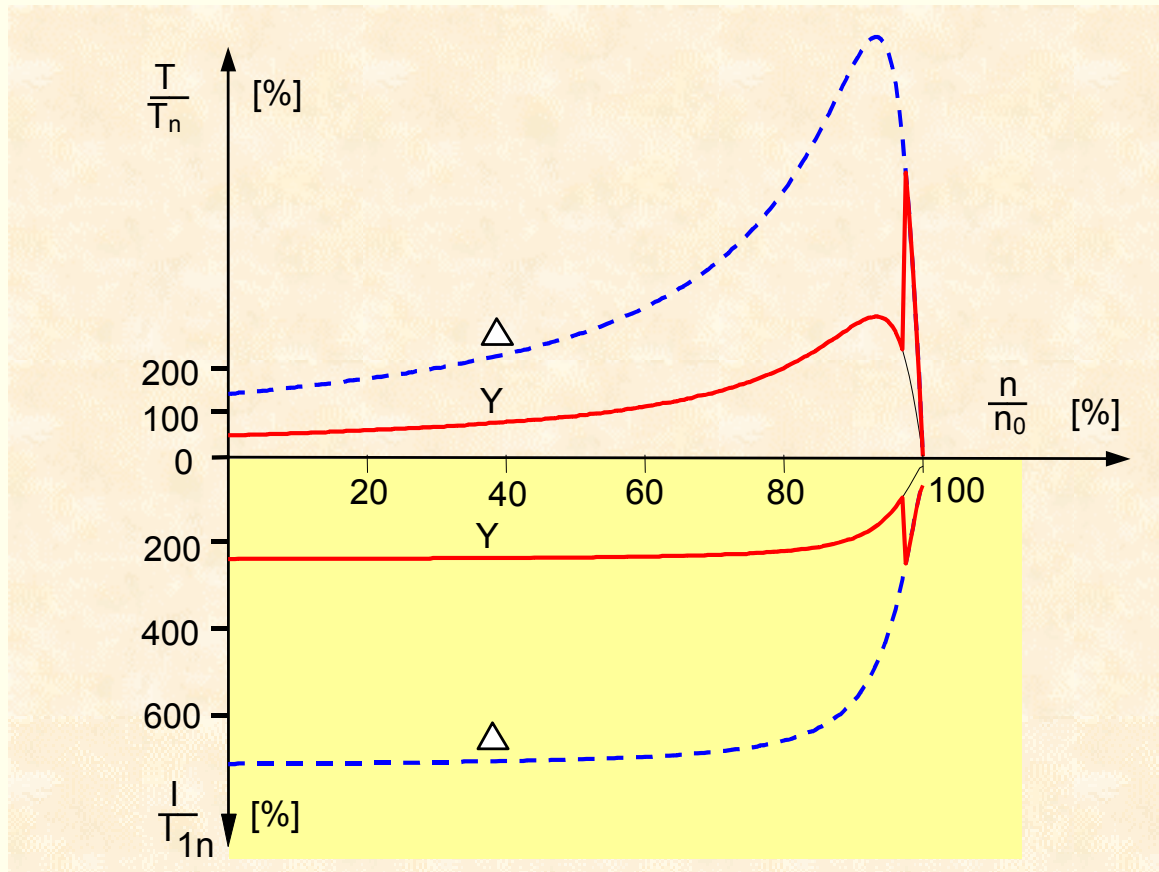


Schakelschema voor de Y- Δ aanloop

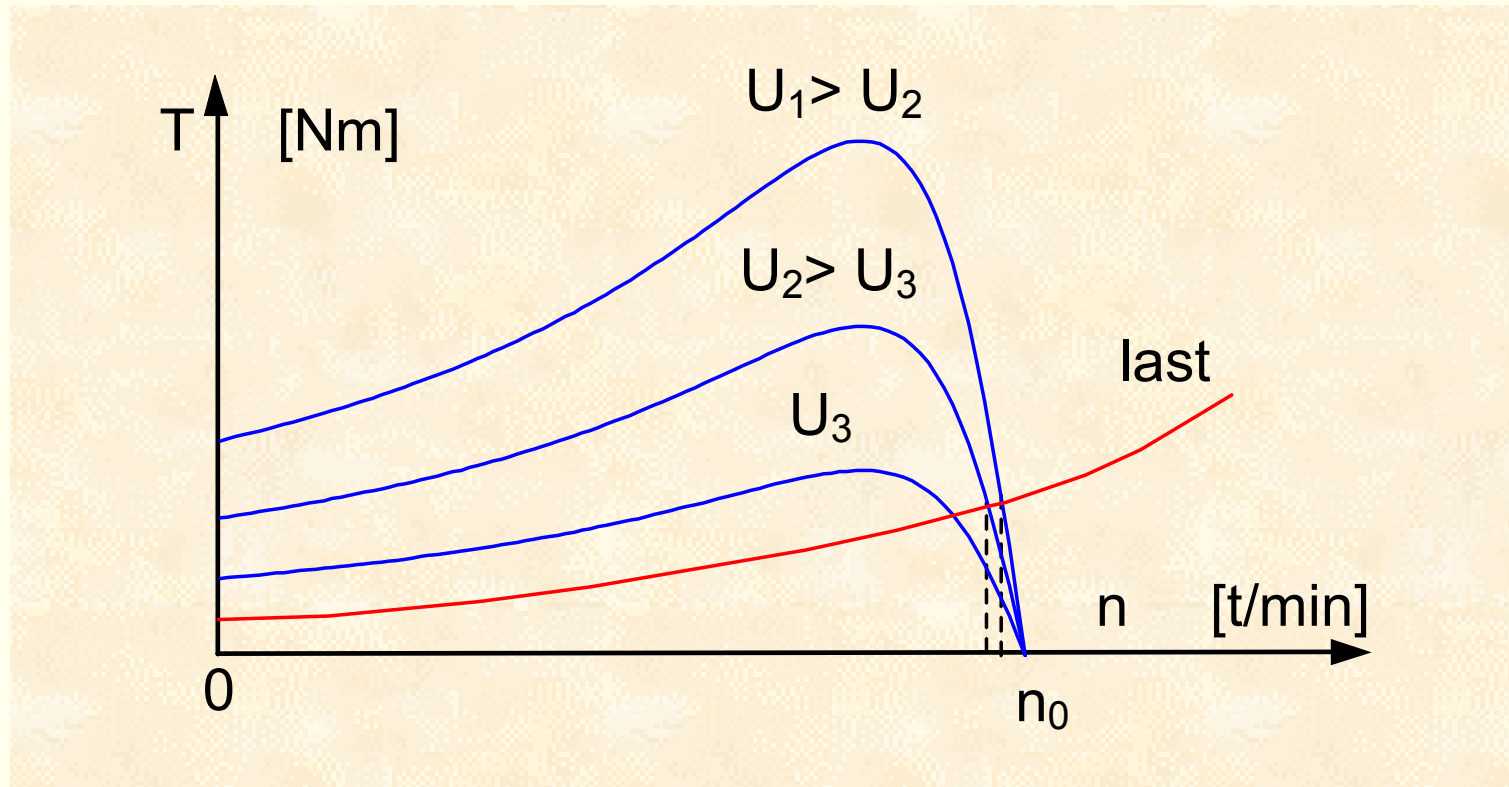




Stationaire koppel-toerental en stroom-toerental karakteristiek bij Y - Δ aanloop



Softstarter

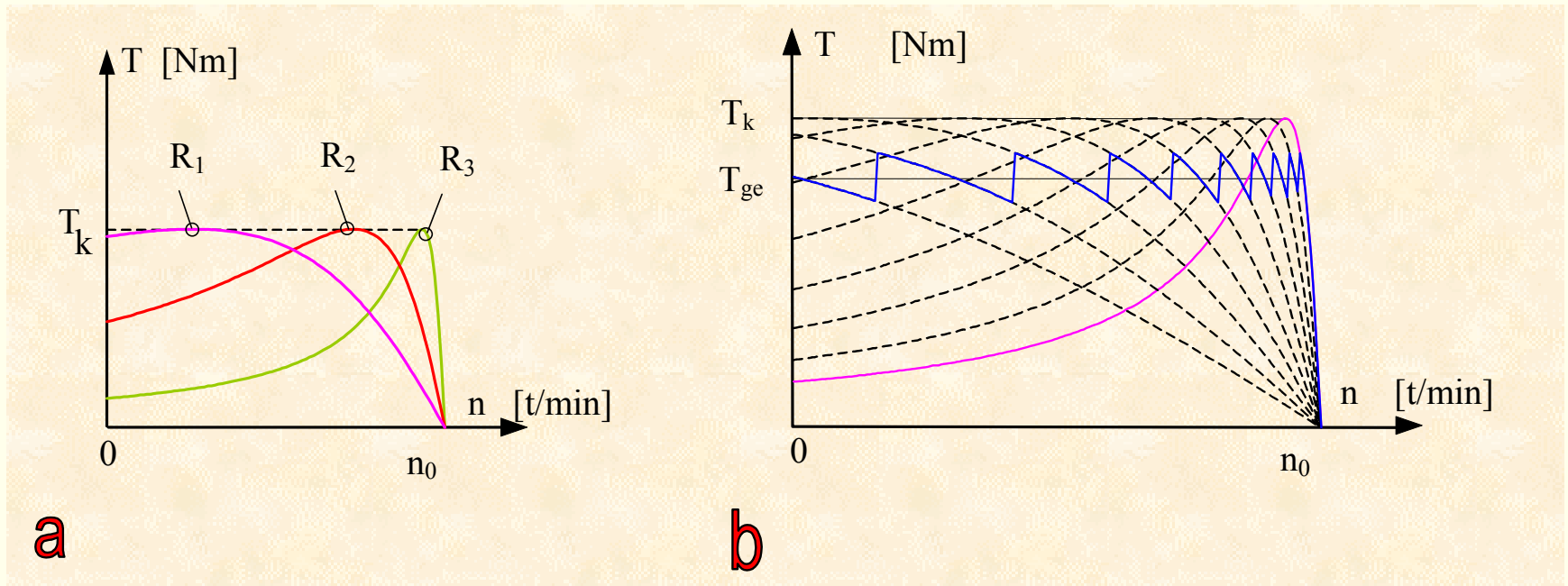


Rotorweerstand

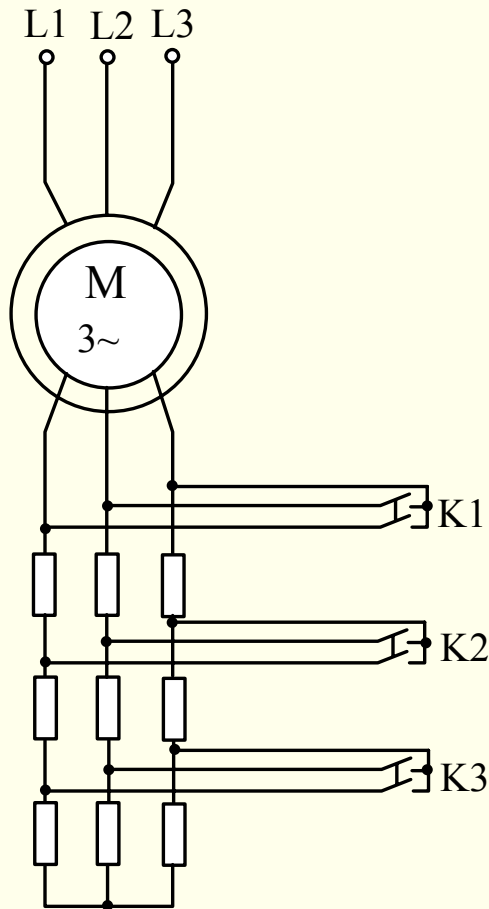
$$T_{kip} = \frac{3p}{2\omega_1} \frac{X_1 I_m^2}{X_{\sigma 1} + X'_{\sigma 2}}$$

$$s_{kip} = \frac{\beta}{\sigma} \cong \frac{R'_2}{X_{\sigma 1} + X'_{\sigma 2}}$$

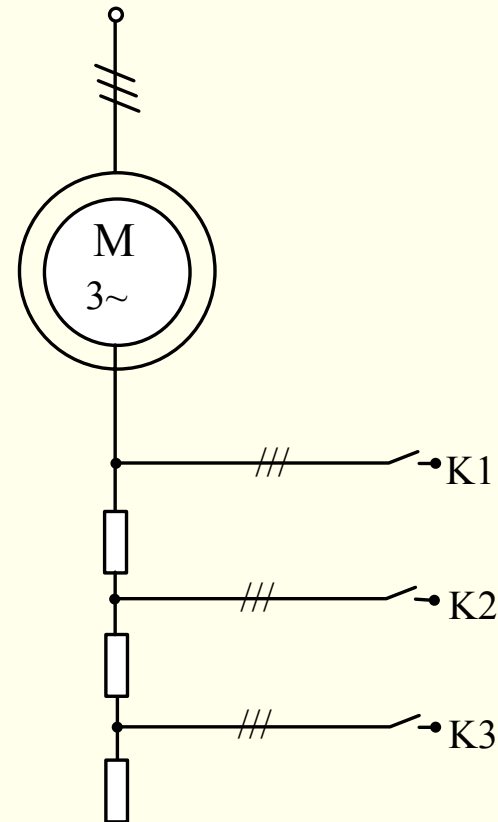
Koppel-toerentalkarakteristiek met rotor voorschakelweerstand



Praktische uitvoering

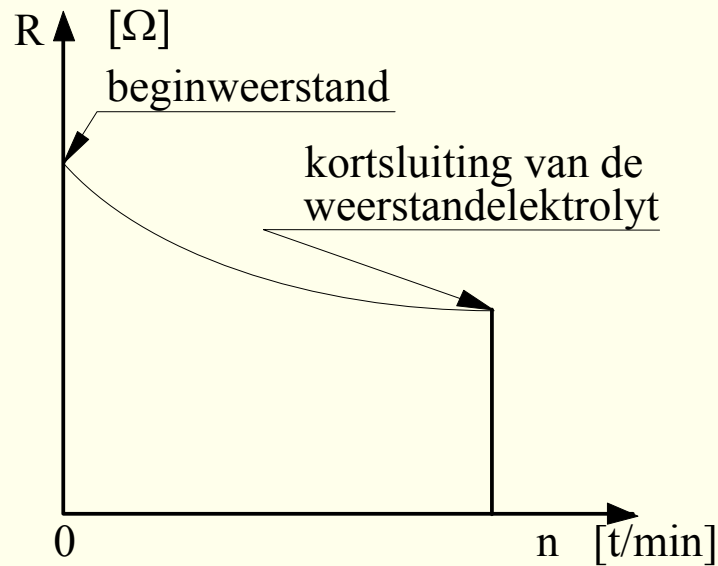


Schakelschema

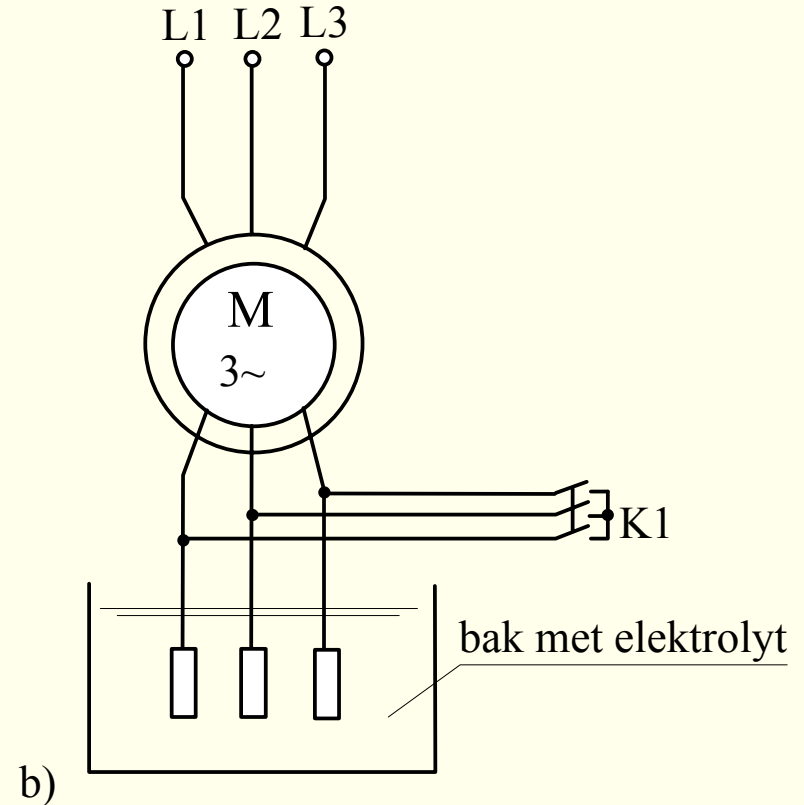


Eendraadsschema

Vloeistofweerstand

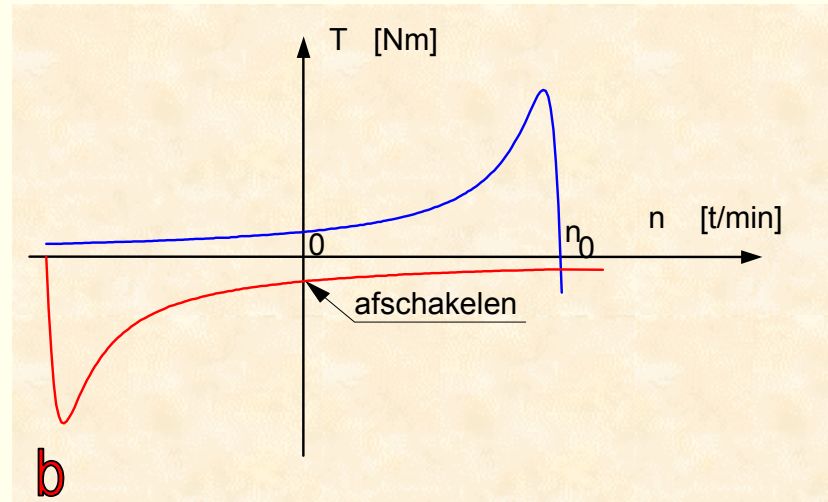
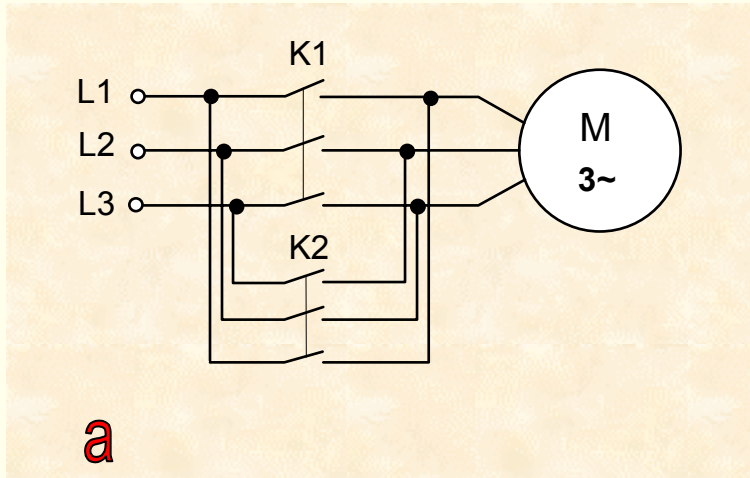


a)



b)

Tegenstroomremming



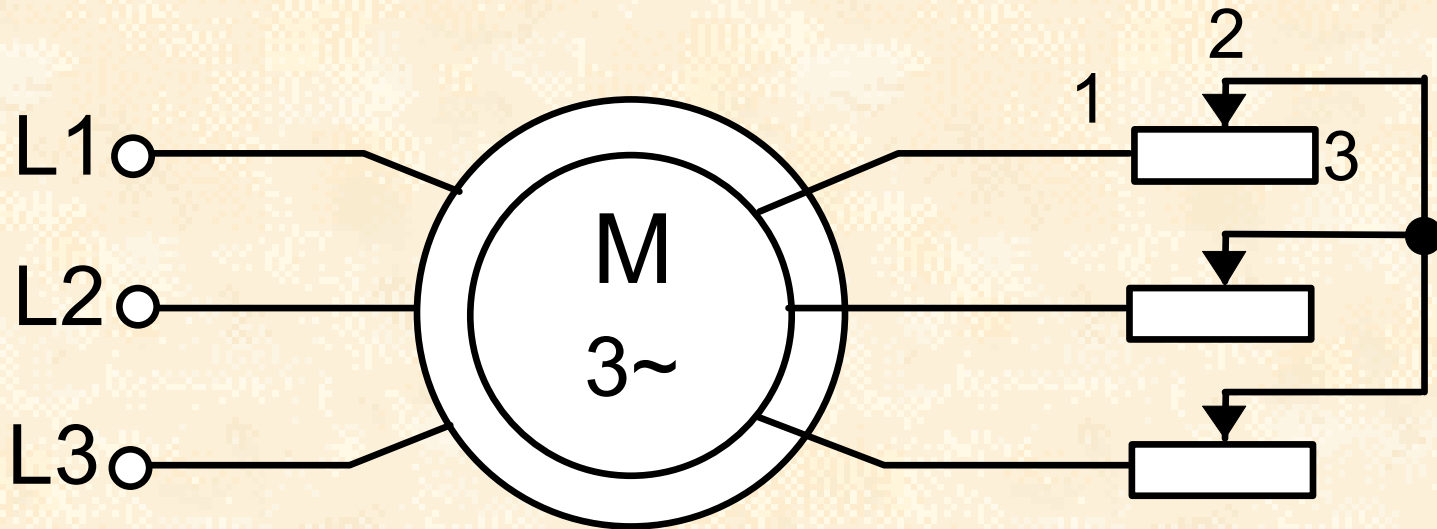
Oversynchrone remming

Toerentalregeling

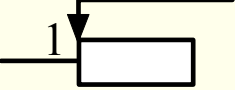
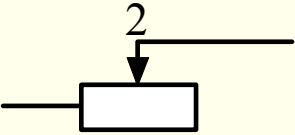
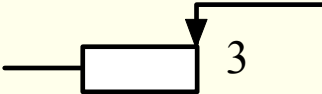
$$\omega_m = \omega_0 (1 - s) = \frac{2\pi f_1}{p} (1 - s)$$

- poolpaartal
- slip
- frequentie
- mechanisch

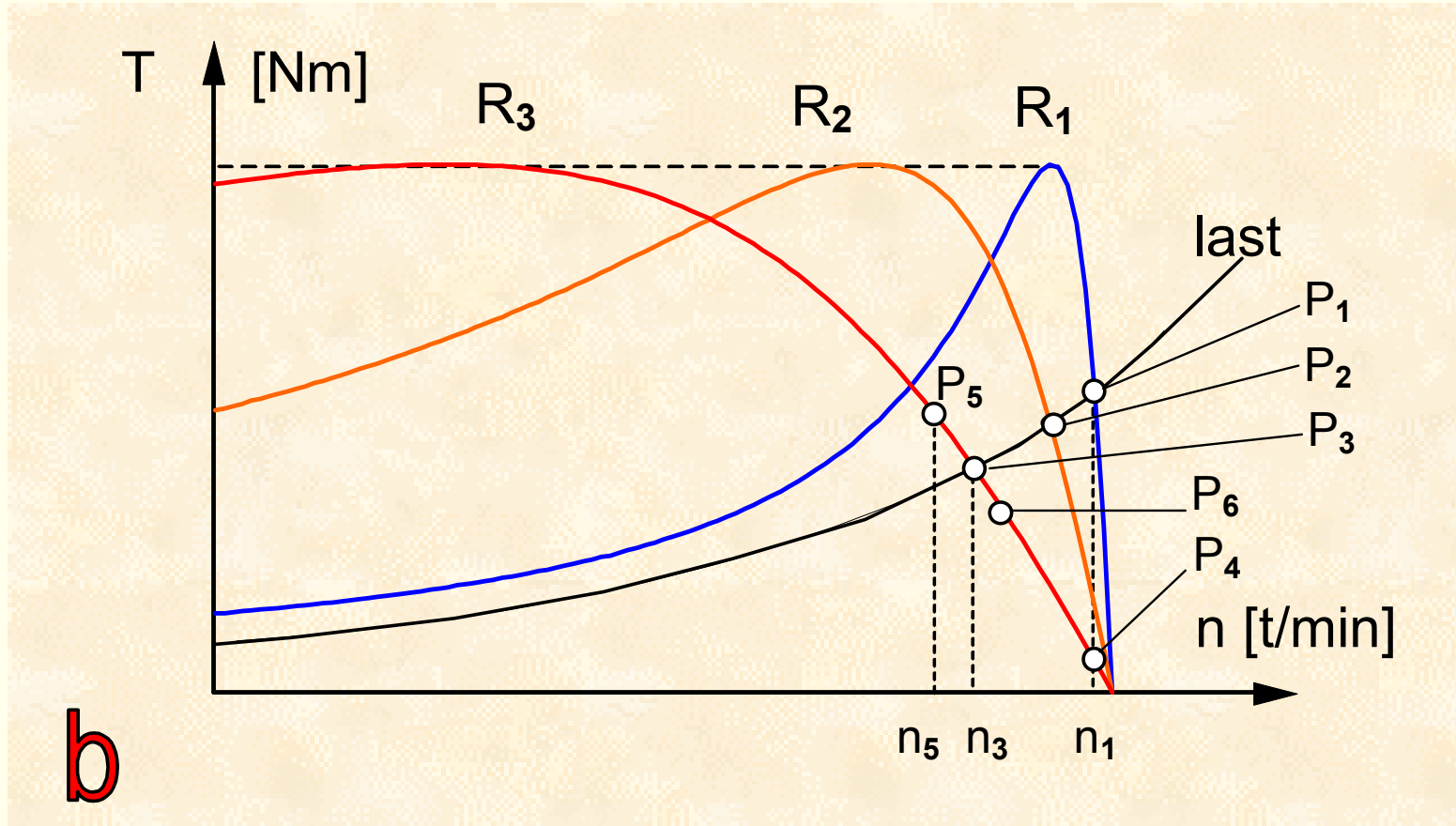
Sleepringrotor – Weerstand I



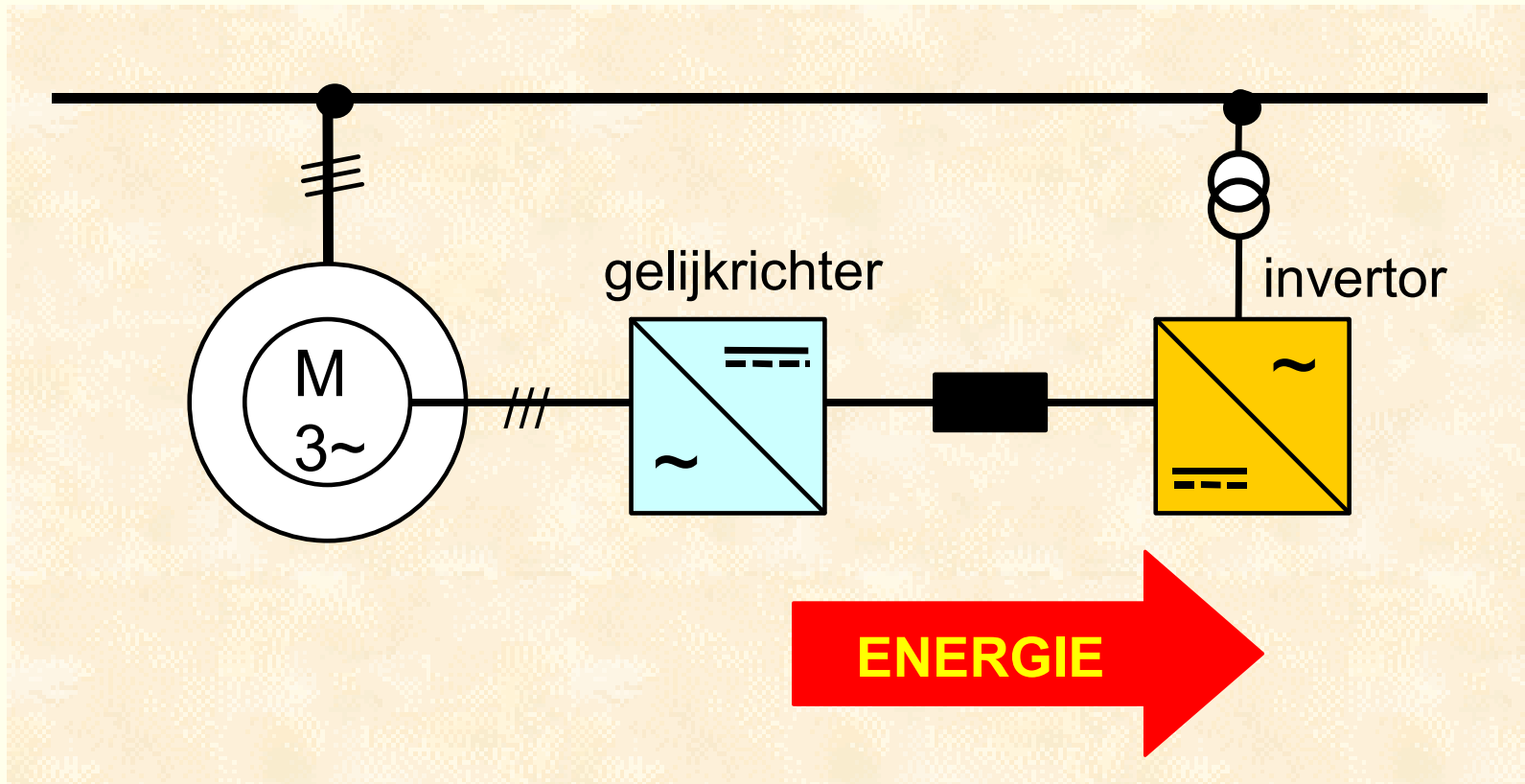
a

R1		geen bijkomende weerstand
R2		bijkomende rotorweerstand half ingeschakeld
R3		bijkomende rotorweerstand volledig ingeschakeld

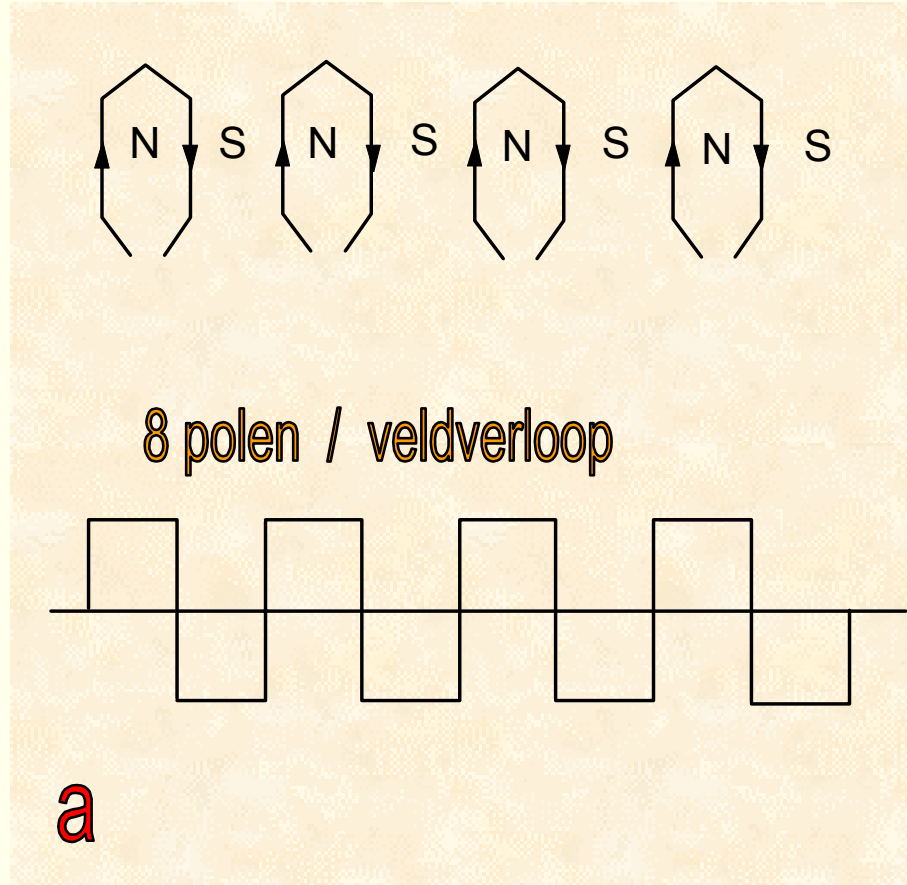
Slepringrotor – Weerstand II



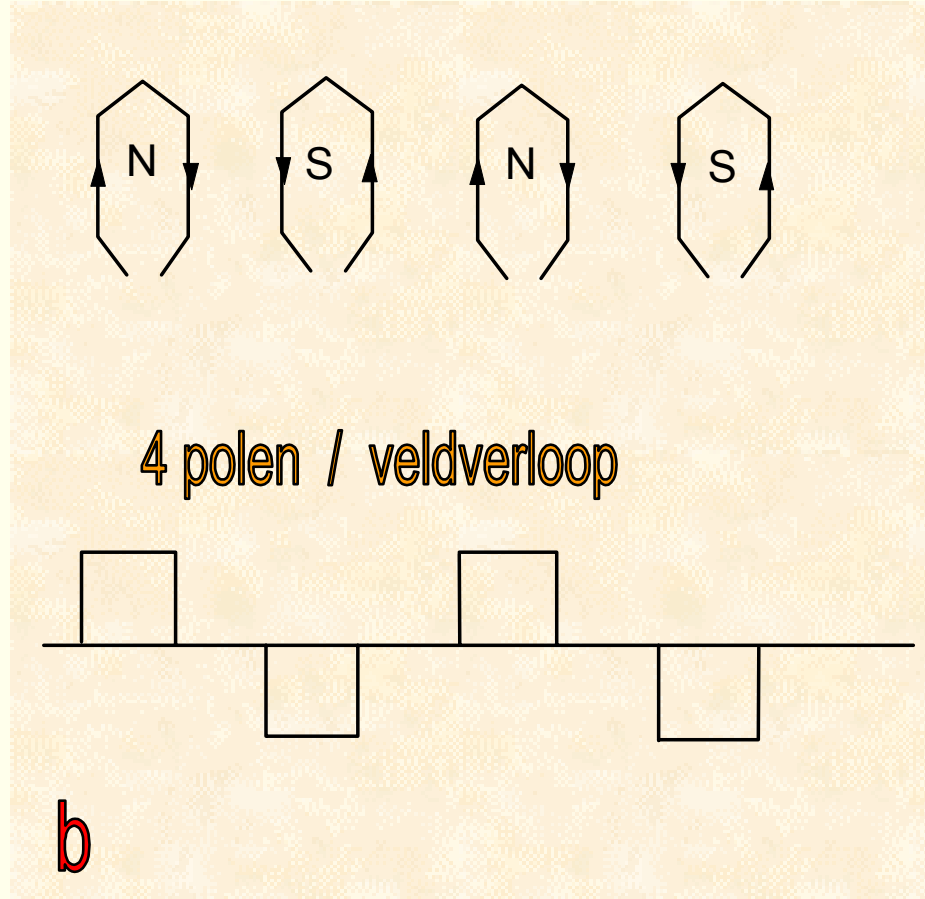
Sleepingrotor - Cascadeschakeling



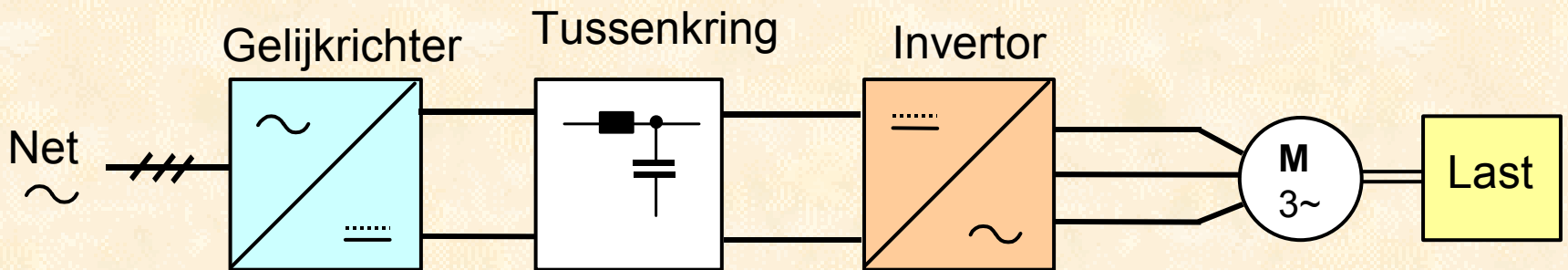
Poolpaartal – Dahlander I



Poolpaartal – Dahlander II



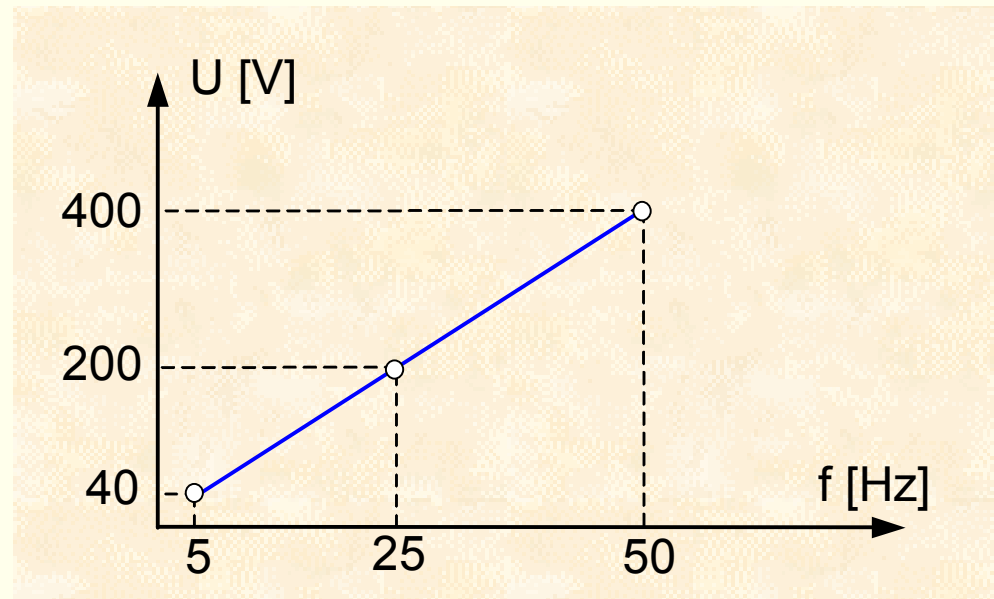
Frequentiesturing



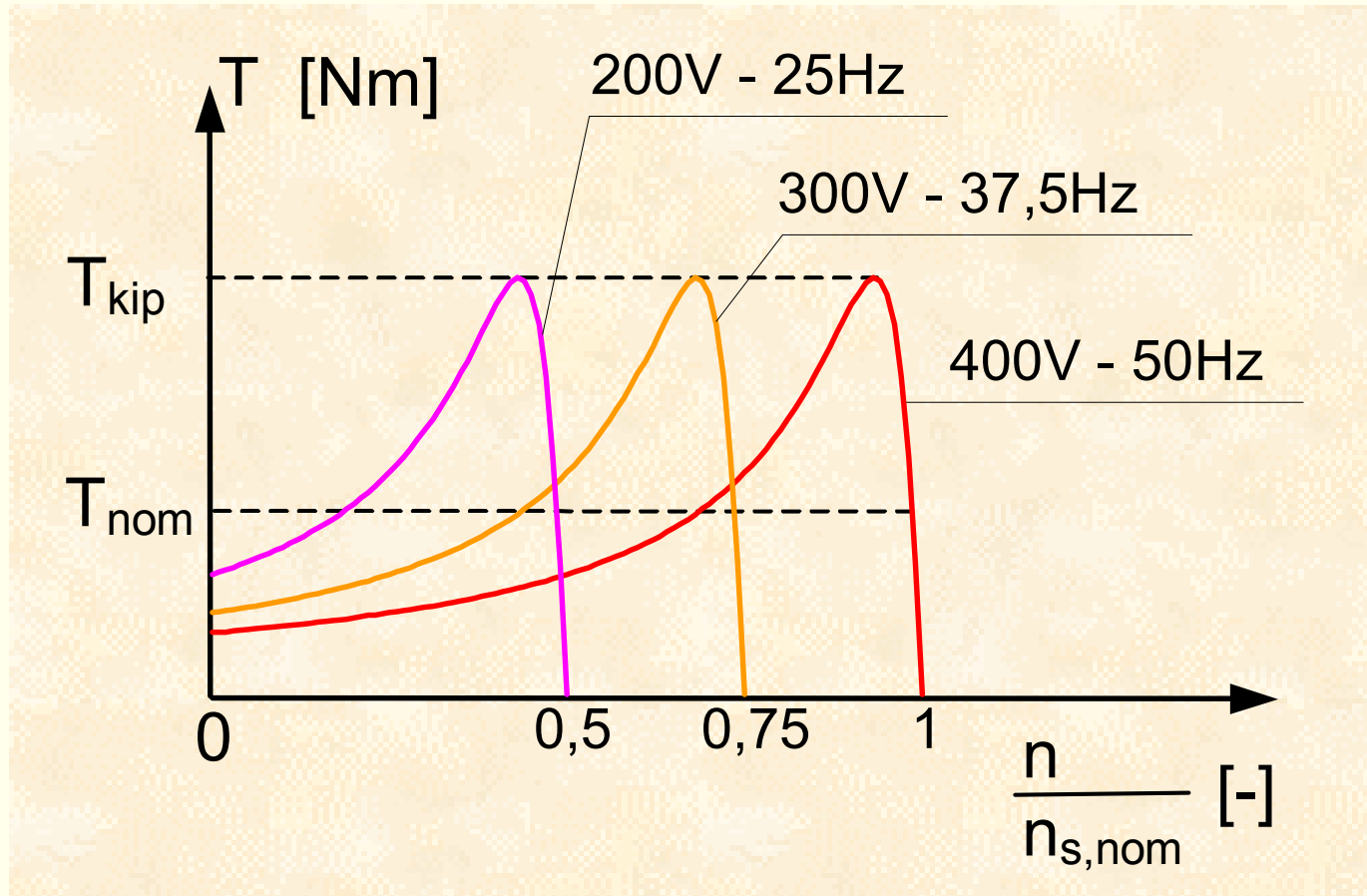
Verhouding spanning-frequentie

$$U_f = 4,44 \cdot w_{eff} \cdot f \cdot \phi$$

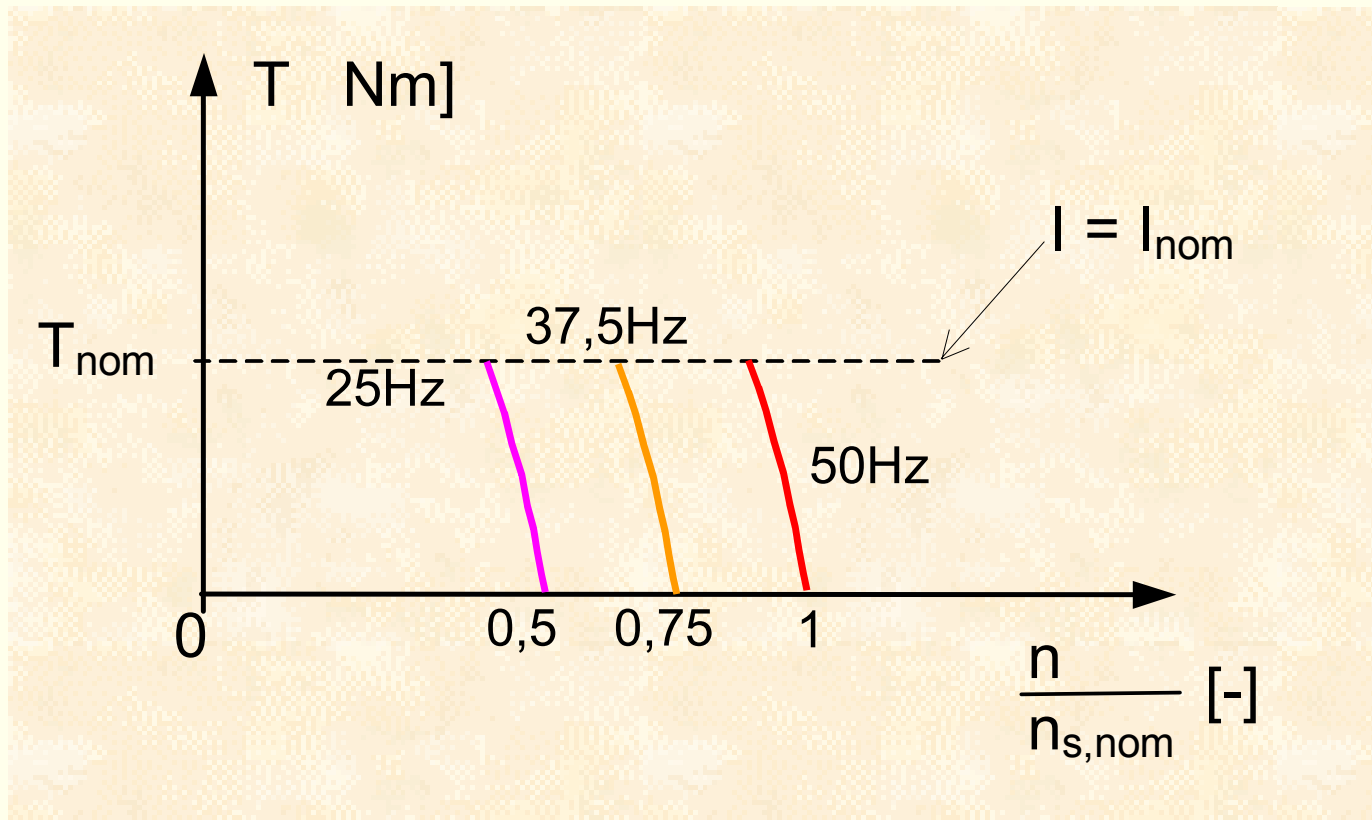
$$\frac{U_{f_1}}{U_{f_2}} = \frac{f_1}{f_2}$$



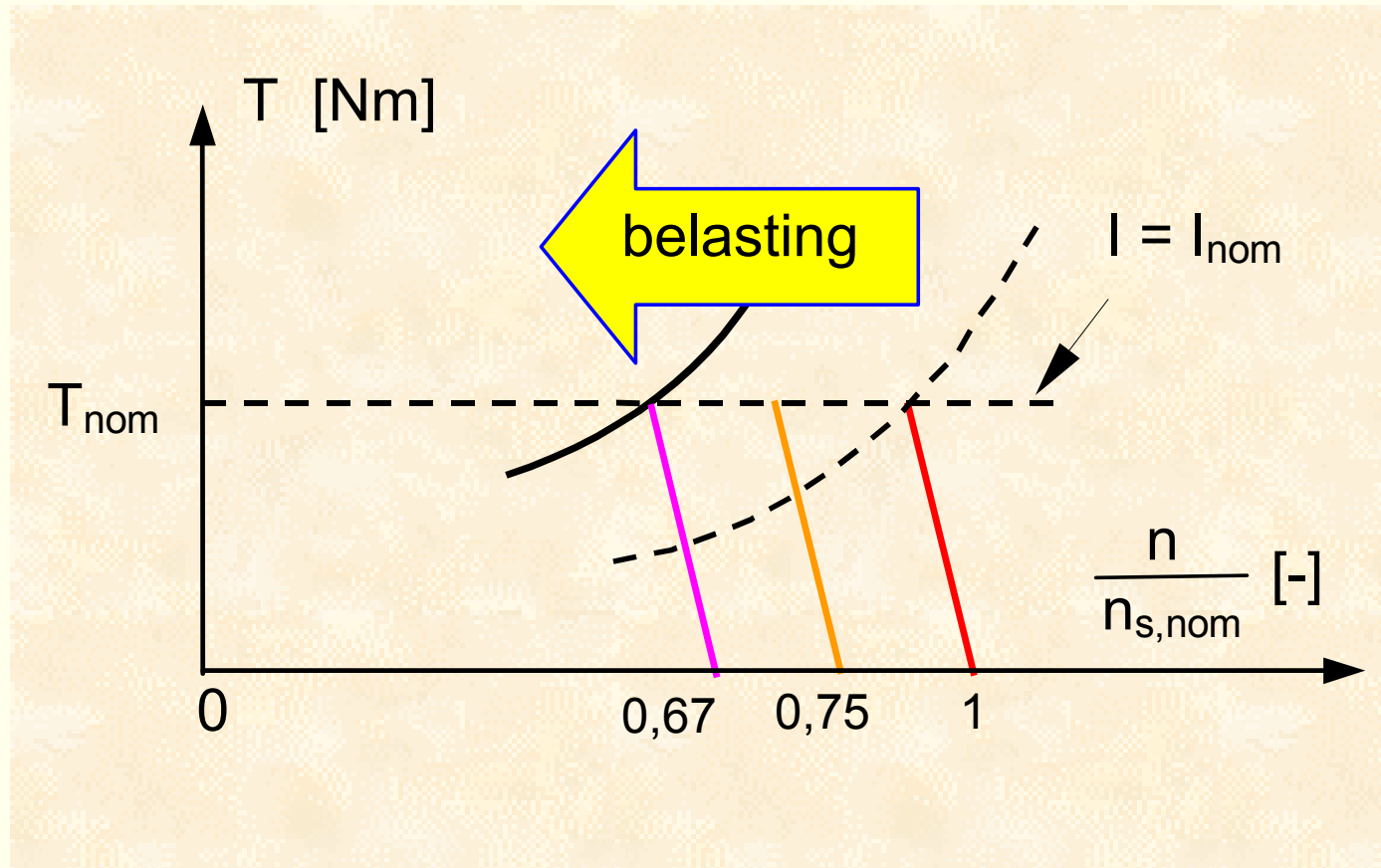
Koppel - Toerentekarakteristiek



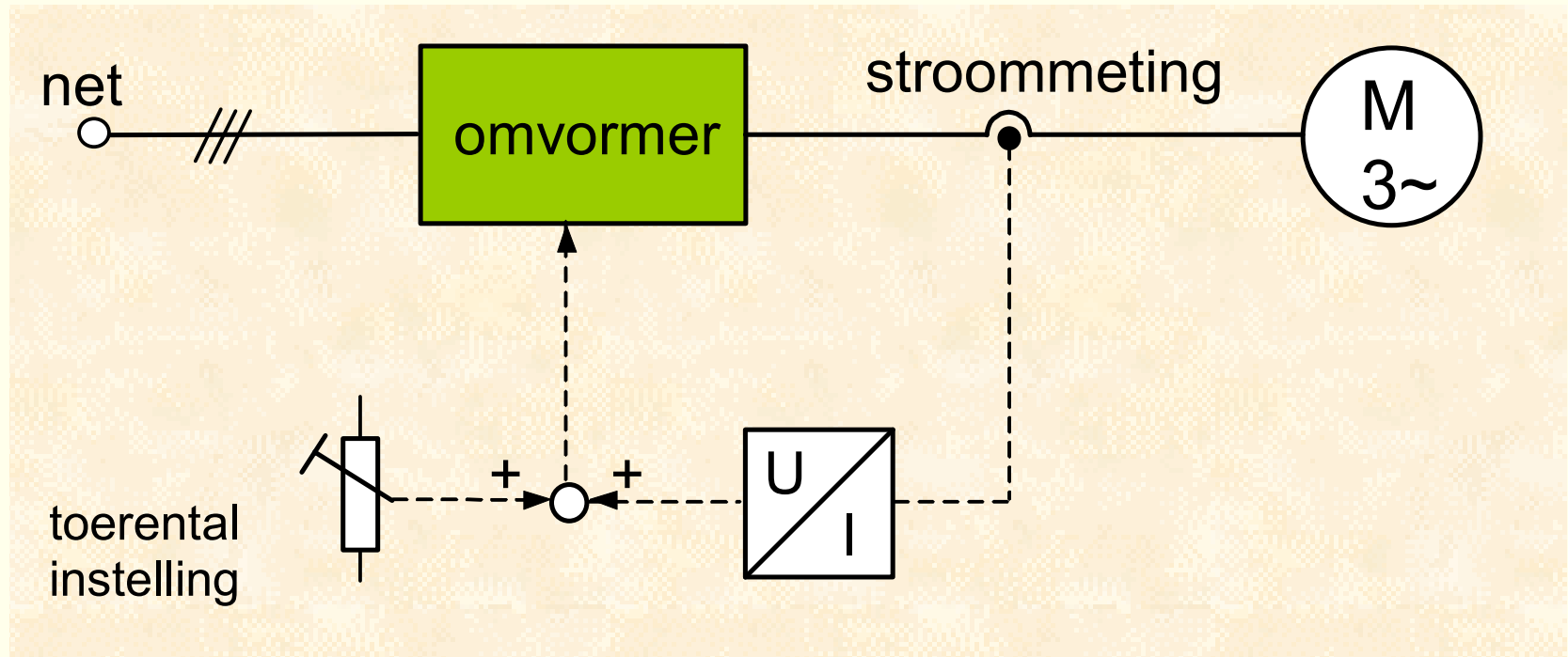
Stroombegrenzing I



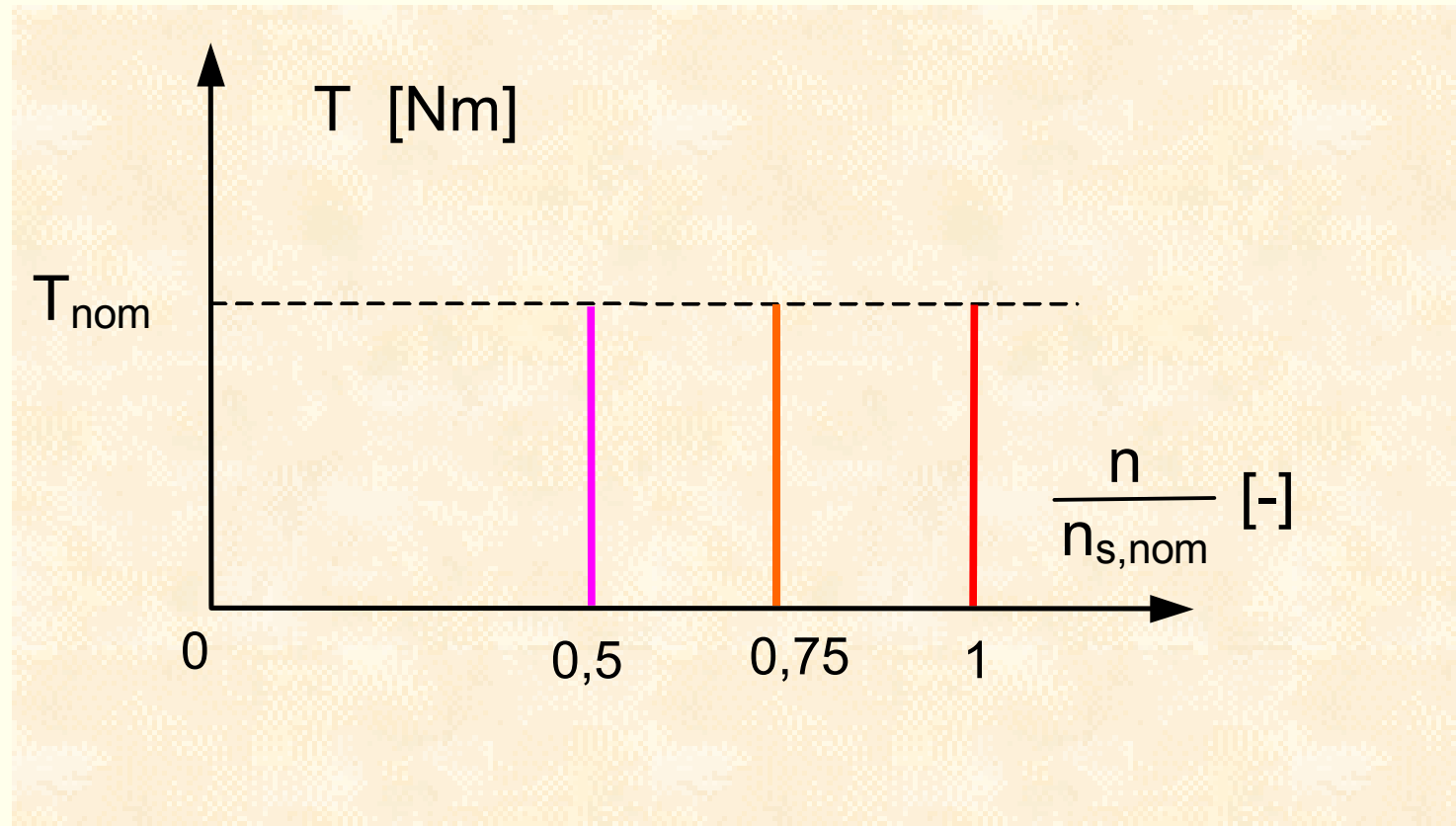
Stroombegrenzing II



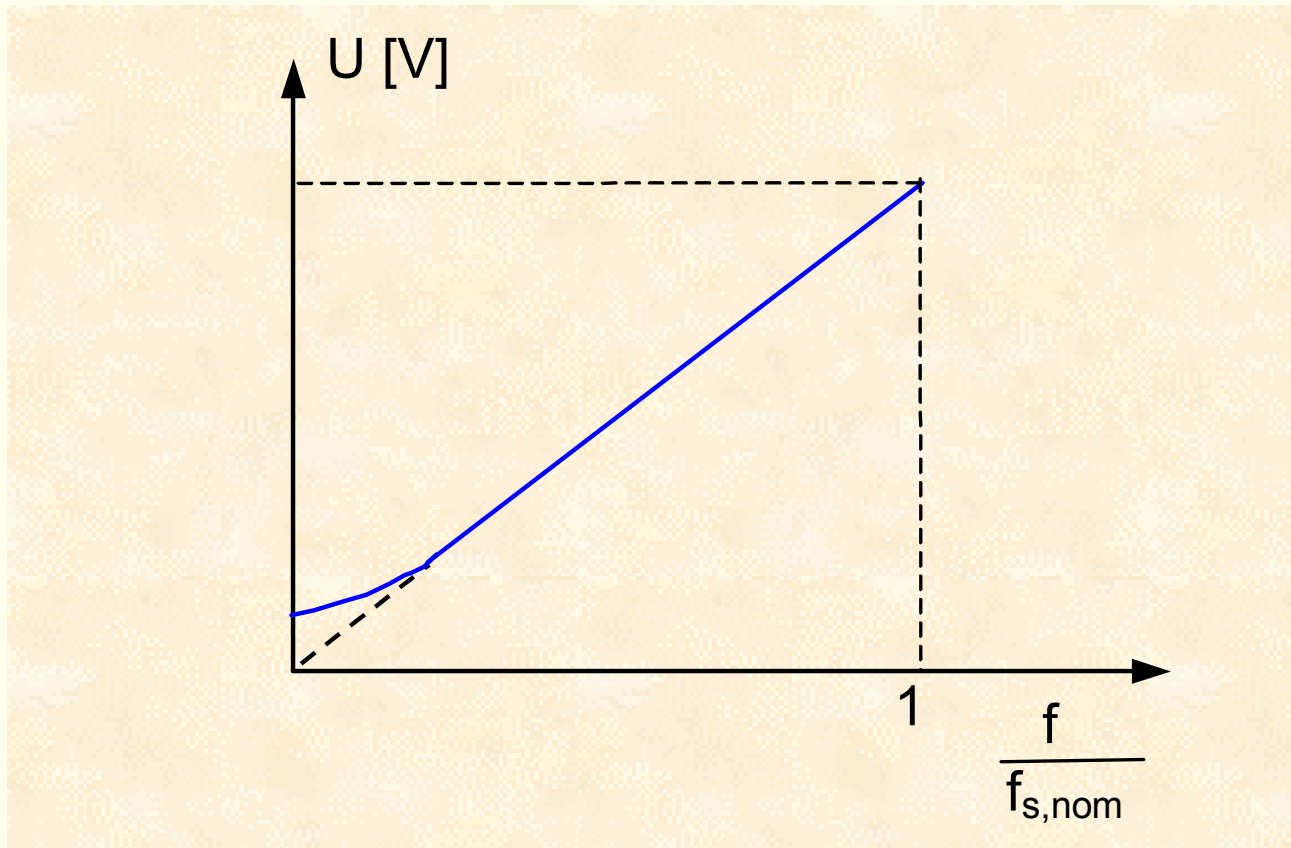
Slipcompensatie



Koppel-toerentalkarakteristiek met slipcompensatie



Statorweerstand



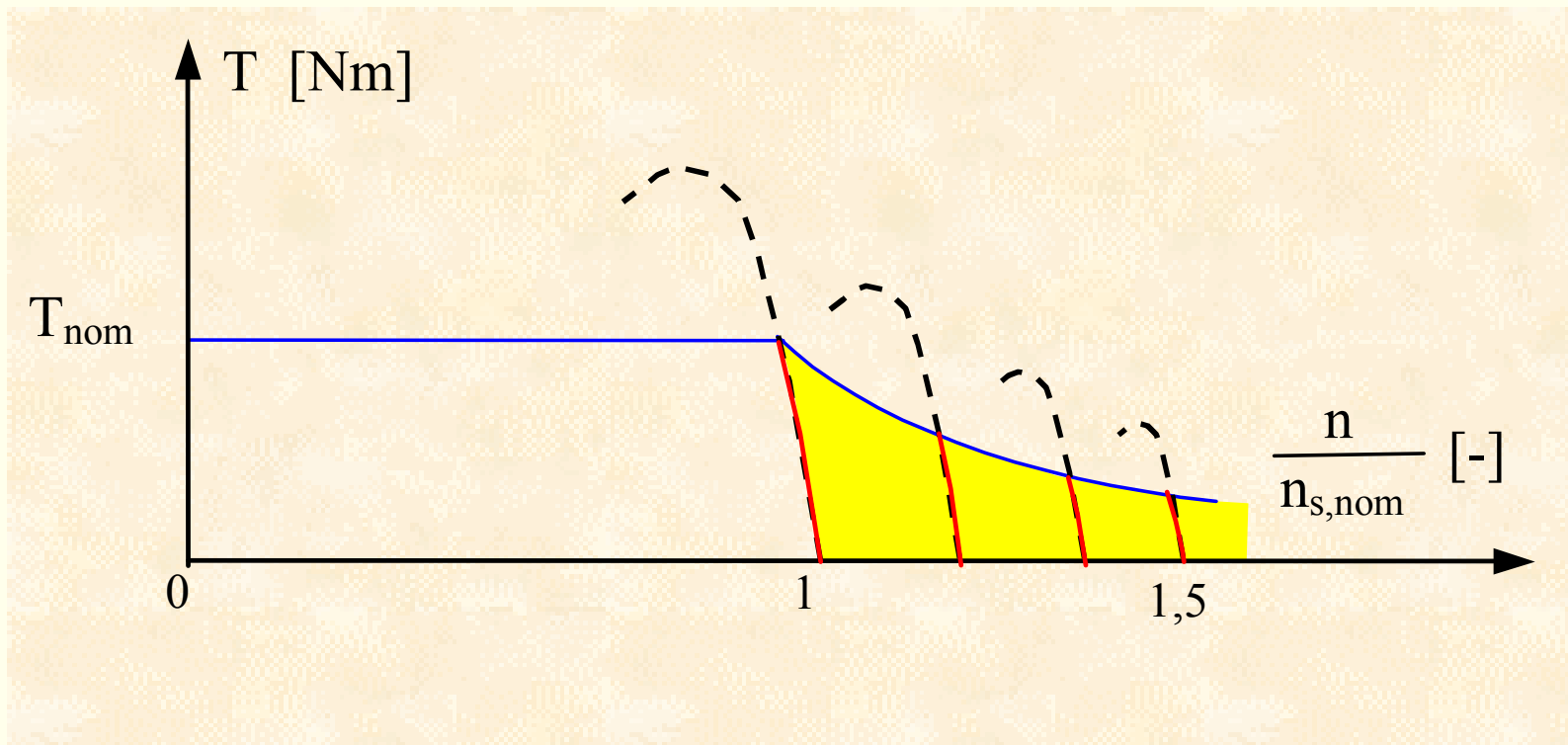
Veldverzwakking

$$P_1 = \sqrt{3} \cdot U \cdot I \cdot \cos \varphi$$

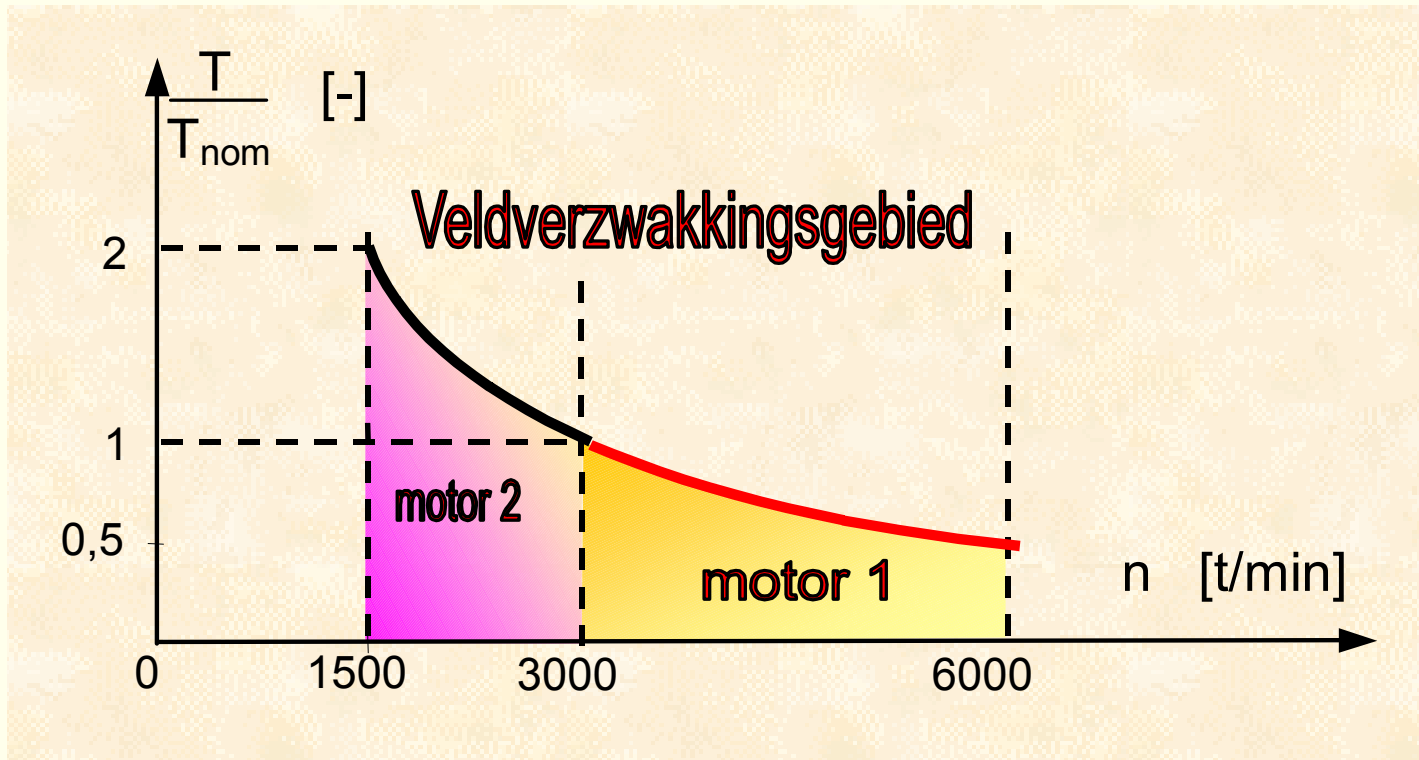
$$P_{as} = T \cdot \omega$$

$$T = P_1 \cdot \frac{1}{\omega} = \frac{C}{n}$$

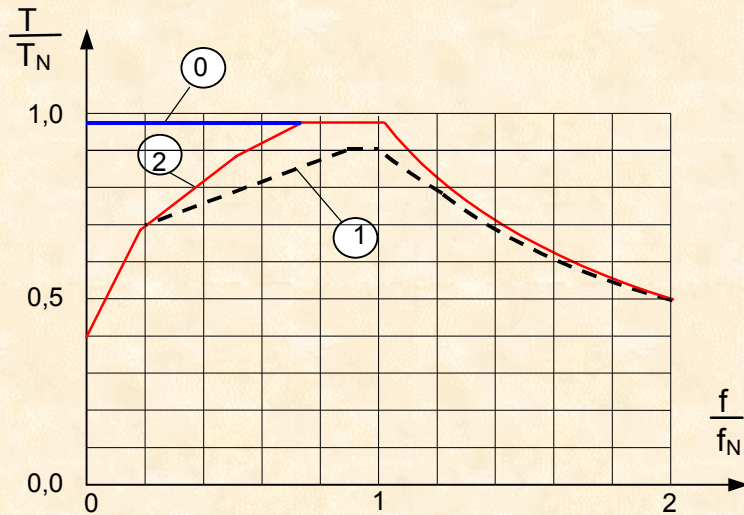
Veldverzwakking



Oversnelheid

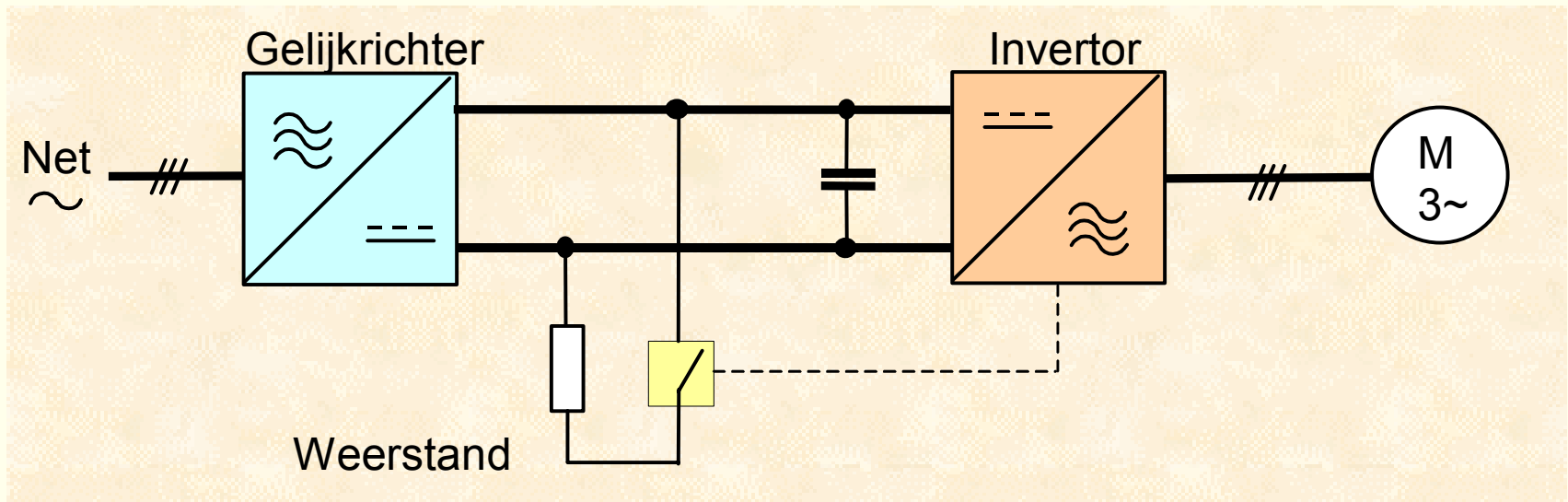


Motorbelasting, verliezen, koeling

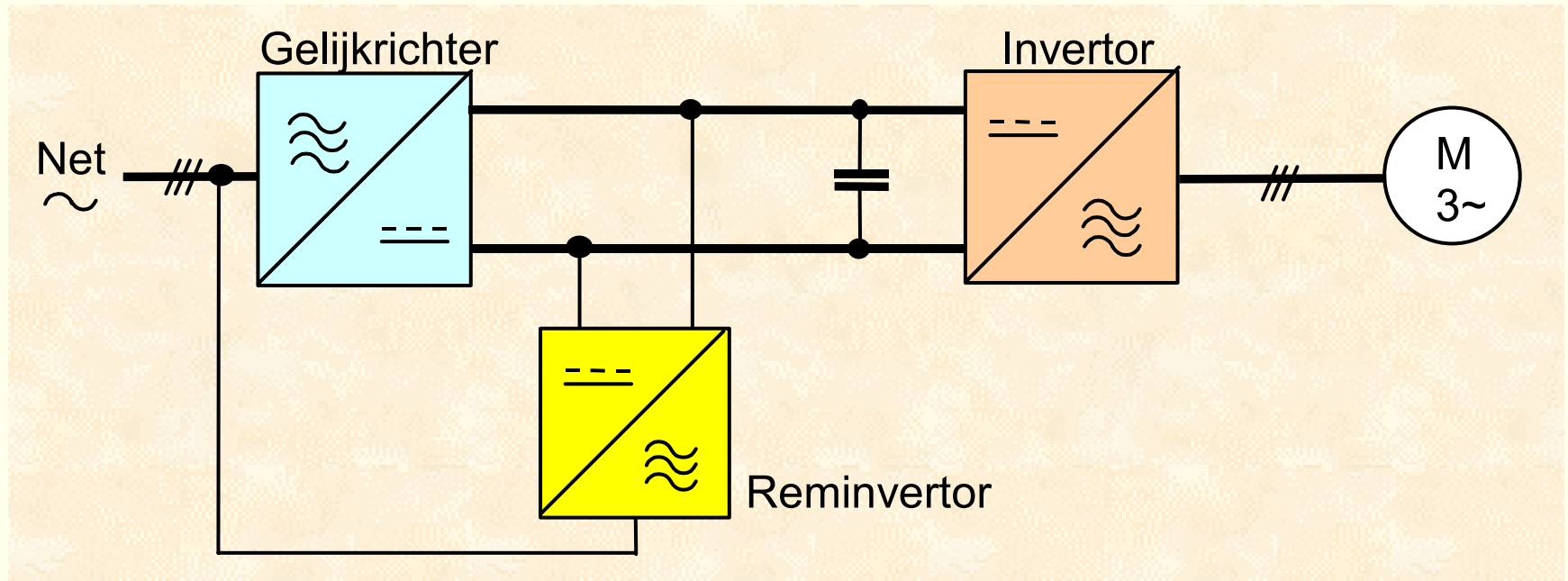


- 0 onafhankelijke ventilator
- 1 lage schakelfrequentie in de omvormer
- 2 hoge schakelfrequentie in de omvormer

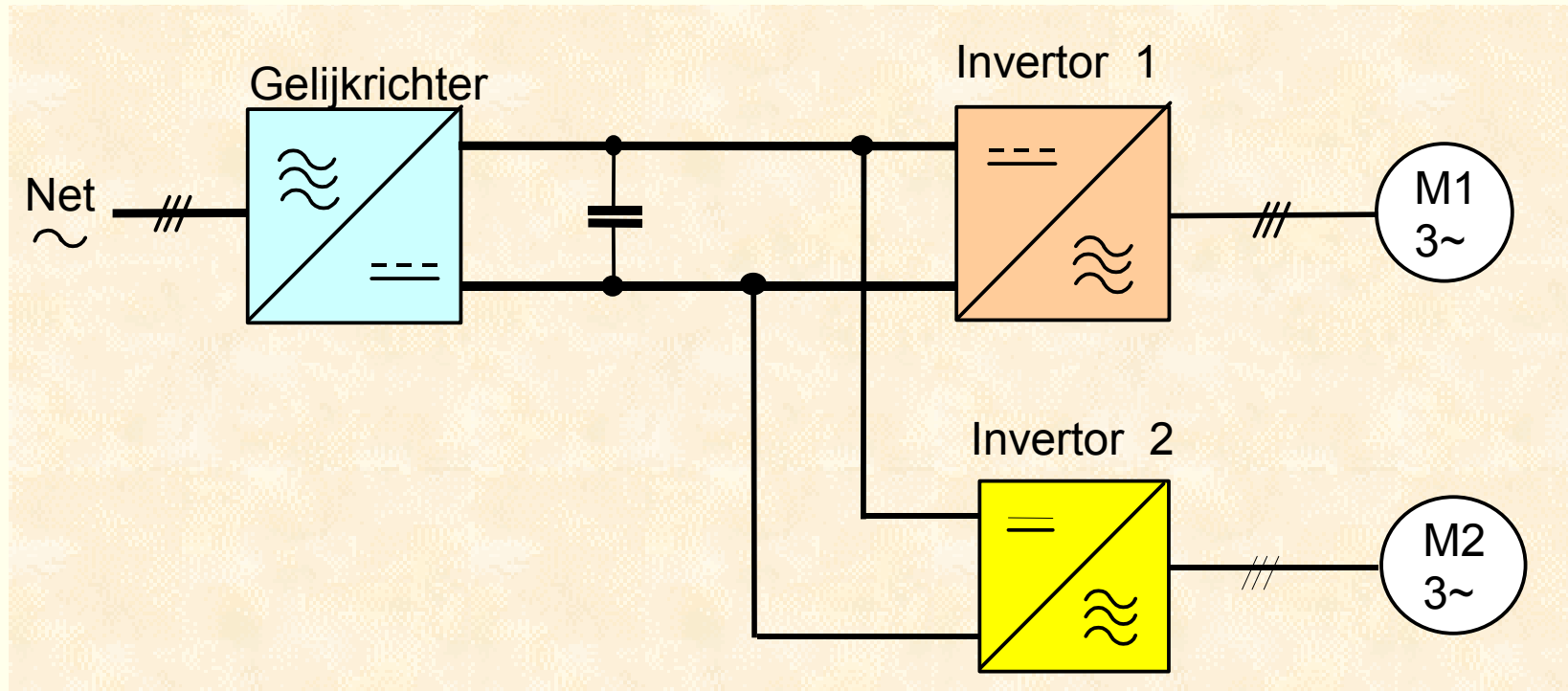
Weerstandremming



Energiereducatie



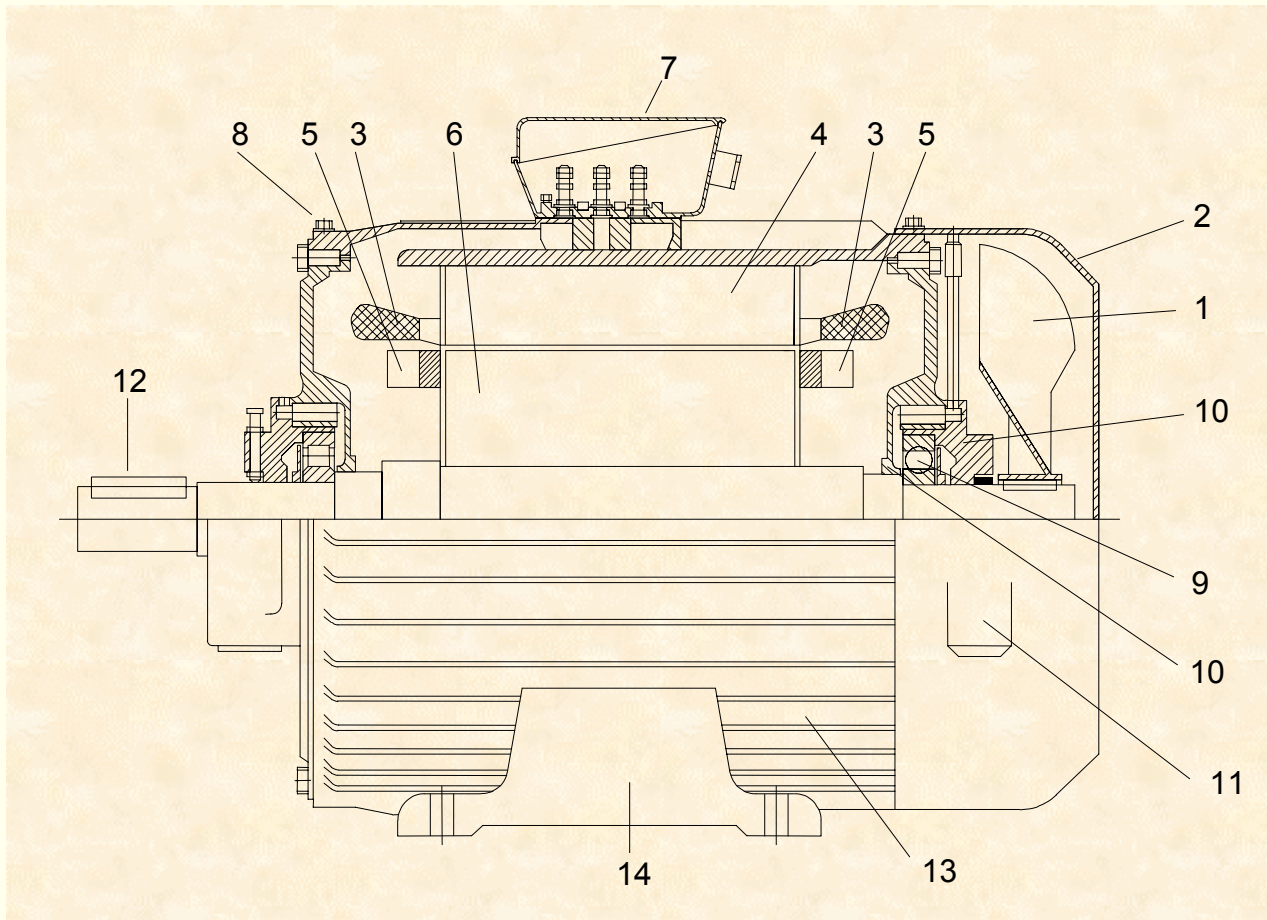
Common dc bus



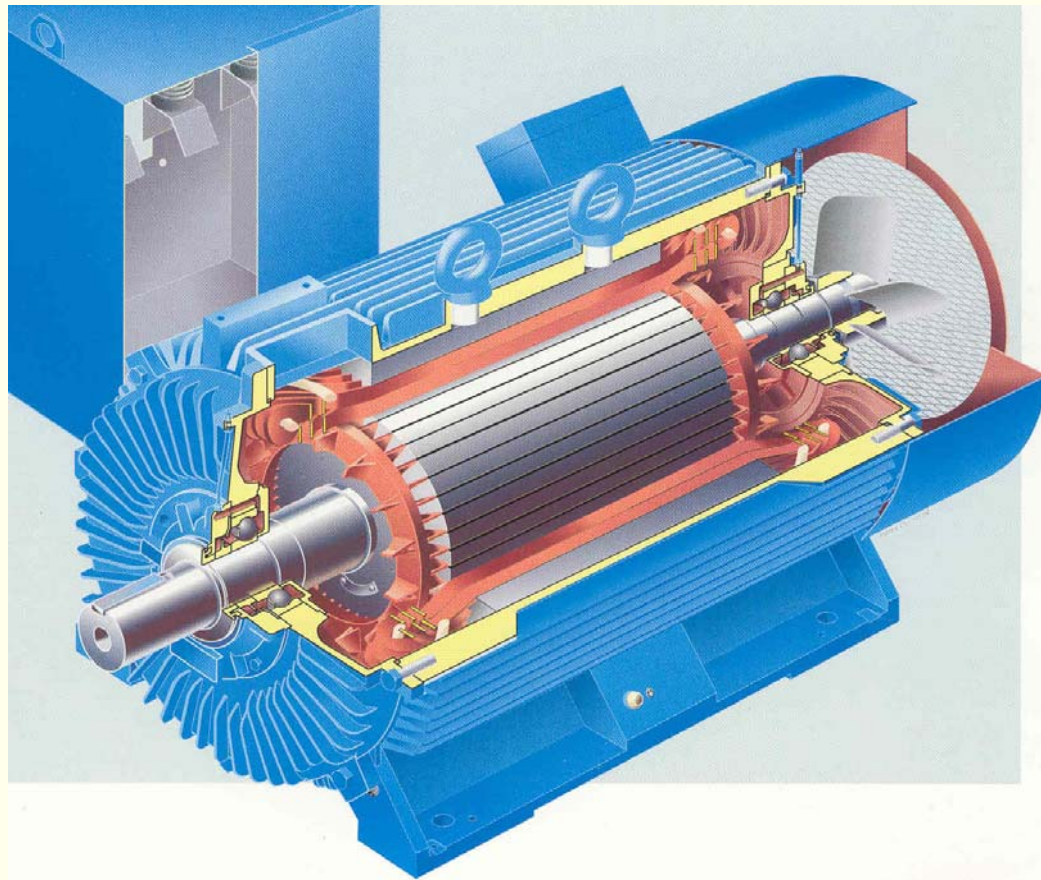
Constructie van inductiemotoren

- Inleiding
- Wikkelingen
- Stator- en rotorblikpakket
- Huis en lagers
- Constructienormen en mechanische uitvoeringen
- Mechanische bescherming
- Isolatieklassen
- Koeling

Driefasige inductiemotor met kooirotor I

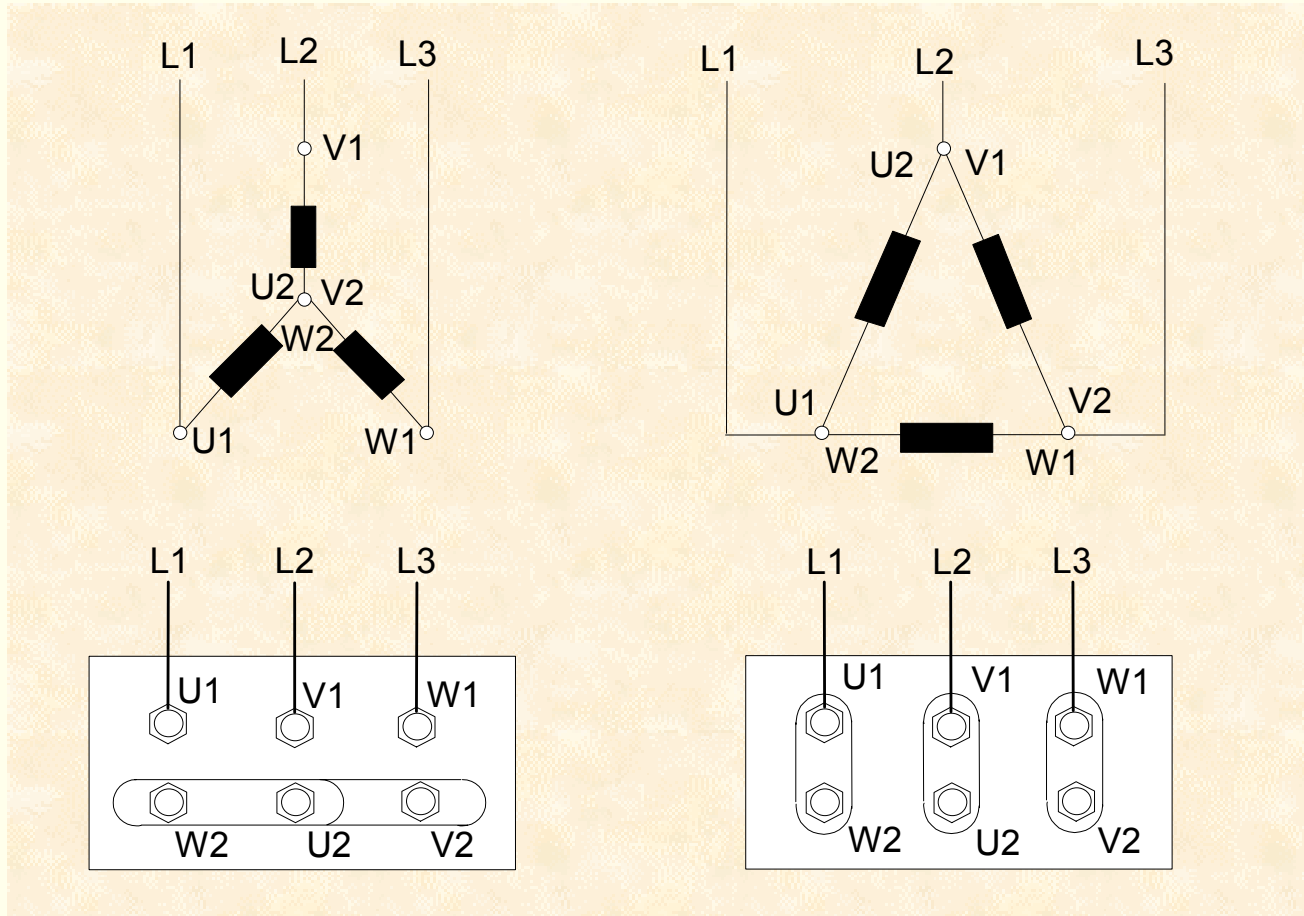


Driefasige inductiemotor met kooirotor II

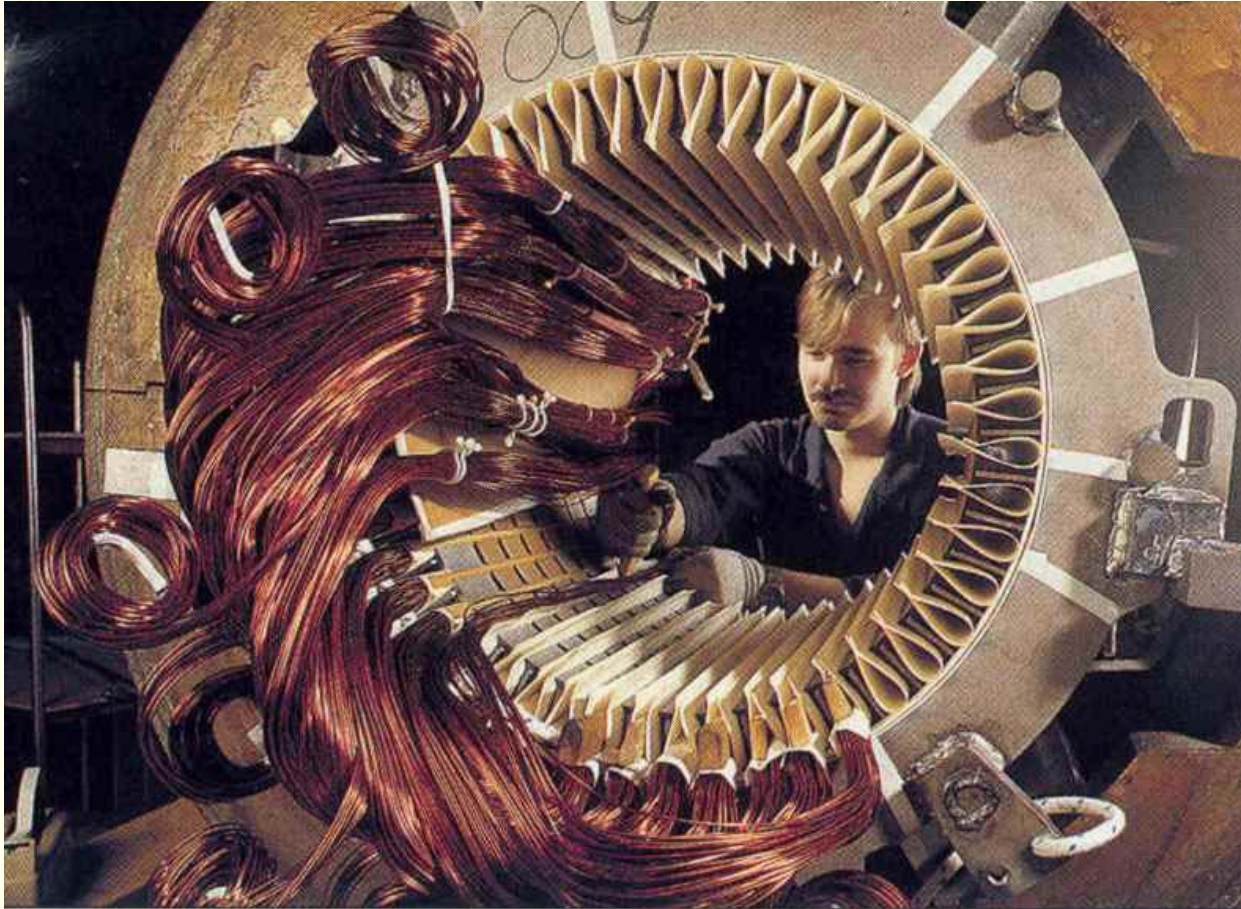


ABB

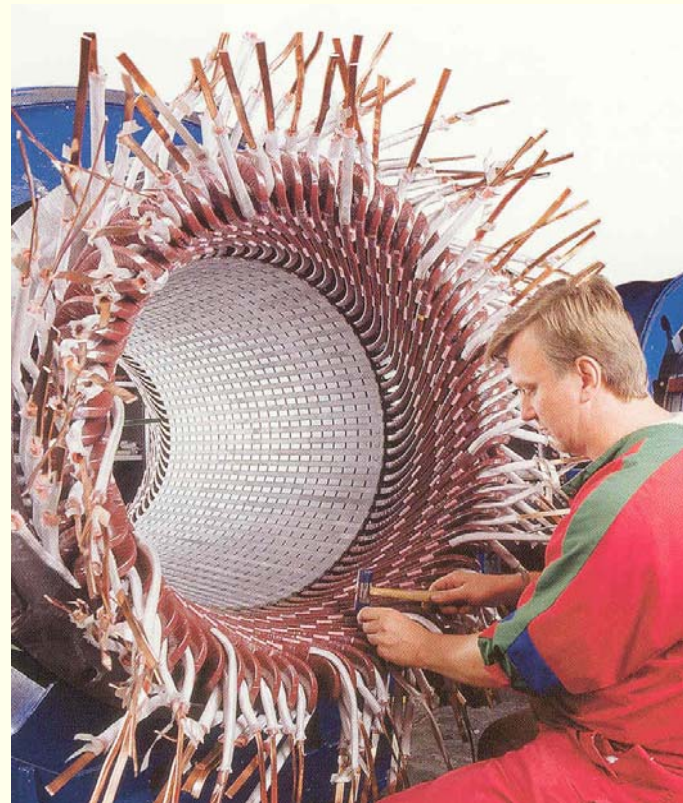
Ster-en driehoekschakeling



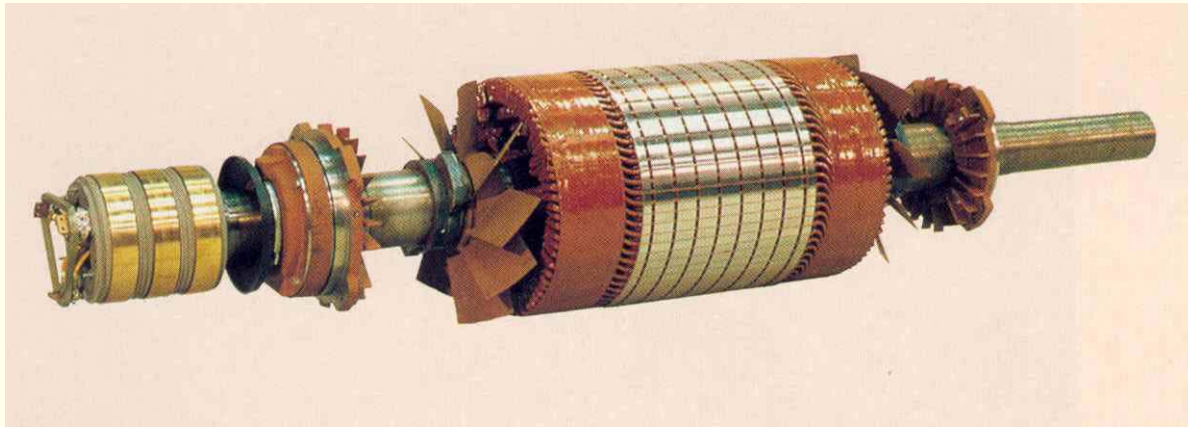
Spoelen in ronde wikkeldraad



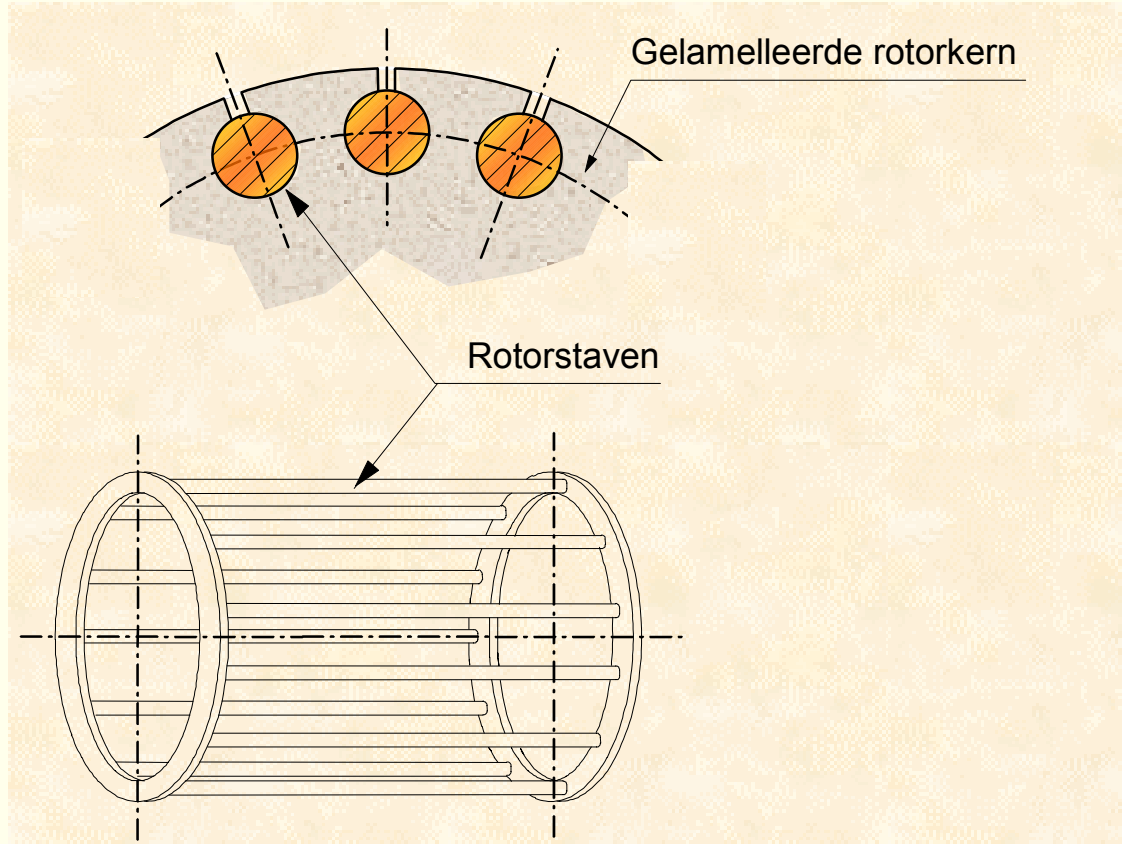
Voorgevormde spoelen voor een hoogspanningswikkeling



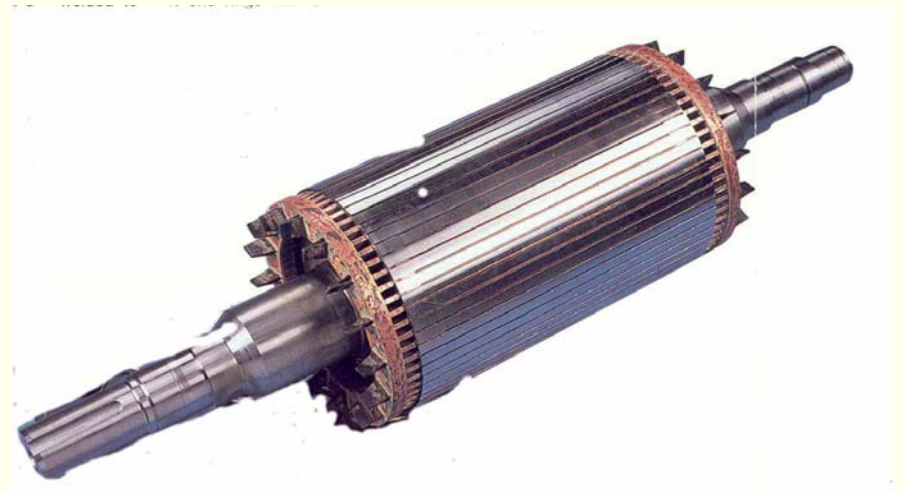
Sleepingrotor en borsteldrager



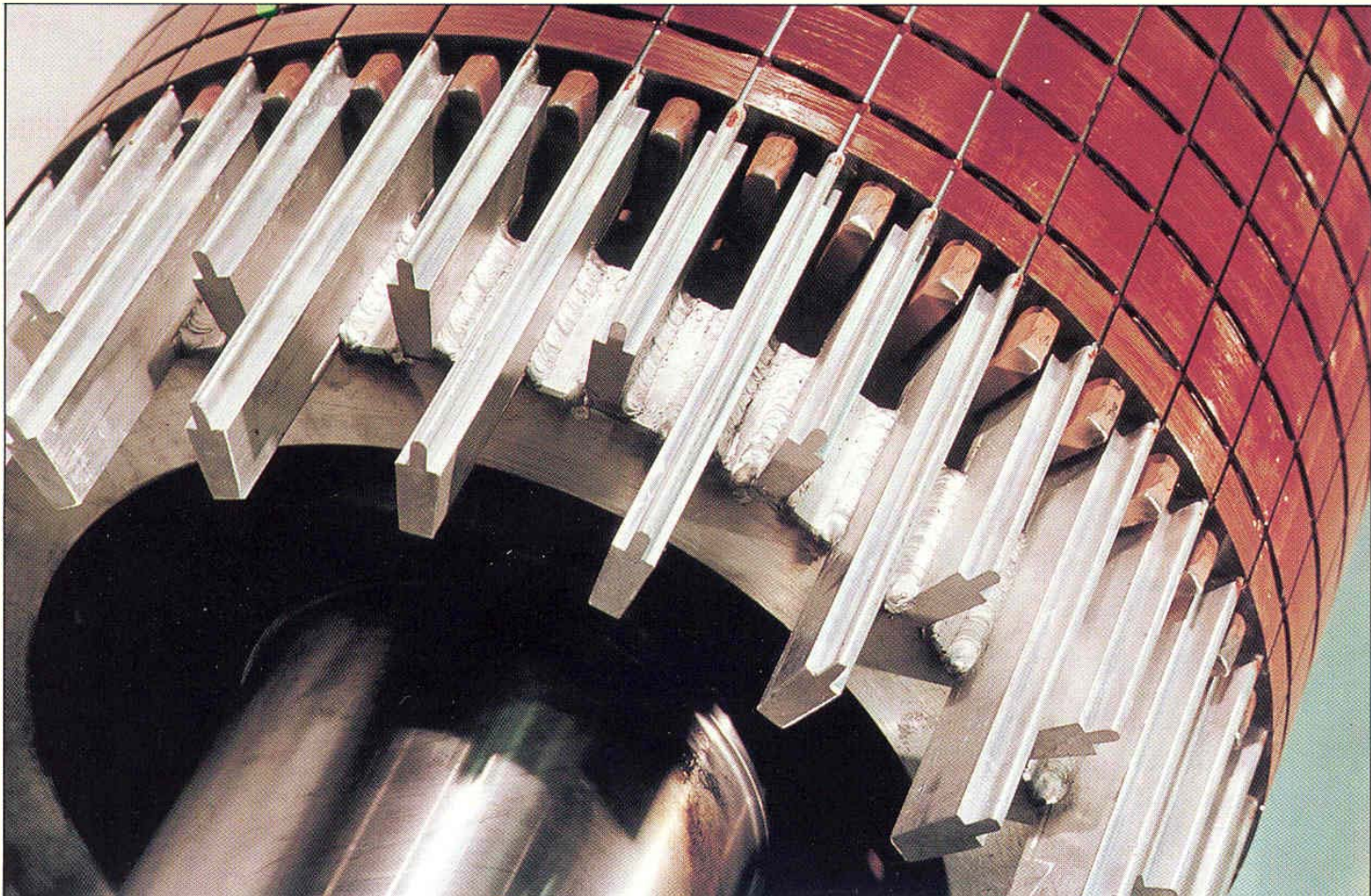
Enkelkooirotor



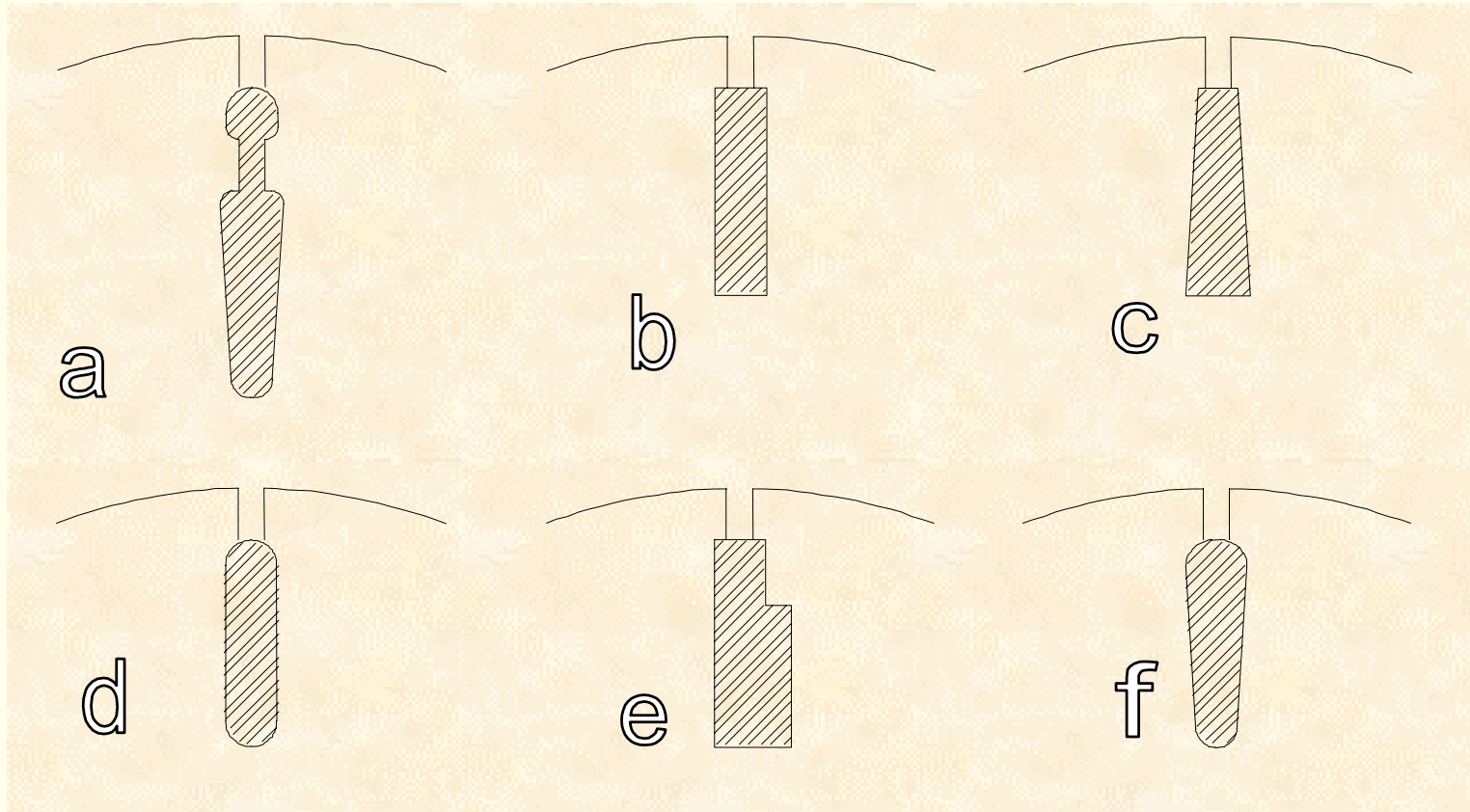
Enkelkooirotor zonder blik en rotor met gespoten Al kooi



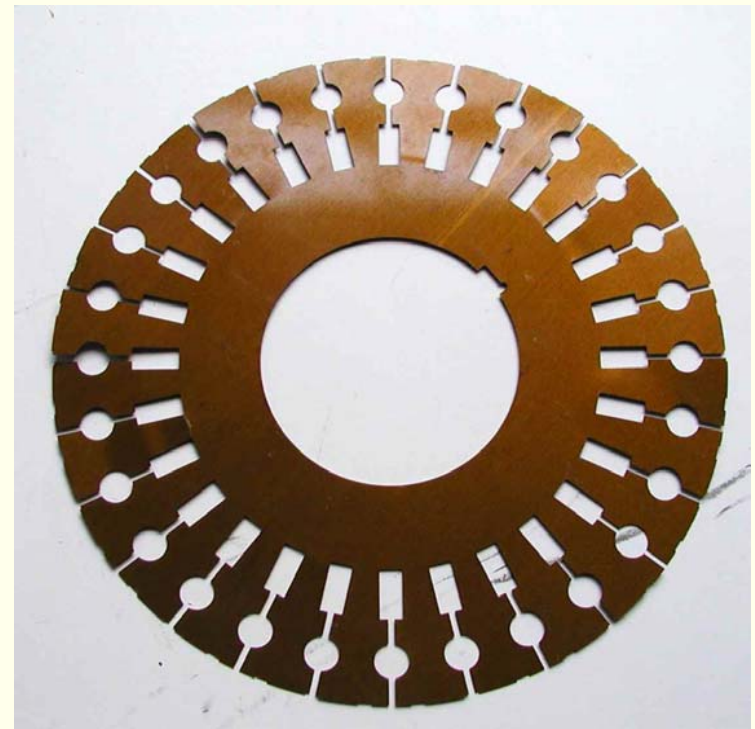
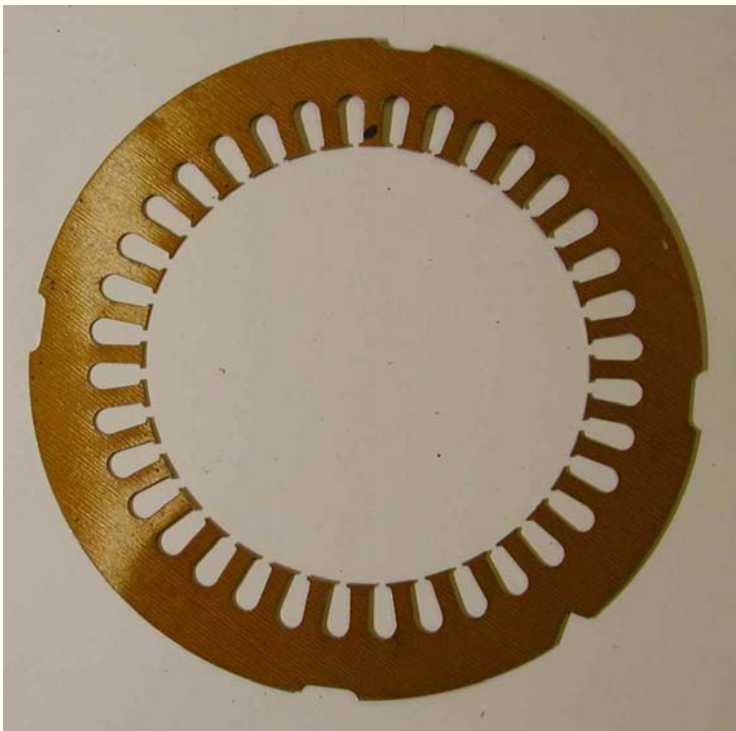
Rotoruiteinde met blikpakket



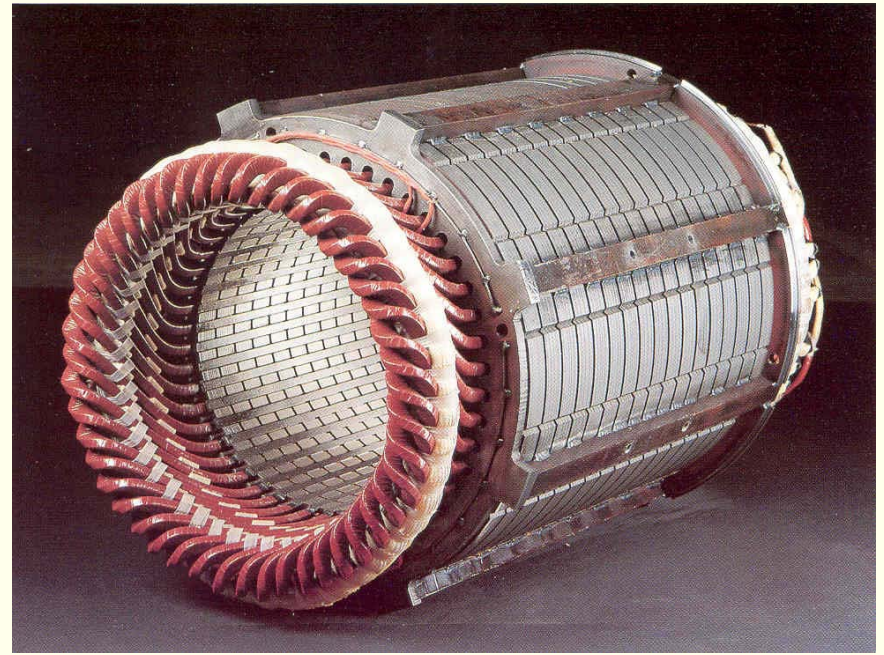
Kooirotorvormer



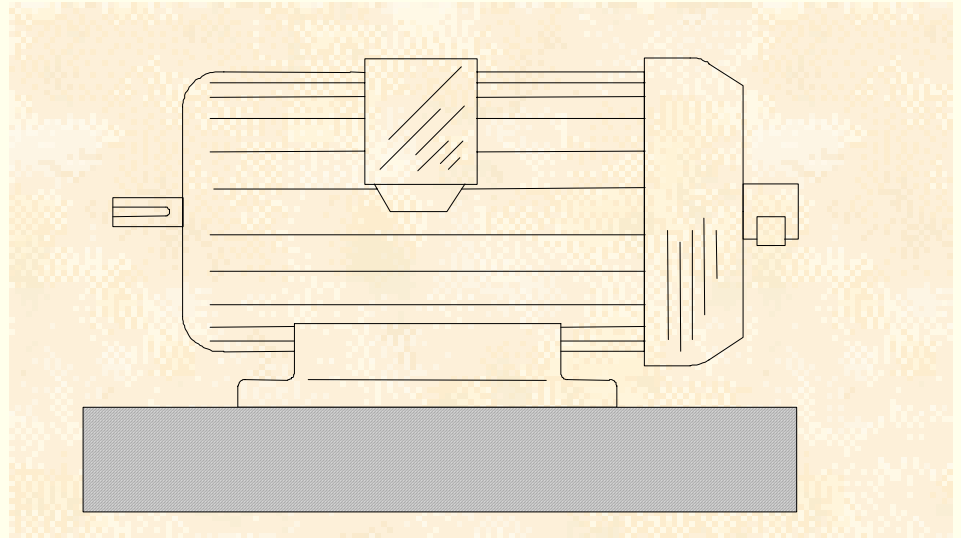
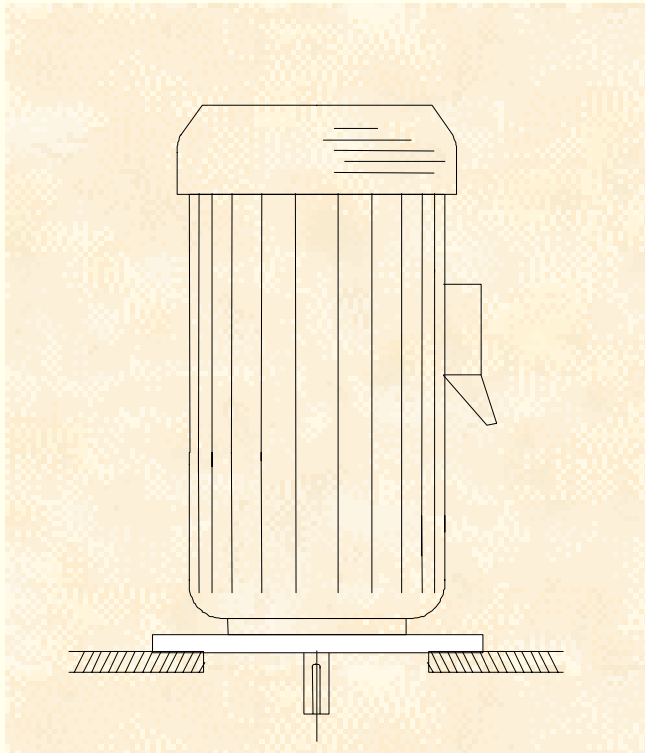
Stator- en rotorblik



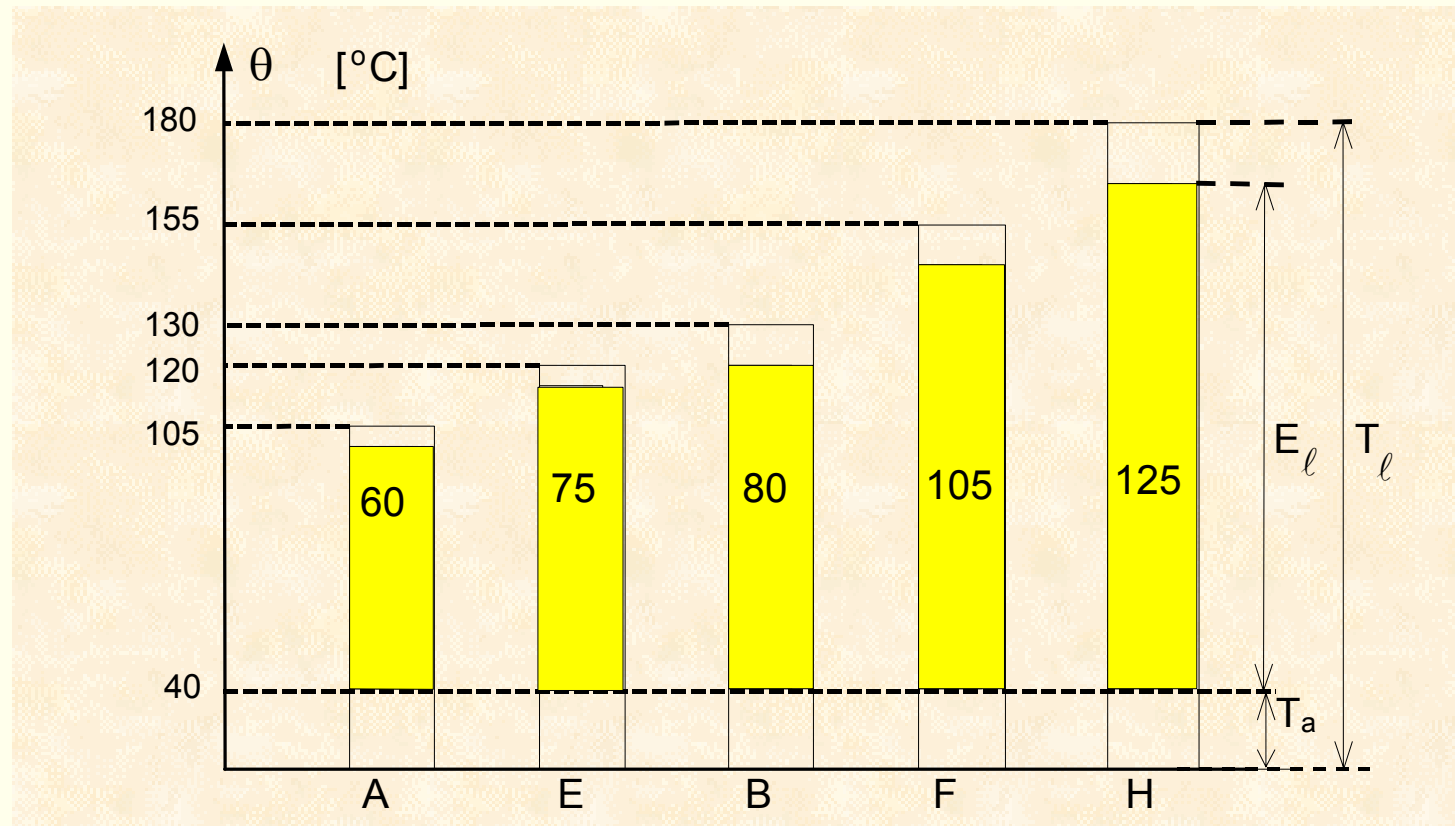
Statorbehuizing van een normmotor en statorblikpakket



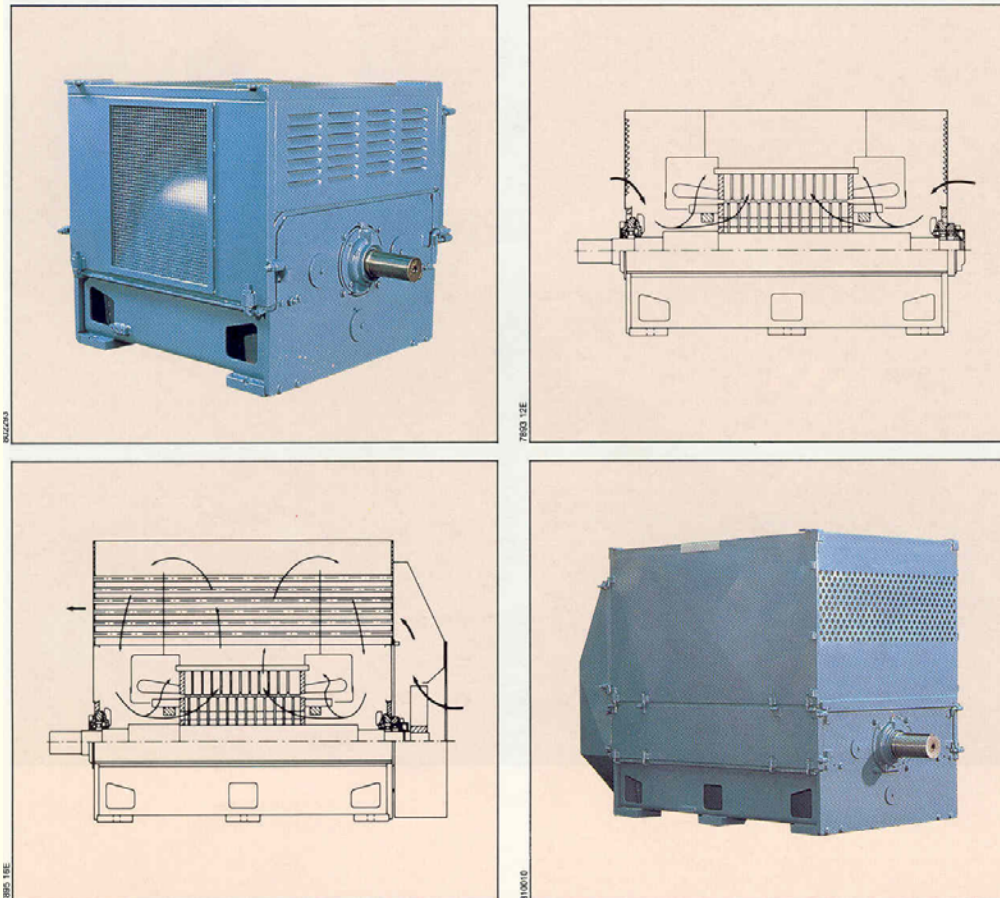
Verticale en horizontale uitvoeringsvorm



Grenstemperaturen voor isolatieklassen A, E, B, F en H



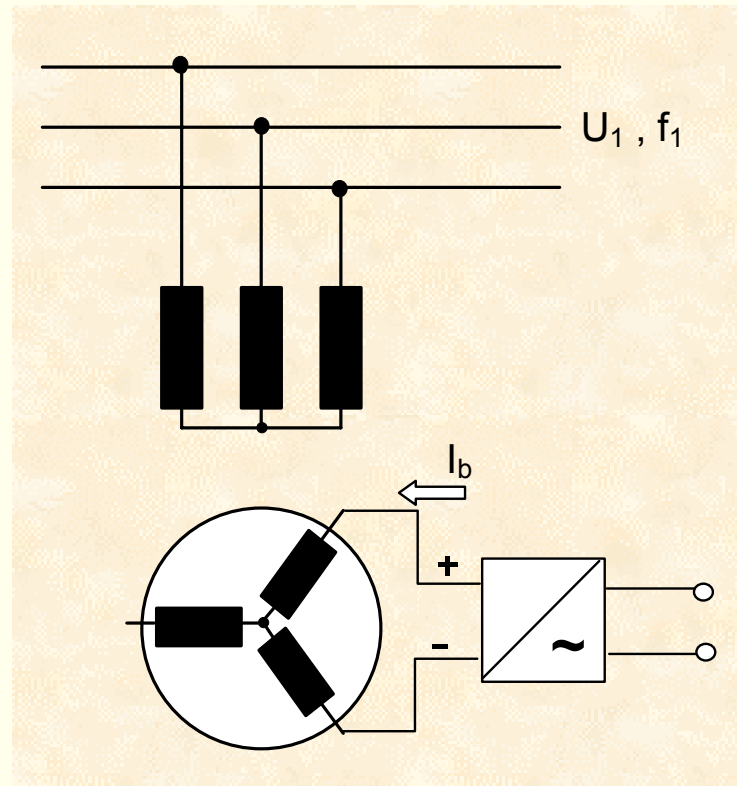
Inwendig gekoelde motor en motor met warmtewisselaar



Synchrone machines

- Equivalent schema
- Nullast en kortsluiting
- Koppeling met een star
- Machine met uitspringende polen

Sleepringmotor met gelijkstroomvoeding



$$f_2 = sf_1$$

$$s = 0$$

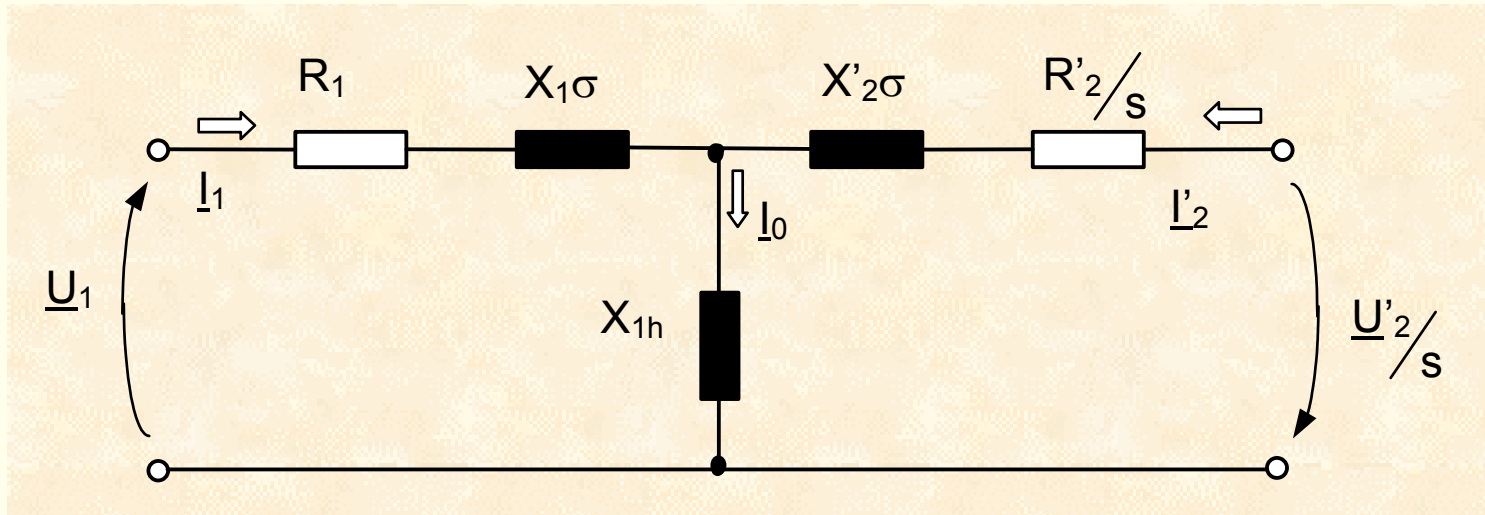
of

$$n = n_0 = \frac{f_1}{p}$$

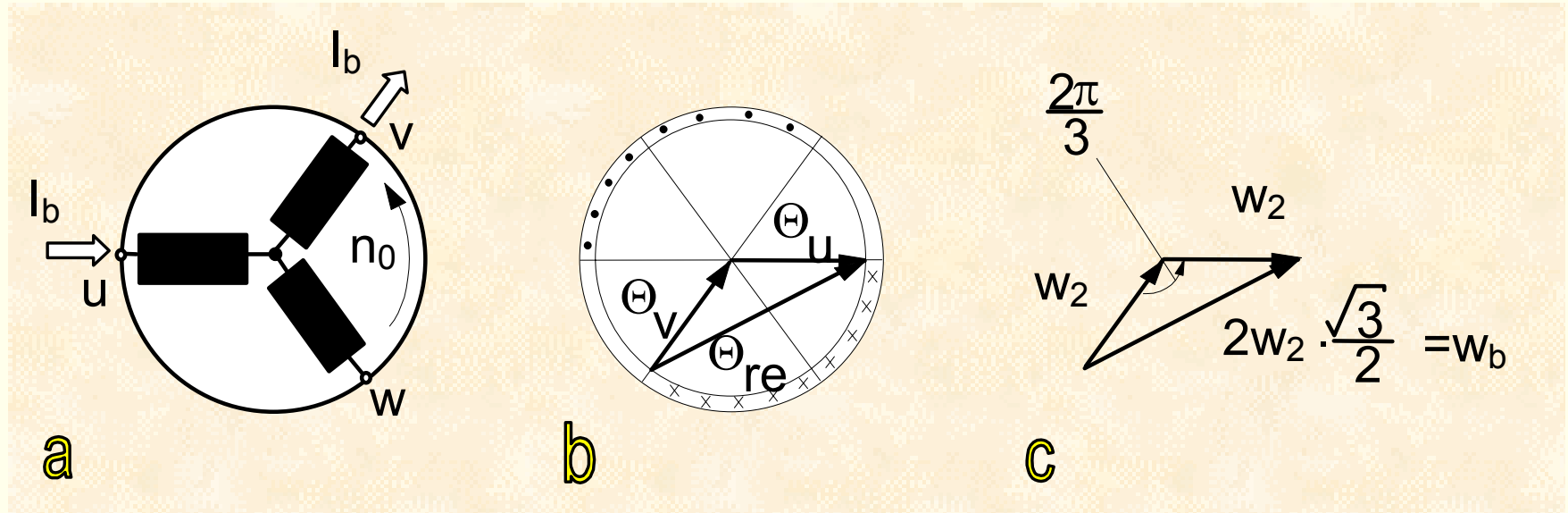
Equivalent schema

$$\underline{U}_1 + R_1 \underline{I}_1 + j(X_{1\sigma} + X_{1h}) \underline{I}_1 + jX_{1h} \underline{I}'_2 = 0$$

$$\underline{U}'_2 = R'_2 \underline{I}'_2$$



Overgang van een driefasige rotorwikkeling naar een wikkeling

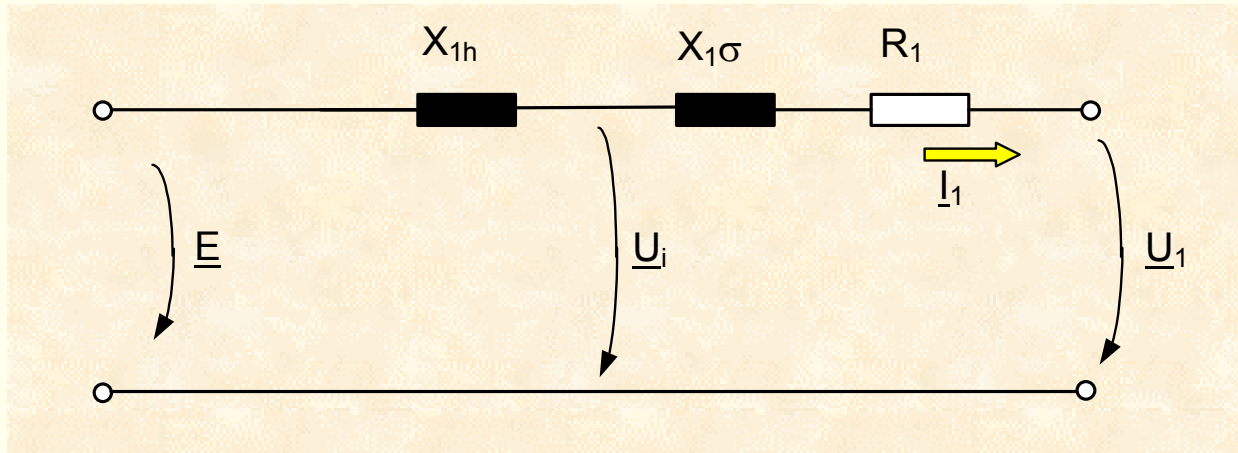


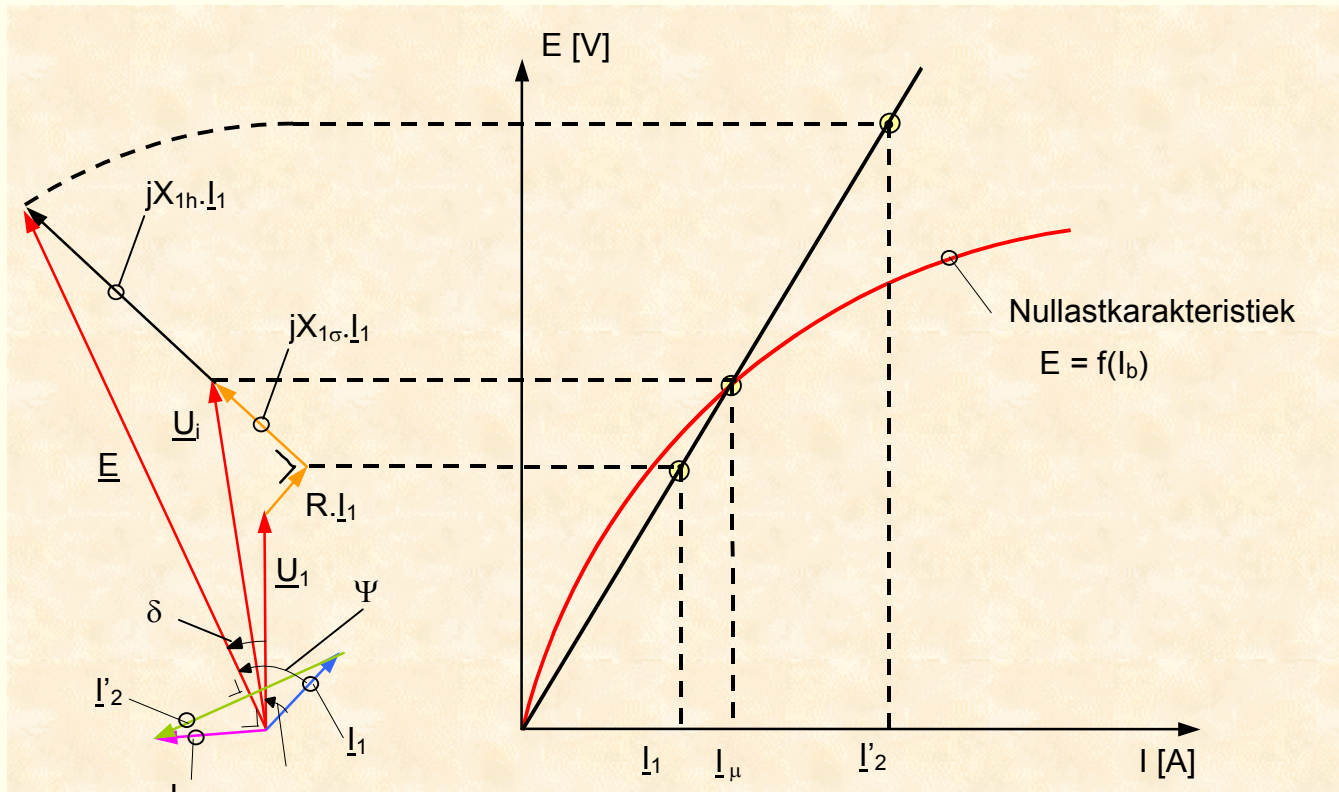
Equivalent schema

$$\underline{E} = -jX_{1h}\underline{I}'_2$$

$$\underline{U}_1 + R_1\underline{I}_1 + j(X_{1\sigma} + X_{1h})\underline{I}_1 = \underline{E}$$

$$U_b = R_b I_b$$



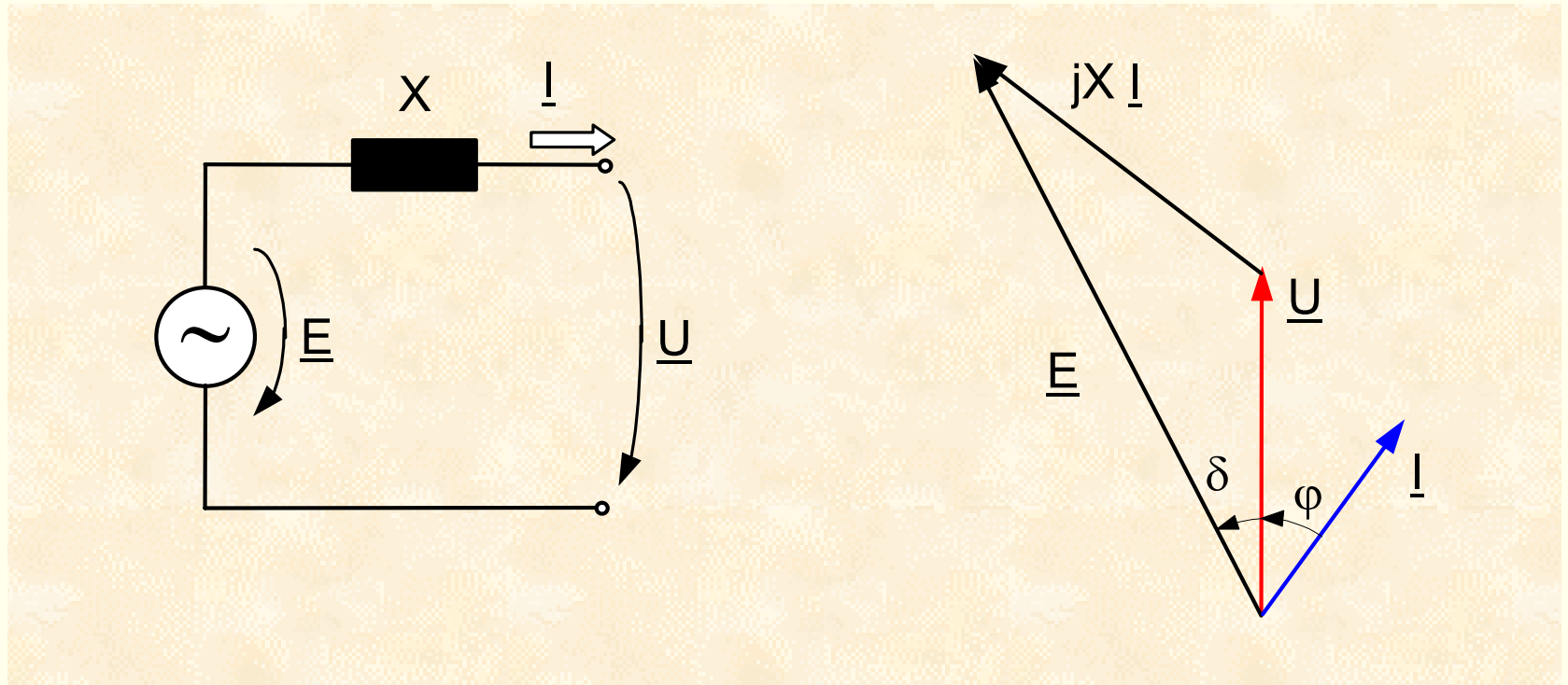


Fasordiagram van een inductief-resistief belaste synchrone generator

$$\underline{U}_i = -jX_{1h} \underline{I}_\mu$$

$$\underline{E} = -jX_{1h} \underline{I}'_2$$

Geen statorweerstand



Nullast en kortsluiting

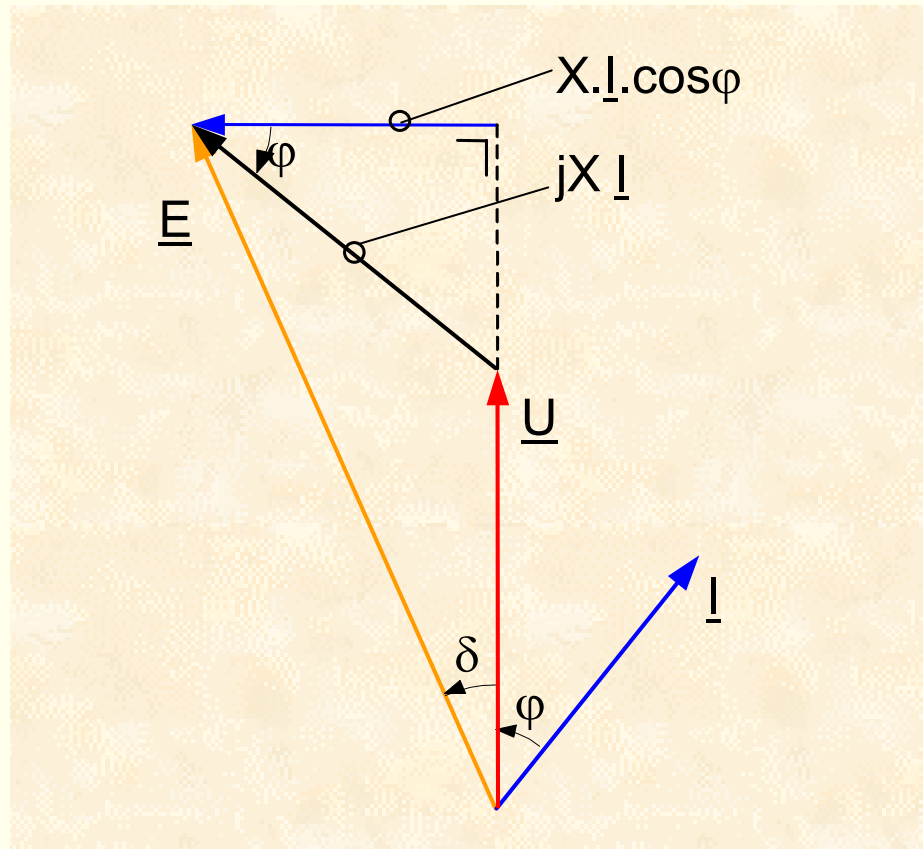
$$I = I_{k0} = \frac{U_{N, fase}}{X}$$

Star net - koppel

$$P_{mech} = \omega_0 \cdot T = P_{elek} = \sqrt{3} \cdot U_{lijn} \cdot I \cdot \cos \varphi$$

$$T = \frac{3 \cdot U \cdot I \cdot \cos \varphi}{\frac{\omega_1}{p}}$$

Spanningsval bij inductief-resistieve belasting

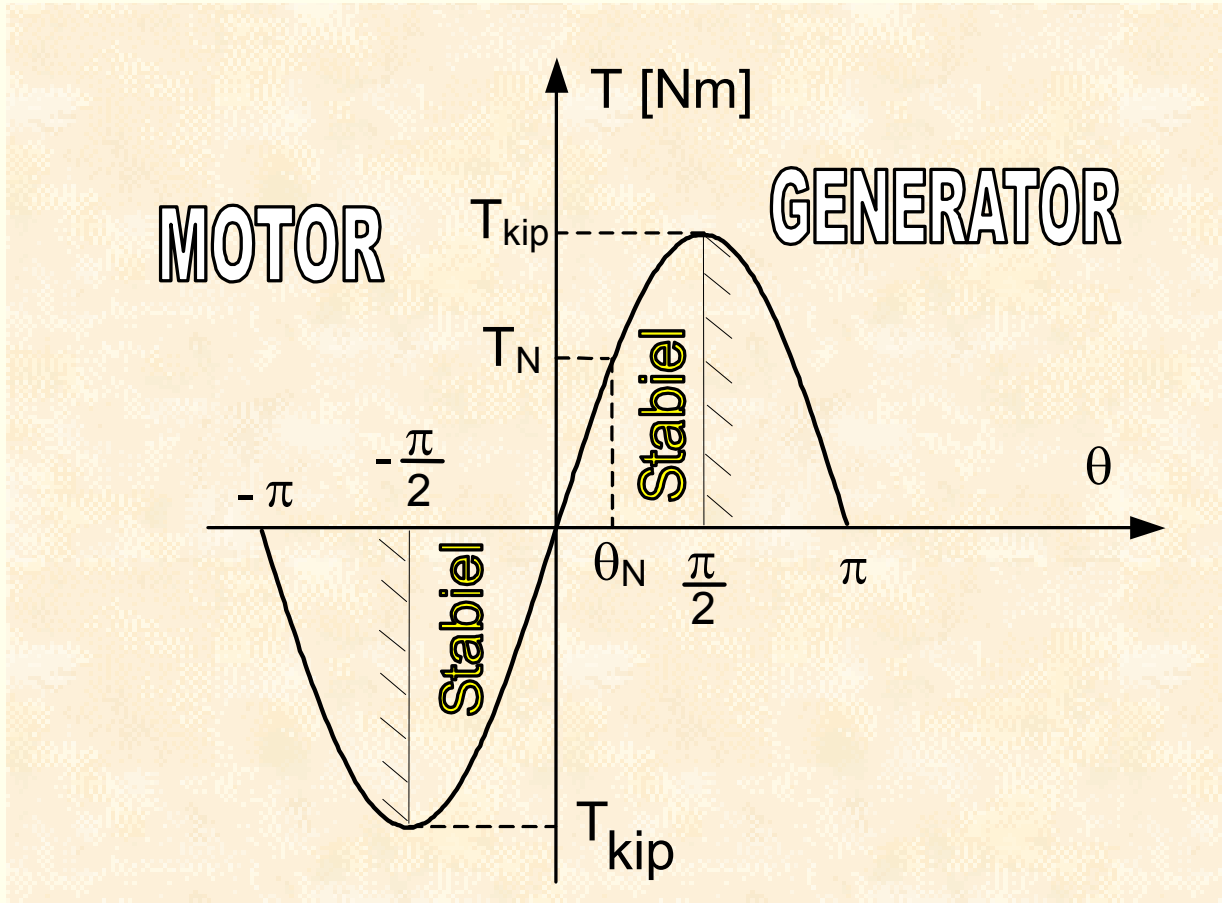


$$X.I.\cos\varphi = E.\sin\theta$$

$$I.\cos\varphi = \frac{E}{X}.\sin\theta$$

$$T = \frac{3.p.U.E}{\omega_1.X}.\sin\theta = T_{kip}.\sin\theta$$

Koppel-lasthoekkarakteristiek



Werkingsgebied

$$\underline{E} = E e^{j\theta} = E(\cos \theta + j \sin \theta)$$

$$\underline{I} = I e^{-j\varphi} = I(\cos \varphi - j \sin \varphi)$$

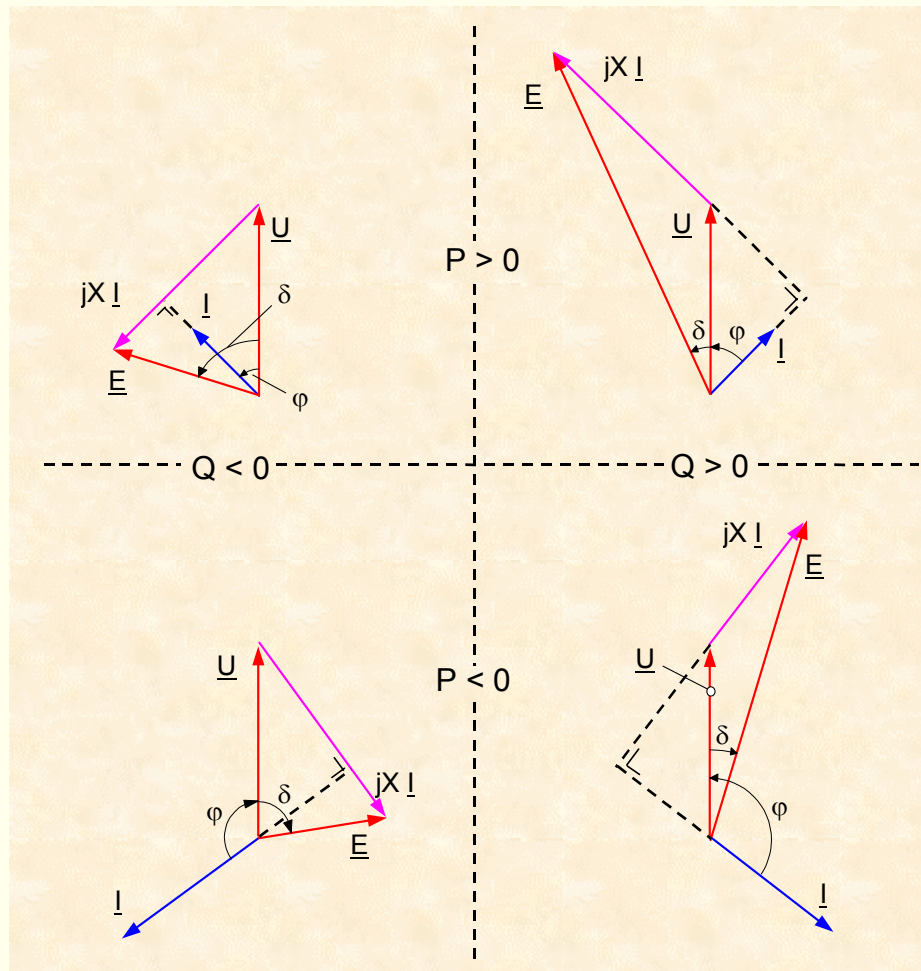
$$\underline{E} = \underline{U} + jX\underline{I}$$

$$E(\cos \theta + j \sin \theta) = U + jXI(\cos \varphi - j \sin \varphi)$$

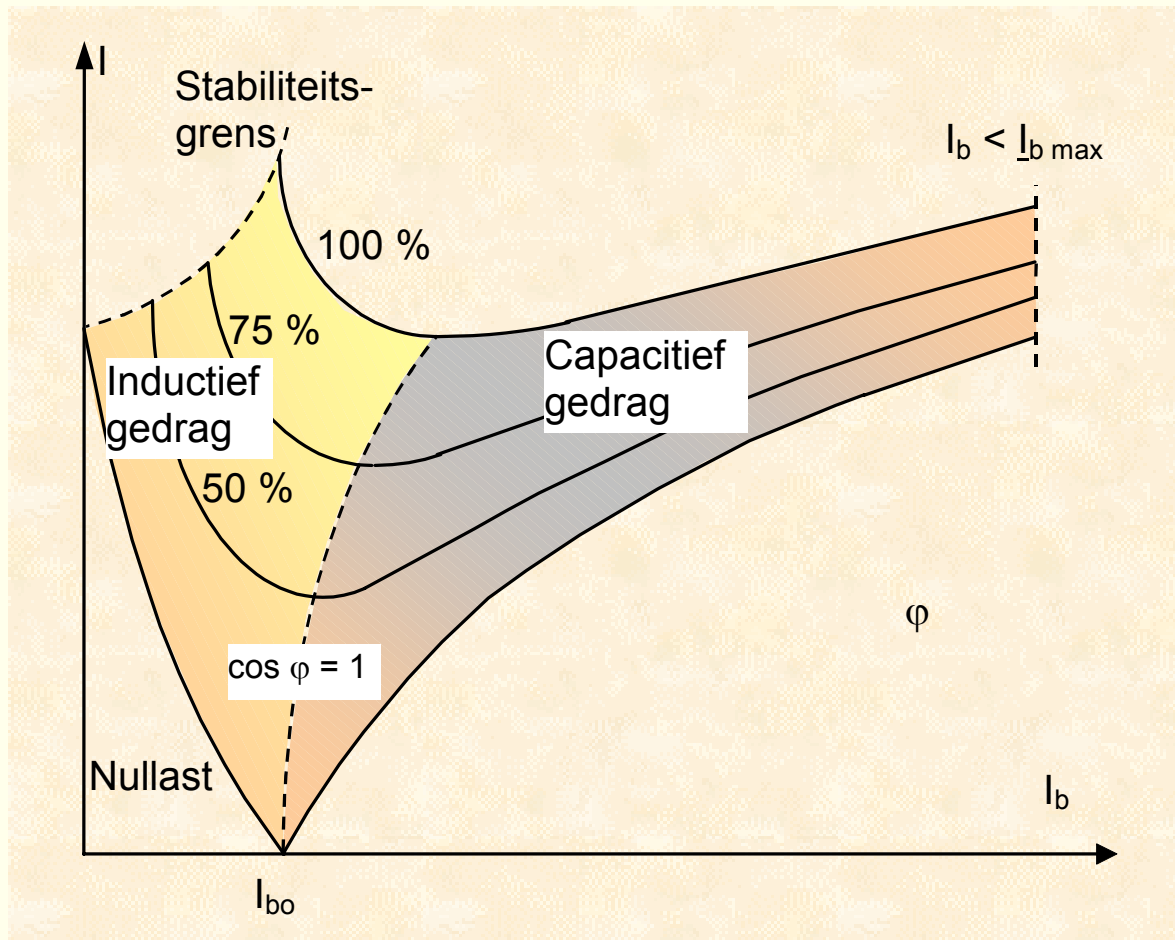
$$I \cos \varphi = \frac{E}{X} \sin \theta \quad (\text{actieve stroom})$$

$$I \sin \varphi = \frac{E \cos \theta - U}{X} \quad (\text{reactieve stroom})$$

Werkingsgebied



V-curves

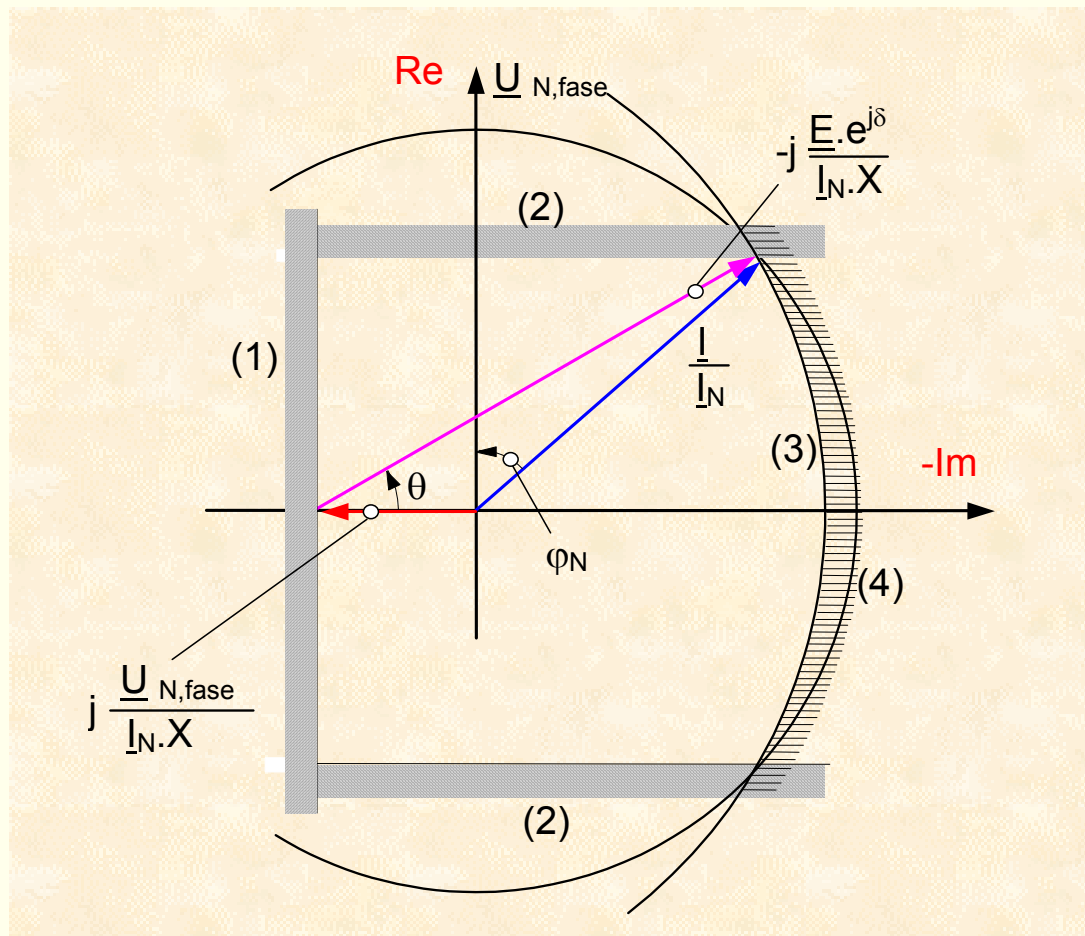


Grenzen

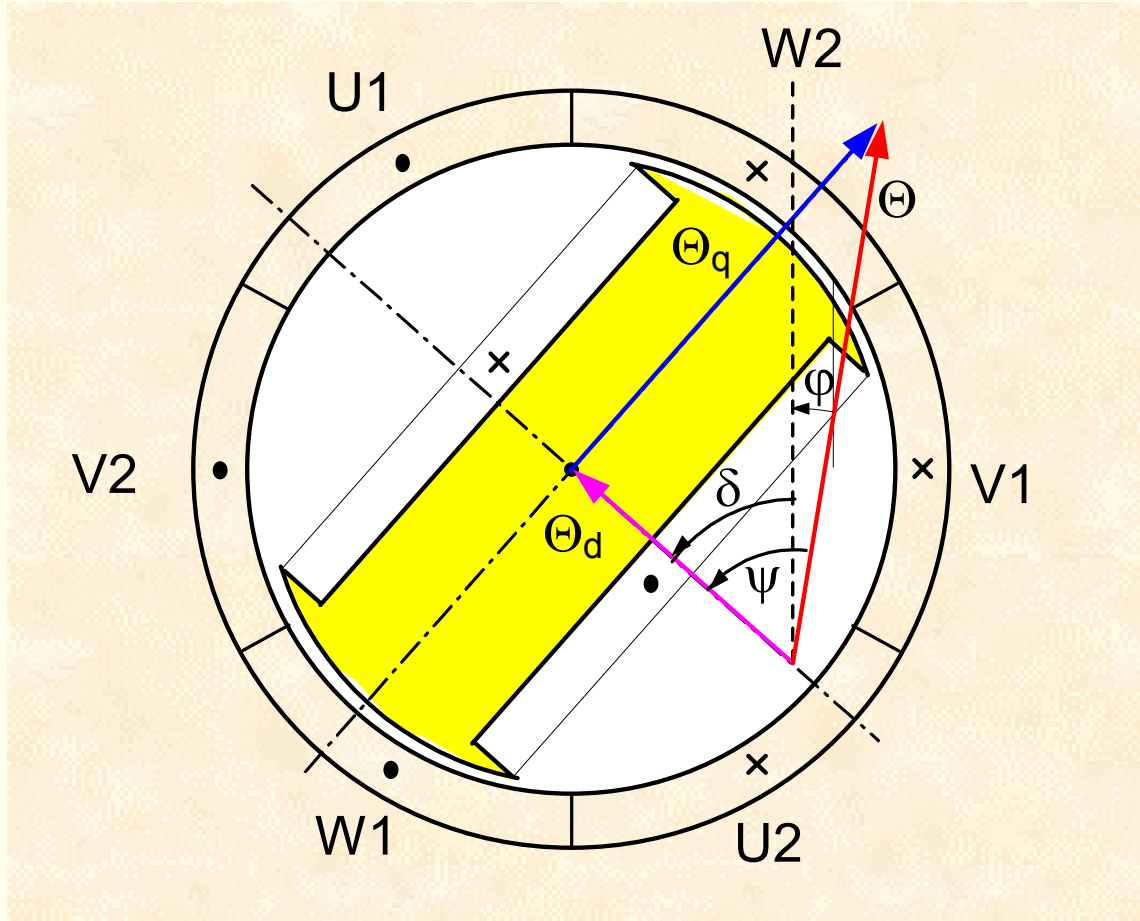
$$\underline{I} = \frac{E \cdot e^{j\theta} - U_{N, fase}}{jX} = \frac{jU_{N, fase}}{X} - j \frac{E \cdot e^{j\theta}}{X}$$

$$\frac{I}{I_N} = j \frac{U_{N, fase}}{I_N \cdot X} - j \frac{E \cdot e^{j\theta}}{U_{N, fase}} \cdot \frac{U_{N, fase}}{I_N \cdot X}$$

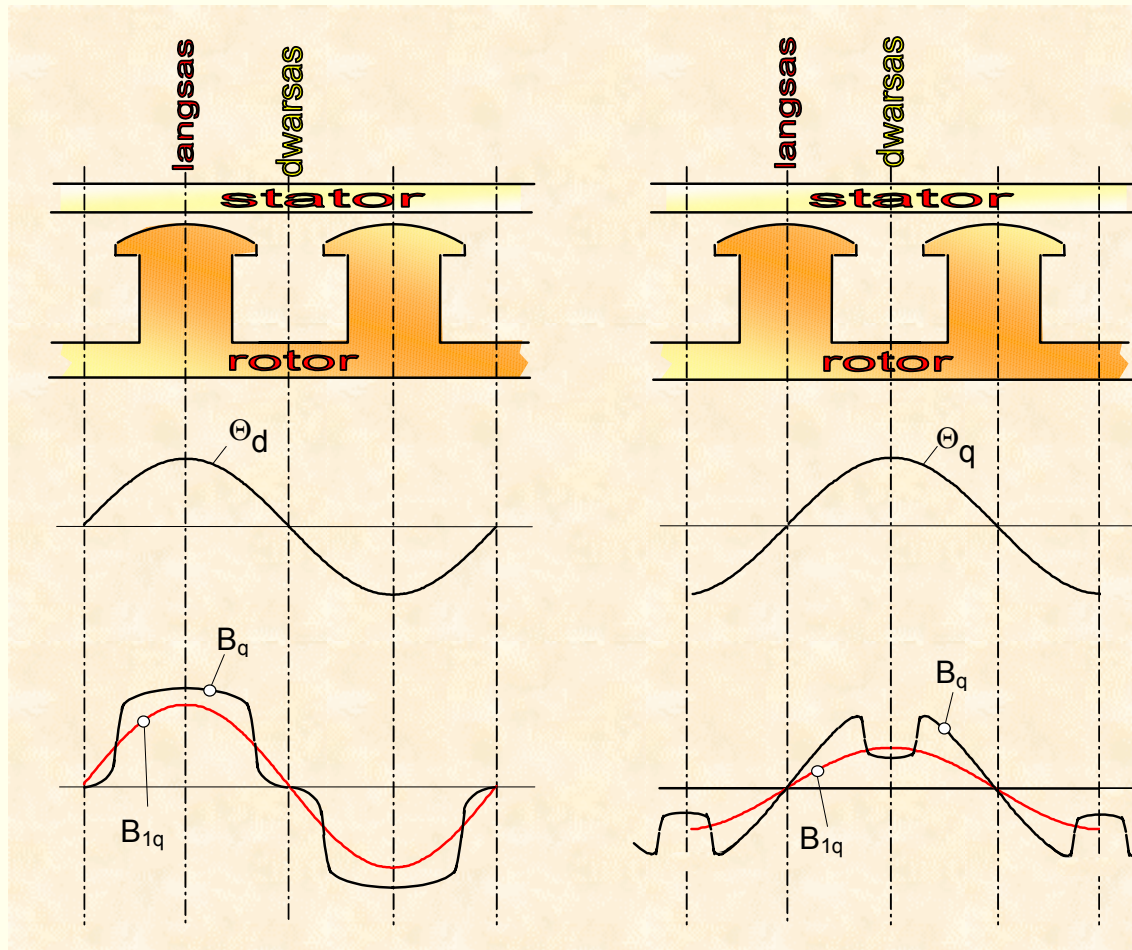
Grenzen voor het werkingsgebied



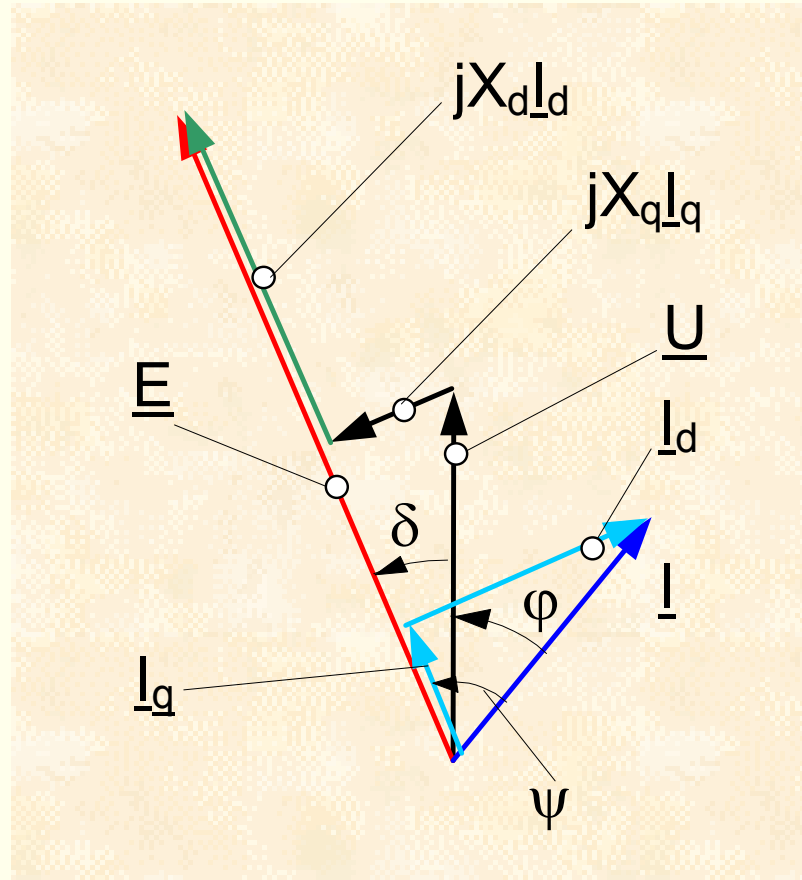
Machine met niet cilindrische rotor



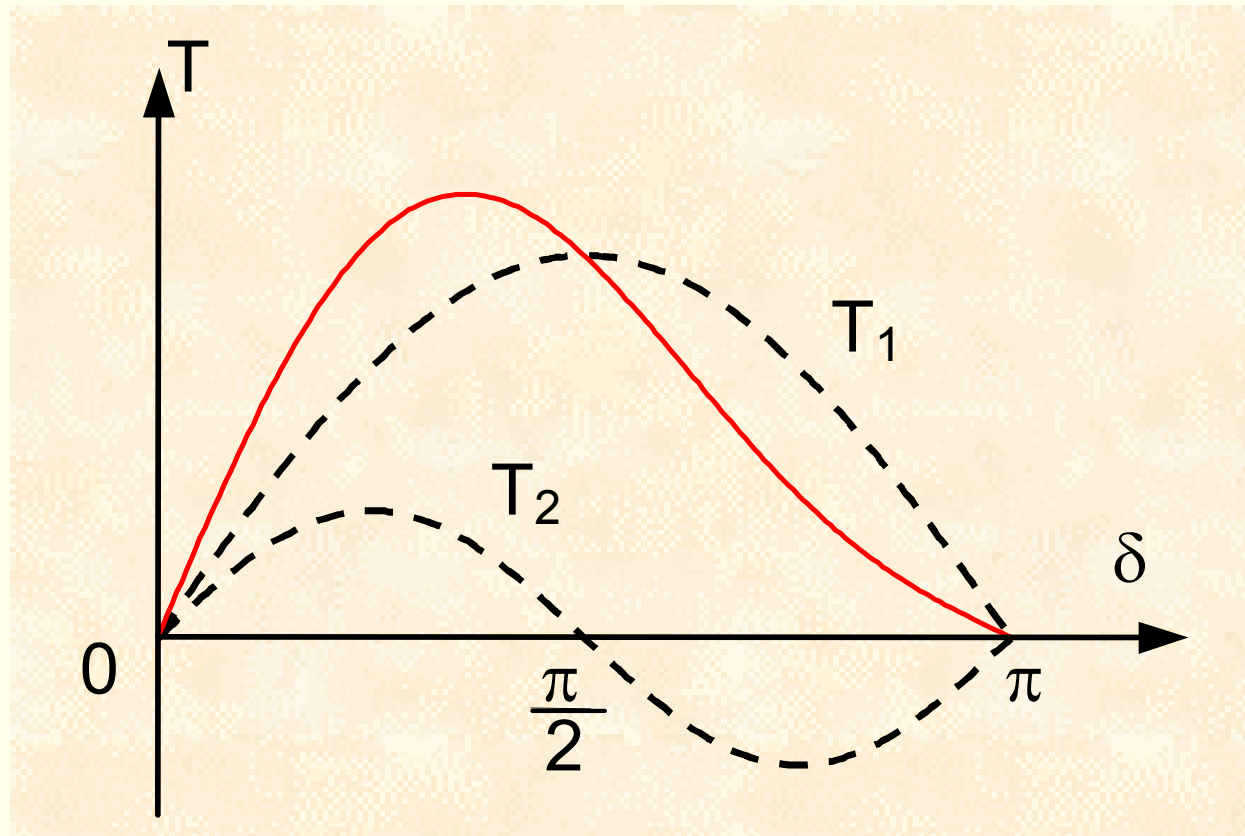
Direct en kwadratuurveld



Fasordiagramm



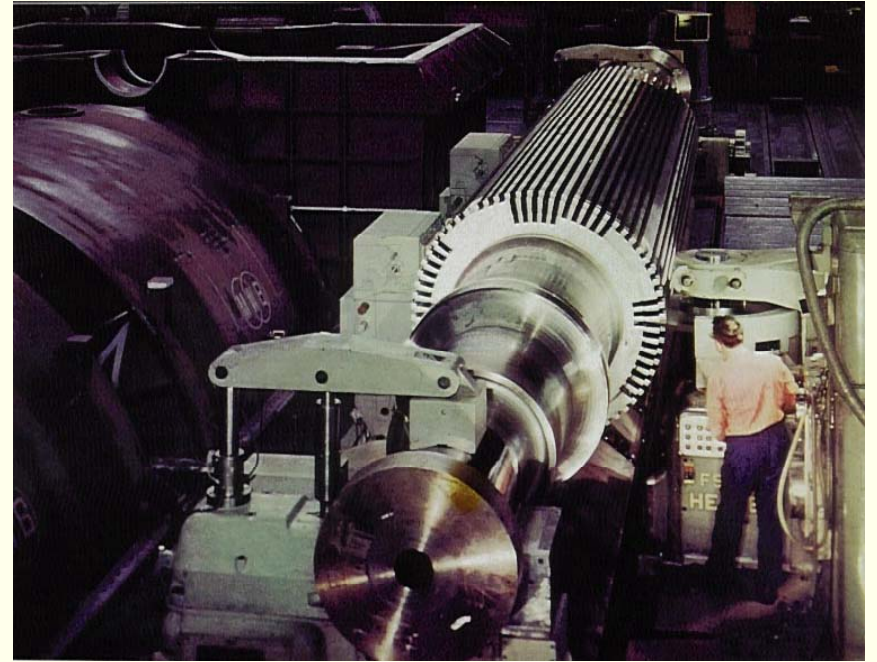
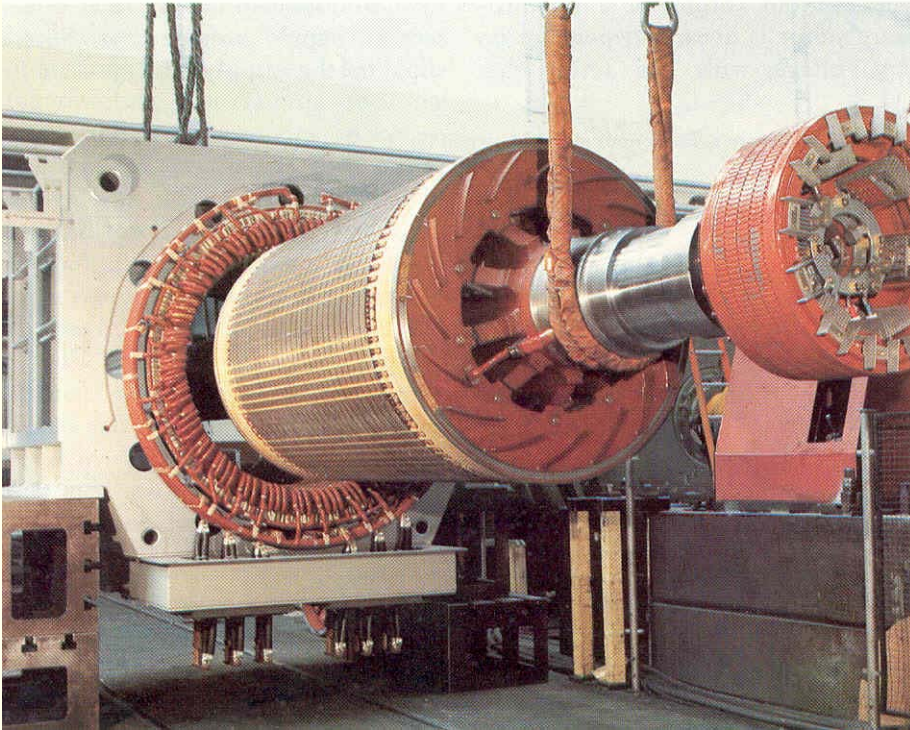
Koppel-lasthoekkarakteristiek



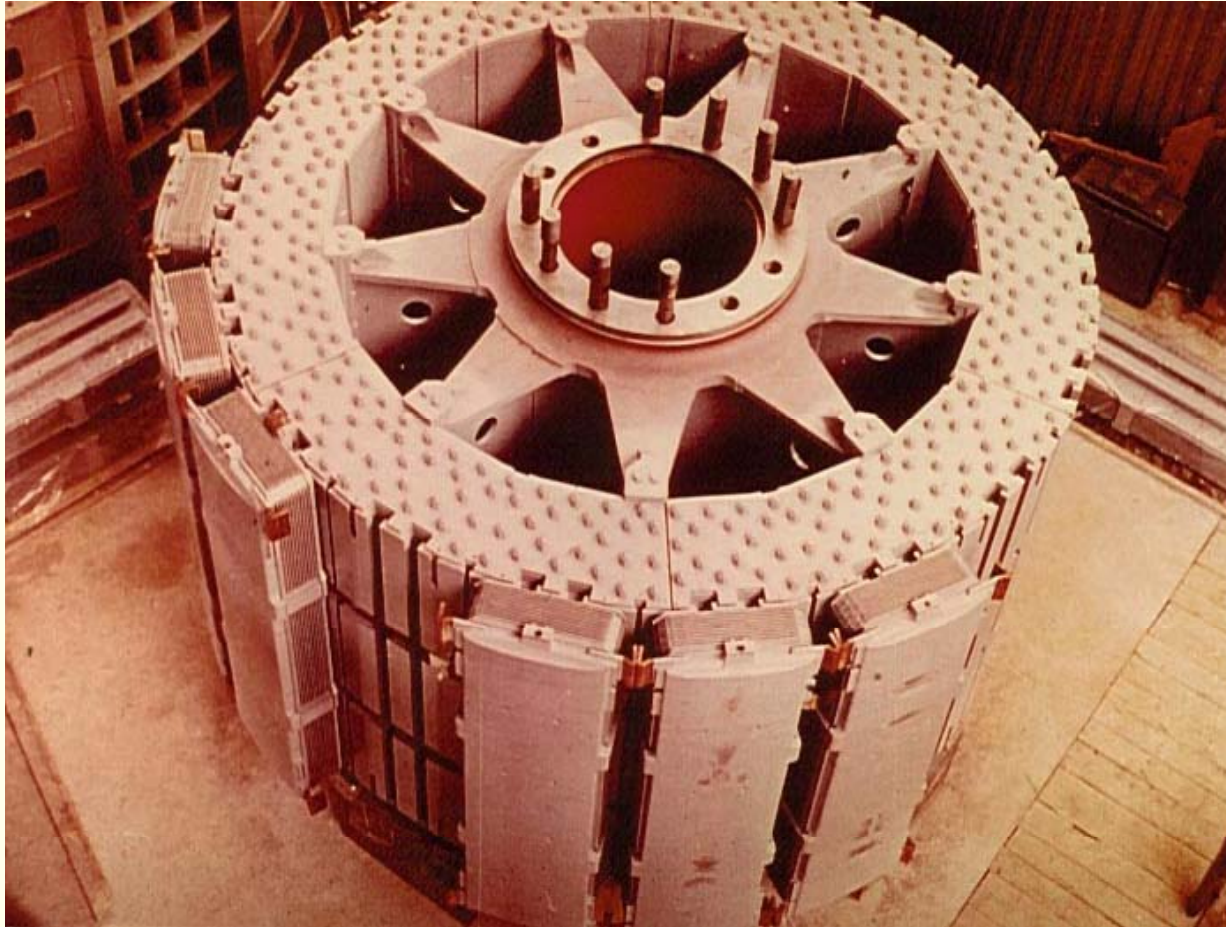
Gebruik en constructie van synchrone machines

- Elektrisch bekrachtigde generator
- Klauwpoolgenerator
- Synchrone motor

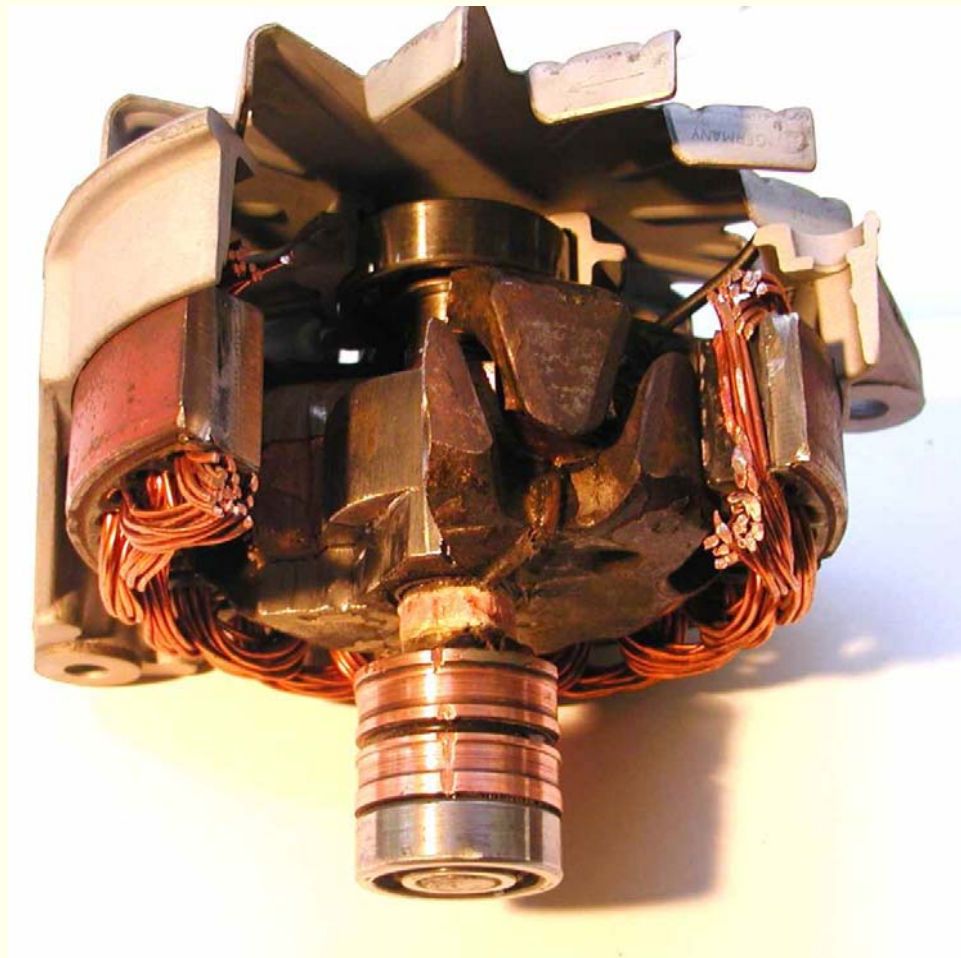
Rotor voor een turbogenerator



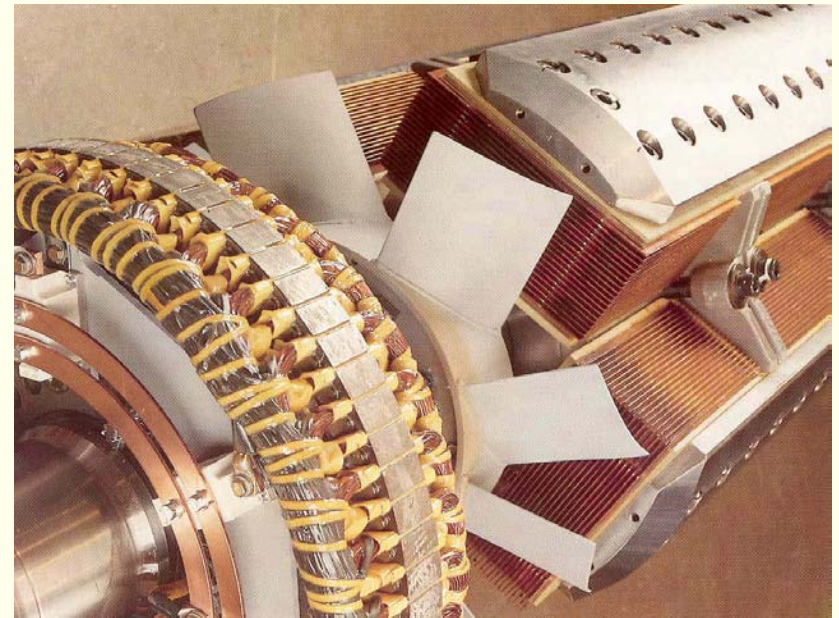
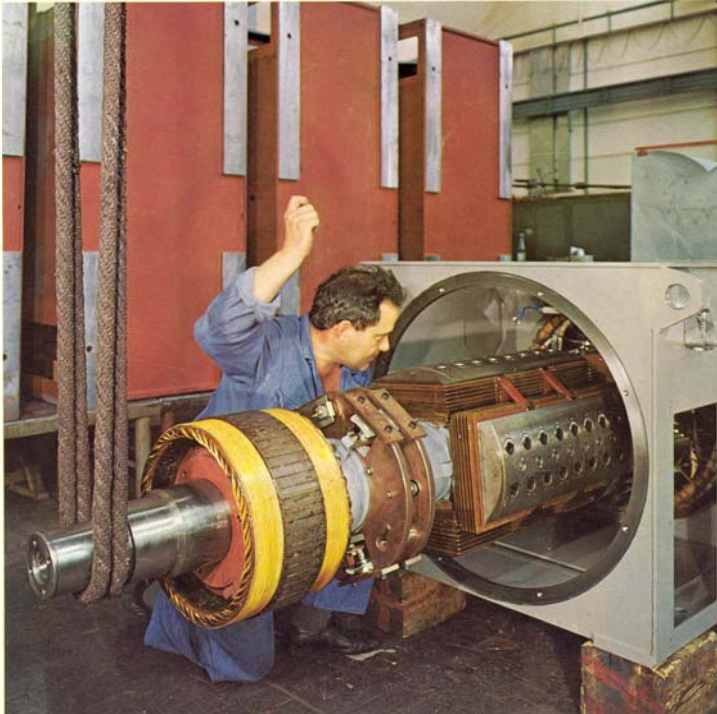
Gelaste rotorconstructie



Klawnpoolalternator van een wagen



Rotor met uitspringende polen

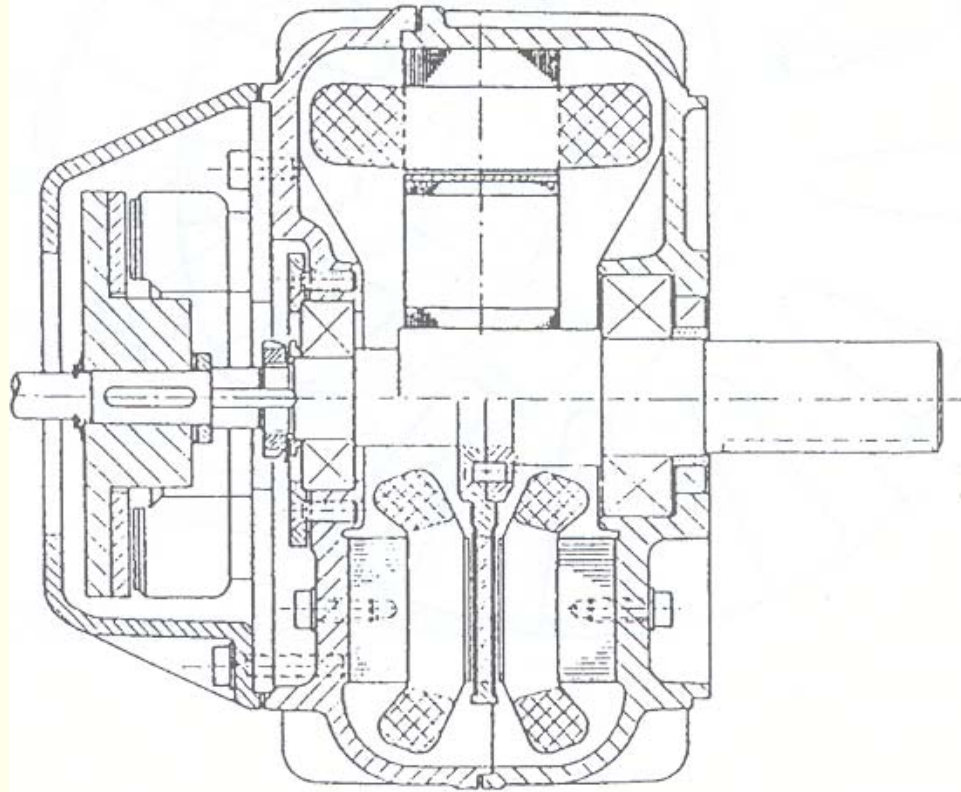


Borstelloze servomotor

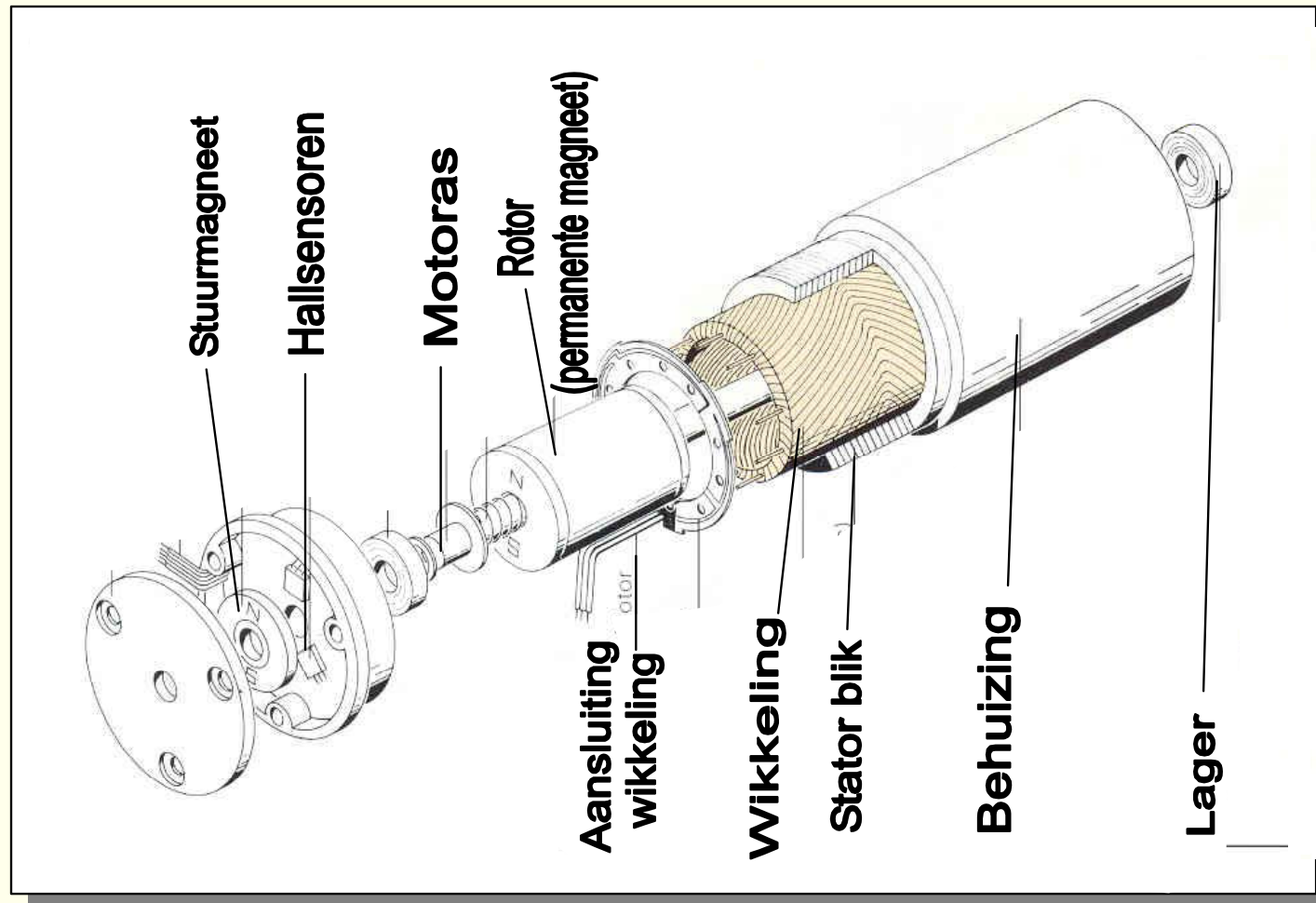


1. Rotor met permanente magneten.
2. Stator met driefasige wikkeling
3. Tachoanker en encoder
4. Lagerschild met tachowikkeling en aansluitstekkers

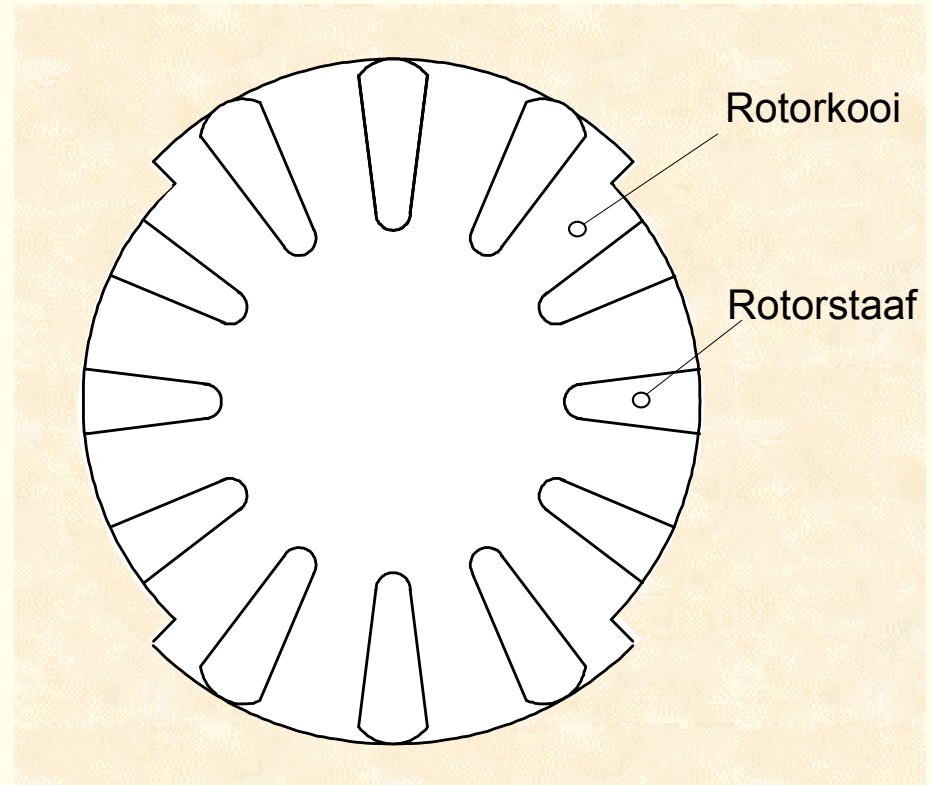
Borstelloze schijfrotormotor



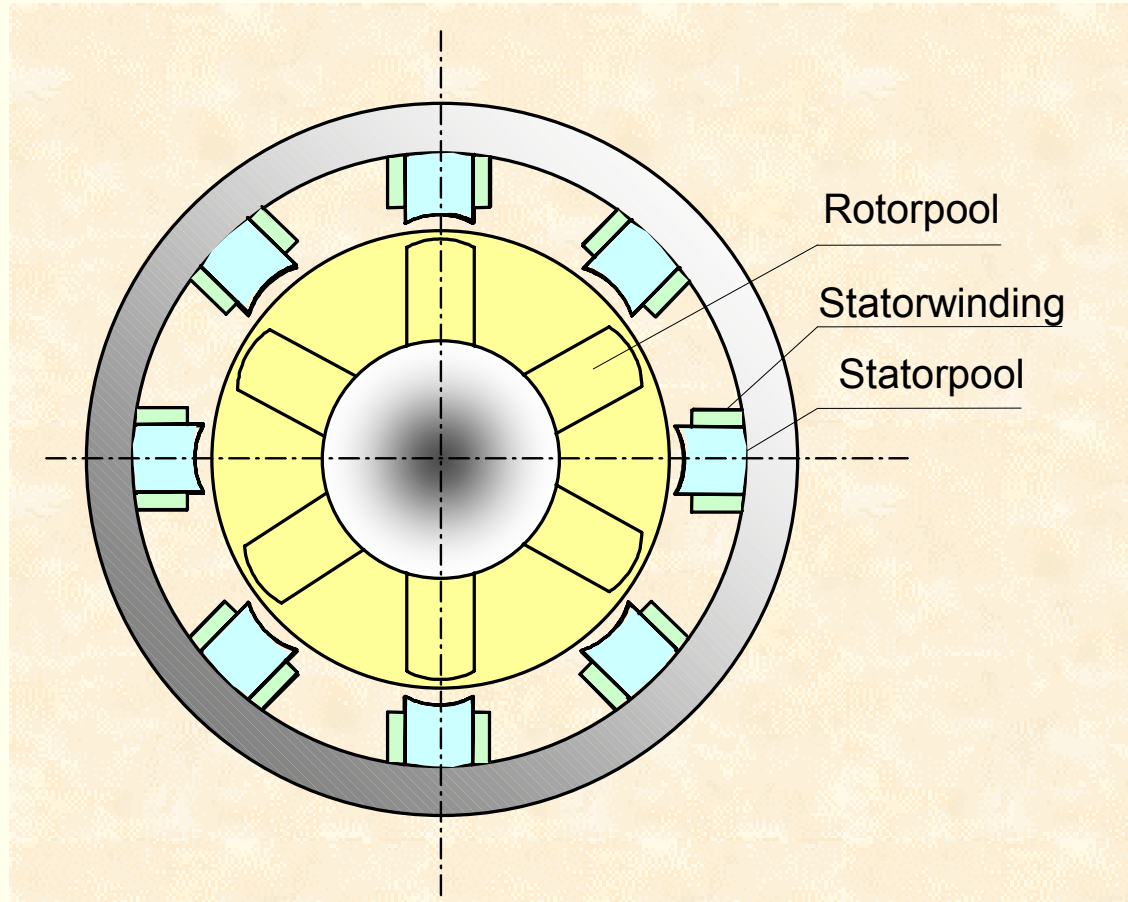
Maxon borstelloze motor



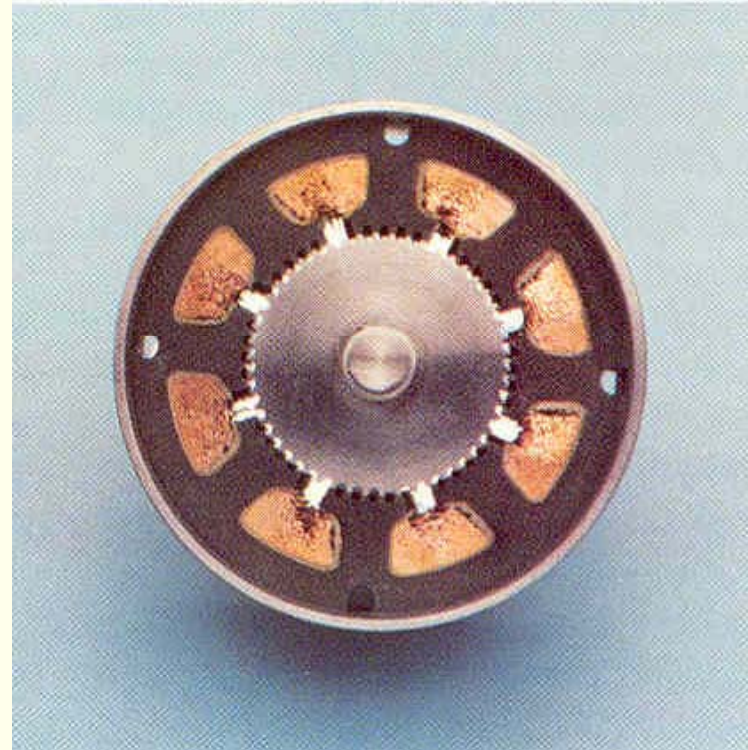
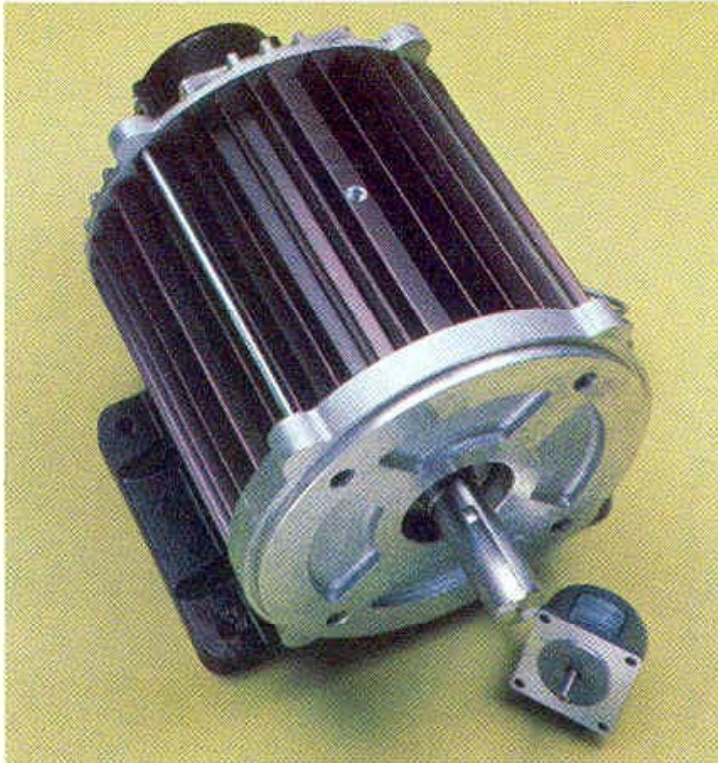
Reluctantiemotor



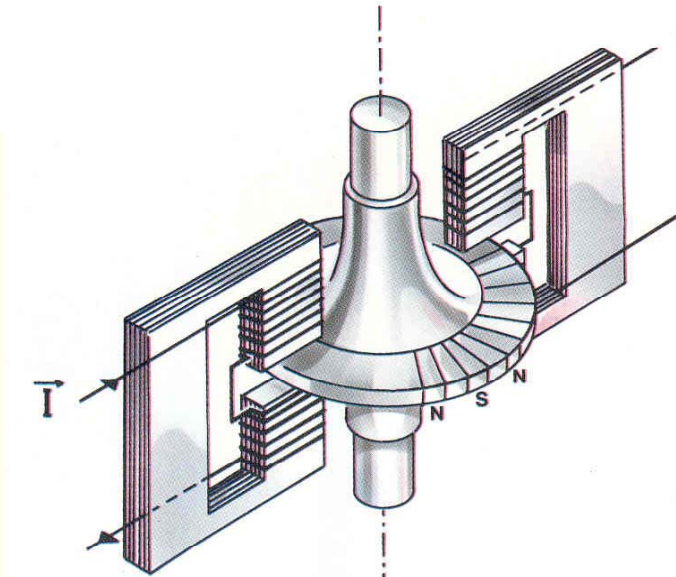
Geschakelde reluctantiemotor



Stappenmotor I



Stappenmotor II



Stappenmotor III

